

# Extremale Gitter mit großen Automorphismen

MASTERARBEIT

*von Simon Berger*

Vorgelegt am Lehrstuhl D für Mathematik der RWTH-Aachen University

bei Prof. Dr. Gabriele Nebe (1. Prüferin)  
und Prof. Dr. Markus Kirschmer (2. Prüfer)

14. September 2018

# Inhaltsverzeichnis

<b>1</b>	<b>Einleitung</b>	<b>4</b>
<b>2</b>	<b>Grundbegriffe</b>	<b>6</b>
2.1	Bilineare Vektorräume . . . . .	6
2.2	Modulare Gitter . . . . .	9
<b>3</b>	<b>Ideal-Gitter</b>	<b>15</b>
3.1	Definitionen . . . . .	15
3.2	Strategie zur Klassifikation . . . . .	18
3.3	Die Klassengruppe . . . . .	22
3.4	Total-positive Erzeuger . . . . .	23
3.5	Finaler Algorithmus und Ergebnisse . . . . .	30
<b>4</b>	<b>Sub-Ideal-Gitter</b>	<b>33</b>
4.1	Einführung . . . . .	33
4.2	Automorphismen von Primzahlordnung . . . . .	35
4.3	Geschlechter . . . . .	47
4.4	Kneser-Nachbarschaftsmethode . . . . .	54
4.5	Konstruktion von Obergittern . . . . .	60
4.6	Konstruktion von Gittern mit großem Automorphismus . . . . .	63
4.7	Vollständigkeit der Ergebnisse . . . . .	68

<b>5</b>	<b>Anhang</b>	<b>72</b>
5.1	Ergebnisse der Ideal-Gitter-Klassifikation . . . . .	72
5.2	MAGMA-Implementierungen von Hilfsfunktionen . . . . .	79
5.3	MAGMA-Implementierungen der Ideal-Gitter-Algorithmen . . . . .	88
5.4	MAGMA-Implementierungen der Subideal-Gitter-Algorithmen . . . . .	97
5.5	Eidesstattliche Versicherung . . . . .	119
<b>6</b>	<b>Literaturverzeichnis</b>	<b>120</b>

# 1 Einleitung

Die Gittertheorie ist seit vielen Jahren ein wesentlicher Bestandteil der theoretischen Mathematik in Themengebieten wie beispielsweise der algebraischen Zahlentheorie und der Gruppentheorie. In der Anwendung sind oftmals besonders *dichte* Gitter von Interesse, also Gitter, die im Vergleich zu ihrer Determinante ein möglichst großes Minimum besitzen, die Klassifikation möglichst dichter Gitter stellt jedoch eine große Herausforderung dar. H.-G. Quebbemann definiert in seiner Arbeit [Que95] den Begriff eines *modularen* Gitters und zeigt, dass die Thetareihen solcher modularen Gitter Modulformen einer bestimmten Gruppe sind. Diese Struktur erlaubt die Beschreibung sogenannter *extremaler* modularer Gitter, welche innerhalb der Klasse der modularen Gitter eine maximale Dichte haben. Die Klassifikation extremaler Gitter ist eines der großen Forschungsgebiete aus der Gittertheorie. In dieser Arbeit versuchen wir, extremale Gitter mithilfe ihrer Automorphismengruppen zu untersuchen und zu konstruieren.

Zunächst definieren wir dazu unsere grundlegenden Begriffe und werfen einen genaueren Blick auf die Dichte extremaler Gitter. Anschließend beschreiben wir modulare Gitter  $L$  mit einer Struktur als gebrochene Ideale eines zyklotomischen Zahlkörpers  $\mathbb{Q}(\zeta_m)$ , sogenannte *Ideal-Gitter*. Diese Struktur ist gegeben, falls  $L$  einen Automorphismus  $\sigma$  mit  $\mu_\sigma = \Phi_m$  besitzt, sodass  $\varphi(m) = \dim(L)$  gilt. Mithilfe dieser zusätzlichen Struktur lässt sich ein Algorithmus entwickeln, welcher zu gegebener Stufe, Determinante und Dimension eine vollständige Liste der Ideal-Gitter mit den festgelegten Parametern kon-

struiert. Die einzelnen Schritte dieses Algorithmus wurden im Zuge dieser Arbeit genau beschrieben und im Computer-Algebra-System **MAGMA** implementiert.

Anschließend folgt der Hauptteil der Arbeit: die Beschreibung extremaler Gitter mit *großem* Automorphismus. Hier gehen wir lediglich von den Voraussetzungen  $|\sigma| = m$  und  $\Phi_m | \mu_\sigma$  mit  $\varphi(m) > \frac{\dim(L)}{2}$  aus. In diesem Falle induziert  $\sigma$  ein Teilgitter  $M := L \cap \text{Kern}(\Phi_m(\sigma)) \perp L \cap \text{Kern}(\frac{\mu_\sigma}{\Phi_m}(\sigma))$ . Der erste Summand hat dabei eine Struktur als Ideal-Gitter und ist damit nach dem vorherigen Kapitel gut verstanden, für den anderen Summanden benötigen wir weitere Theorie. Mithilfe der Primteiler von  $m$  von Automorphismen von Primzahlordnung können wir die Struktur dieses induzierten Teilgitters genauer beschreiben, insbesondere lassen sich weitreichende Einschränkungen an die Determinanten der Summanden zeigen. Zu den verbleibenden Optionen können wir mittels Aufzählung der wichtigen Geschlechter über das *Kneser'sche Nachbarverfahren* eine Liste von Kandidaten für  $M$  bestimmen und  $L$  schließlich als Obergitter konstruieren. Alle dazugehörigen Algorithmen wurden ebenfalls in **MAGMA** implementiert und es konnten so einige neue extremale Gitter konstruiert werden.

## 2 Grundbegriffe

### § 2.1 Bilineare Vektorräume

Wir wiederholen zunächst einige wichtige Begriffe aus der Gittertheorie, welche wir in der Arbeit häufig benötigen werden. Zunächst führen wir das Konzept eines bilinearen Vektorraumes ein. Die nun angeführten Definitionen sind [Kne02, Def. (2.1)] entnommen.

#### (2.1.1) Definition

- (i) Sei  $A$  ein Ring und  $E$  ein  $A$ -Modul. Für eine symmetrische Bilinearform  $b : E \times E \rightarrow A$  heißt das Paar  $(E, b)$  ein *bilinearer  $A$ -Modul* (bzw. falls  $A$  Körper ein *bilinearer  $A$ -Vektorraum*).
- (ii) Eine *isometrische Abbildung* (oder kurz *Isometrie*) zwischen zwei bilinearen Moduln  $(E, b)$  und  $(E', b')$  ist ein Modulisomorphismus  $f : E \rightarrow E'$  mit  $b(x, y) = b'(f(x), f(y))$ .
- (iii) Die Gruppe  $O(E, b) := \{f : E \rightarrow E \mid f \text{ ist Isometrie}\}$  aller Isometrien eines bilinearen Vektorraums  $(E, b)$  in sich selbst heißt die *Isometriegruppe* von  $(E, b)$ .

Nun folgen Definitionen zum Gitterbegriff, zu finden in [Kne02, Def. (14.1), (14.2)].

**(2.1.2) Definition**

- (i) Sei  $K$  ein Körper,  $V$  ein endlich-dimensionaler  $K$ -Vektorraum mit Basis  $(b_1, \dots, b_n)$ . Ein  $R$ -Gitter in  $V$  ist ein  $R$ -Untermodul  $L$  von  $V$ , zu dem Elemente  $a, b \in K^*$  existieren mit  $a \sum_{i=1}^n Rb_i \subseteq L \subseteq b \sum_{i=1}^n Rb_i$ .
- (ii) Sei  $b$  eine nicht-ausgeartete symmetrische Bilinearform auf  $V$  und  $L$  ein Gitter in  $V$ . Dann ist auch  $L^\# := \{x \in V \mid b(x, y) \in R \text{ für alle } y \in L\}$  ein  $R$ -Gitter und heißt *das zu  $L$  duale Gitter* (bzgl.  $b$ ).
- (iii) Für  $m \in \mathbb{N}$  heißt das Gitter  $L^{\#,m} := \frac{1}{m}L \cap L^\#$  *partielles Dualgitter* von  $L$ .
- (iv) Sei  $(V, b)$  ein bilinearer  $K$ -Vektorraum und  $L$  ein Gitter in  $V$ . Die Gruppe  $\text{Aut}(L) := \{\sigma : V \rightarrow V \mid \sigma \text{ ist Isometrie und } \sigma(L) = L\}$  heißt die *Automorphismengruppe* von  $L$ .

**(2.1.3) Bemerkung**

Falls  $R$  ein Hauptidealbereich ist, vereinfacht sich die Definition erheblich, da Teilmoduln von endlich erzeugten freien Moduln über Hauptidealbereichen wieder frei sind. Ein  $R$ -Gitter ist per Definition zwischen zwei freien Moduln eingespannt, also sind die  $R$ -Gitter in diesem Fall genau die freien  $R$ -Moduln von Rang  $n$ .

Insbesondere interessieren uns  $\mathbb{Z}$ -Gitter in  $\mathbb{R}^n$ . Für eben solche folgen nun ein paar weitere Definitionen, abgeleitet aus [Kne02, Def. (1.7), (1.13), (14.7), (26.1)].

**(2.1.4) Definition**

Sei  $L$  ein  $\mathbb{Z}$ -Gitter mit Basis  $B = (e_1, \dots, e_n)$  in  $(\mathbb{R}^n, b)$ , für eine symmetrische Bilinearform  $b$ .

- (i) Die Matrix  $G := \text{Gram}(B) = (b(e_i, e_j))_{i,j=1}^n$  heißt *Gram-Matrix* von  $L$ ,  $\text{Det}(L) := \text{Det}(G)$  heißt die *Determinante* von  $L$ .
- (ii) Das Gitter  $L$  heißt *ganz*, falls  $b(L, L) \subseteq \mathbb{Z}$  gilt.
- (iii) Das Gitter  $L$  heißt *gerade*, falls  $b(x, x) \in 2\mathbb{Z}$  für alle  $x \in L$  gilt.
- (iv) Die *Stufe* von  $L$  ist die kleinste Zahl  $\ell \in \mathbb{N}$ , sodass  $\sqrt{\ell}L^\#$  ein gerades Gitter ist.
- (v) Das *Minimum* von  $L$  ist definiert als  $\text{Min}(L) := \min\{b(x, x) \mid 0 \neq x \in L\}$ .

**(2.1.5) Bemerkung**

- (i) Nach [Kne02, Satz (14.7)] gilt  $\text{Det}(L) = |L^\# / L|$ . Insbesondere ist die Determinante für  $\mathbb{Z}$ -Gitter unabhängig von der Wahl der Basis. Allgemeiner ist die Determinante von  $R$ -Gittern modulo  $(R^*)^2$  eindeutig bestimmt [Kne02, (1.13)].
- (ii) Direkt aus der Definition des dualen Gitters folgt:  $L$  ist ganz genau dann, wenn  $L \subseteq L^\#$ .
- (iii) Ein gerades Gitter  $L$  ist notwendigerweise ganz, denn seien  $x, y \in L$ , dann ist

$$b(x, y) = \frac{b(x + y, x + y) - b(x, x) - b(y, y)}{2} \in \mathbb{Z}.$$

- (iv) Ist  $B = (e_1, \dots, e_n)$  eine Basis von  $L$ , dann ist  $B^* := (e_1^*, \dots, e_n^*)$ , wobei  $b(e_i, e_j^*) = \delta_{ij}$ , eine Basis von  $L^\#$ . Es gilt  $\text{Gram}(B^*) = \text{Gram}(B)^{-1}$  [Kne02, (1.14)].

Da wir uns im Zuge dieser Arbeit in der Regel mit geraden Gittern quadratfreier Stufe beschäftigen, ist das folgende Lemma aus [Jü15, Lemma 1.1.1] von großer Bedeutung.



**(2.1.6) Lemma**

Sei  $L$  ein gerades Gitter der Stufe  $\ell$ , wobei  $\ell$  quadratfrei. Dann ist  $\ell$  gleichzeitig die kleinste natürliche Zahl  $a$ , sodass  $aL^\# \subseteq L$  (also der Exponent der Diskriminantengruppe  $L^\# / L$ ).

## § 2.2 Modulare Gitter

Wir kommen nun zum ursprünglich von Quebbemann eingeführten Konzept *modularer Gitter* [Que95]. Die hier verwendete Definition ist in [BFS05] zu finden.

**(2.2.1) Definition**

Sei  $L$  ein gerades Gitter und  $\ell \in \mathbb{N}$ .

- (i)  $L$  heißt  *$\ell$ -modular*, falls  $L \cong \sqrt{\ell}L^\#$ .
- (ii)  $L$  heißt *stark  $\ell$ -modular*, falls  $L \cong \sqrt{m}L^{\#,m}$  für alle  $m|l$ , sodass  $\text{ggT}(m, \frac{\ell}{m}) = 1$ .

**(2.2.2) Lemma**

Ist  $L$  ein gerades Gitter der Dimension  $n$ .

- (i) Ist  $L$   $\ell$ -modular, dann ist  $\text{Det}(L) = \ell^{\frac{n}{2}}$ . Insbesondere muss daher  $n$  gerade sein.
- (ii) Ist  $L$   $\ell$ -modular und  $\ell$  quadratfrei, dann hat  $L$  die Stufe  $\ell$ .

(iii) Ist  $L$  stark  $\ell$ -modular, von Stufe  $\ell$  und  $\ell$  quadratfrei, dann ist  $L$  auch  $\ell$ -modular.

**Beweis:**

(i) Nach Bem. (2.1.5) ist  $\text{Det}(L^\#) = \text{Det}(L)^{-1}$ . Somit

$$\text{Det}(L) = \text{Det}(\sqrt{\ell}L^\#) = \ell^n \text{Det}(L^\#) = \frac{\ell^n}{\text{Det}(L)}.$$

Also folgt die Behauptung.

(ii) Sei  $a$  die Stufe von  $L$ , dann ist  $\sqrt{a}L^\#$  gerade und hat insbesondere eine ganzzahlige Determinante. Nach (i) erhalten wir  $\text{Det}(\sqrt{a}L^\#) = \left(\frac{a^2}{\ell}\right)^{\frac{n}{2}} \stackrel{!}{\in} \mathbb{Z}$ . Da  $\ell$  quadratfrei sieht man also  $\ell|a$ . Andersherum ist  $L \cong \sqrt{\ell}L^\#$ , also selbstverständlich auch  $\sqrt{\ell}L^\#$  gerade, somit  $a|\ell$ .

(iii)  $L$  hat quadratfreie Stufe  $\ell$ , also ist  $\ell L^\# \subseteq L$  nach Lemma (2.1.6). Wir erhalten

$$L \cong \sqrt{\ell}L^{\#,\ell} = \sqrt{\ell} \left( \frac{1}{\ell} L \cap L^\# \right) = \sqrt{\ell}L^\#. \quad \square$$

Quebbemann zeigte in [Que95], dass die Theta-Reihen eines modularen Gitters Modulform einer bestimmten Gruppe ist. Außerdem hat die Algebra der Modulformen eine besonders einfache Gestalt, wenn die Summe der Teiler von  $\ell$  selbst ein Teiler von 24 ist. Konkret ist diese Eigenschaft für  $\ell \in \{1, 2, 3, 5, 6, 7, 11, 14, 15, 23\}$  erfüllt. In der Literatur sind diese Stufen also besonders interessant. Es lässt sich zeigen (vgl. z.B. [Jü15, 1.2.2]), dass der Raum der Modulformen der erwähnten Gruppe in diesen Fällen ein eindeutiges Element  $\theta$  der Form  $1 + O(q^d)$  mit möglichst großem  $d$  und ganzzahligen Koeffizienten hat. Wir wollen den Begriff eines *extremalen Gitters* definieren als ein Gitter, welches ein möglichst großes Minimum besitzt, also ein Gitter mit Thetareihe  $\theta$ . In unseren Spezialfällen gilt  $d = 1 + \lfloor \frac{n}{k_1} \rfloor$ , wobei  $k_1$  Tabelle (2.1) zu entnehmen ist.

Wir können also definieren:

$\ell$	1	2	3	5	6	7	11	14	15	23
$k_1$	24	16	12	8	8	6	4	4	4	2

Tabelle 2.1:  $k_1$  Werte nach  $\ell$ .

### (2.2.3) Definition

Sei  $L$  ein  $\ell$ -modulares Gitter der Dimension  $n$  und  $\ell \in \{1, 2, 3, 5, 6, 7, 11, 14, 15, 23\}$ .

Erfüllt  $L$  die Schranke

$$\text{Min}(L) \geq 2 \left( 1 + \left\lfloor \frac{n}{k_1} \right\rfloor \right)$$

wobei  $k_1$  gewählt ist wie in Tabelle (2.1), so nennen wir  $L$  ein *extremales Gitter*.

Die Dimensionen, welche jeweils echt von  $k_1$  geteilt werden bezeichnet man häufig auch als *Sprungdimensionen*, da in diesen Fällen das Minimum im Vergleich zur nächst kleineren Dimension um 2 nach oben "springt".

Da die Determinante für  $\ell$ -modulare Gitter in fester Dimension nach Lemma (2.2.2) eindeutig bestimmt ist, liefern modulare Gitter mit möglichst großem Minimum die dichtesten Kugelpackungen. In diesem Sinne ist die Klassifikation extremaler Gitter besonders interessant.

### (2.2.4) Definition

Die Funktion

$$\gamma : \{L \mid L \text{ ist } n\text{-dimensionales } \mathbb{Z}\text{-Gitter}\} \rightarrow \mathbb{R}, L \mapsto \frac{\text{Min}(L)}{\text{Det}(L)^{\frac{1}{n}}} \quad (2.1)$$

heißt *Hermite-Funktion*. Der Wert

$$\gamma_n := \max\{\gamma(L) \mid L \text{ ist } n\text{-dimensionales } \mathbb{Z}\text{-Gitter}\}$$

$n$	$\gamma_n \leq$	$n$	$\gamma_n \leq$	$n$	$\gamma_n \leq$	$n$	$\gamma_n \leq$
1	1	10	2,2636	19	3.3975	28	4.4887
2	1.1547	11	2.3934	20	3.5201	29	4.6087
3	1.2599	12	2.3934	21	3.6423	30	4.7286
4	1.4142	13	2.6494	22	3.7641	31	4.8484
5	1.5157	14	2.7759	23	3.8855	32	4.9681
6	1.6654	15	2.9015	24	4.0000	33	5.0877
7	1.8115	16	3.0264	25	4.1275	34	5.2072
8	2.0000	17	3.1507	26	4.2481	35	5.3267
9	2.1327	18	3.2744	27	4.3685	36	5.4462

Tabelle 2.2: Obere Schranken für  $\gamma_n$  bei  $1 \leq n \leq 36$ .

heißt *Hermite-Konstante* zur Dimension  $n$ .

Ein höherer Wert bezüglich der Funktion  $\gamma$  bedeutet dabei ein dichteres Gitter im Hinblick auf die dazugehörige Kugelpackung. In der Literatur wird häufig alternativ mit der sogenannten *Zentrumsdichte*  $\delta(L) = \frac{\text{Min}(L)^{\frac{n}{2}}}{2^n \sqrt{\text{Det}(L)}}$  gearbeitet (vgl. [CS93, (1.5)]). Cohn und Elkies haben in [CE03] obere Schranken für die Zentrumsdichte ermittelt. Mithilfe der Identität  $\gamma(L) = 4\delta(L)^{\frac{2}{n}}$  lassen sich daraus obere Schranken für die Hermite-Konstante herleiten. Zusätzlich sind für die Dimensionen 1 bis 8 und 24 die Werte von  $\gamma_n$  explizit bekannt. Hierfür können wir also die Hermite-Funktionen der dichtesten bekannten Gitter als Schranken festhalten (vgl. [NS]). Die sich ergebenden oberen Schranken in Dimensionen 1 bis 36 sind in Tabelle (2.2) festgehalten.

Diese Schranken sind sehr nützlich, da sie in vielen Fällen die Existenz von bestimmten Gittern von vorneherein ausschließt. Beispielsweise hätte ein hypothetisches extremales

23-modulares Gitter  $L$  in Dimension 6 bereits Minimum  $\geq 8$  und Determinante  $23^3$ , also  $\gamma(L) \geq \frac{8}{\sqrt{23}} \approx 1.6681 > 1.6654$  und kann somit nicht existieren. Genauer schließen die Schranken die folgenden extremalen Gitter aus:

**(2.2.5) Lemma**

Erfüllen  $\ell \in \mathbb{N}$  und  $n \in \underline{36}$  eine der Bedingungen

- $\ell = 1$  und  $n \in \{2, 4, 6\}$ .
- $\ell = 2$  und  $n = 2$ .
- $\ell = 11$  und  $n \in \{20, 24, 28, 30, 32, 34, 36\}$ .
- $\ell = 23$  und  $n \in \{6, 8, 10, \dots, 34, 36\}$ ,

so existiert kein extremales  $\ell$ -modulares Gitter in Dimension  $n$ .

**Beweis:**

Tabelle (2.2). □

Vergleicht man die hypothetischen Zentrumsdichten extremaler Gitter (deren Existenz bisher nach [Jü15] noch offen ist) mit denen der dichtesten bisher bekannten Gitter (zu finden in [NS]), so fällt auf, dass die Entdeckung extremaler Gitter in den folgenden Stufen  $\ell$  und Dimensionen  $1 \leq n \leq 48$  jeweils neue dichteste Kugelpackungen liefern würden:

- $\ell = 3$  und  $n \in \{36, 38\}$ .
- $\ell = 5$  und  $n \in \{32, 36, 40, 44, 48\}$ .
- $\ell = 6$  und  $n = 40$ .

- $\ell = 7$  und  $n \in \{32, 34, 38, 40, 36\}$ .
- $\ell = 11$  und  $n \in \{18, 22\}$ .
- $\ell = 14$  und  $n = 28$ .
- $\ell = 15$  und  $n = 28$ .

Wie man sieht, ist die Erforschung extremaler modularer Gitter also von großem Interesse für die Gittertheorie. Im nächsten Kapitel beschreiben wir nun eine Vorgehensweise, modulare Gitter zu klassifizieren, welche zusätzlich eine Struktur als gebrochenes Ideal eines Zahlkörpers aufweisen, sogenannte *Ideal-Gitter*.

## 3 Ideal-Gitter

### § 3.1 Definitionen

Wir geben nun die Definition eines Ideal-Gitter abgeleitet aus [BFS05] an.

#### (3.1.1) Definition

- (i) Ein (*algebraischer*) *Zahlkörper* ist eine endliche Erweiterung des Körpers  $\mathbb{Q}$ .
- (ii) Der *Ring der ganzen Zahlen* eines Zahlkörpers  $K$  ist der Ring

$$\mathbb{Z}_K := \{a \in K \mid \mu_{a,\mathbb{Q}}(X) \in \mathbb{Z}[X]\}.$$

- (iii) Die *Norm* eines Ideals  $\mathcal{I}$  von  $\mathbb{Z}_K$  ist definiert als

$$\mathcal{N}(\mathcal{I}) := |\mathbb{Z}_K / \mathcal{I}|.$$

- (iv) Ein Zahlkörper  $K$  heißt *CM-Körper*, falls  $K$  total-imaginär ist und ein total-reeller Teilkörper  $K^+ \leq K$  existiert mit  $[K : K^+] = 2$ .

- (v) Sei  $K$  ein CM-Körper und  $\mathbb{Z}_K$  der Ring der ganzen Zahlen in  $K$ . Ein *Ideal-Gitter* ist ein Gitter  $(\mathcal{I}, b)$ , sodass  $\mathcal{I}$  ein gebrochenes  $\mathbb{Z}_K$ -Ideal ist und  $b : \mathcal{I} \times \mathcal{I} \rightarrow \mathbb{R}$  eine symmetrische positiv-definite Bilinearform mit  $b(\lambda x, y) = b(x, \bar{\lambda}y)$  für  $x, y \in \mathcal{I}$  und  $\lambda \in \mathbb{Z}_K$ . Die Abbildung  $\bar{\phantom{x}}$  bezeichnet dabei die herkömmliche komplexe Konjugation.
- (vi) Ein Element  $\alpha \in K^+$  heißt *total-positiv*, wenn  $\iota(\alpha) > 0$  für alle Einbettungen  $\iota : K^+ \hookrightarrow \mathbb{R}$ . Wir schreiben dann auch  $\alpha \gg 0$ . Die Menge aller total-positiven Elemente in  $K^+$  wird mit  $K_{\gg 0}^+$  bezeichnet.

Bis auf weiteres sei im Folgenden stets  $K$  ein CM-Körper,  $\mathbb{Z}_K$  der Ring der ganzen Zahlen in  $K$  und  $K^+$  der maximale total-reelle Teilkörper von  $K$ .

### (3.1.2) Bemerkung

Die Eigenschaften der Bilinearform in der obigen Definition sind nach [BFS05] äquivalent dazu, dass ein total-positives Element  $\alpha \in K^+$  existiert mit  $b(x, y) = \text{Spur}_{K/\mathbb{Q}}(\alpha x \bar{y})$ . Wir können Ideal-Gitter daher auch durch die Notation  $(\mathcal{I}, \alpha)$  beschreiben.

Ein Ideal-Gitter  $\mathcal{I}$  kann immer auch als  $\mathbb{Z}$ -Gitter betrachtet werden, indem man  $\mathbb{Z}_K$ -Erzeuger von  $\mathcal{I}$  und eine  $\mathbb{Z}$ -Basis von  $\mathbb{Z}_K$  zu  $\mathbb{Z}$ -Erzeugern von  $\mathcal{I}$  kombiniert. Im Folgenden bezeichnen wir daher  $\mathcal{I}$  als gerade, ganz, modular, etc., falls  $\mathcal{I}$  als  $\mathbb{Z}$ -Gitter diese Eigenschaften erfüllt und  $\mathcal{I}^\#$  als das Dualgitter von  $\mathcal{I}$  als  $\mathbb{Z}$ -Gitter.

Wir beschäftigen uns in dieser Arbeit mit Ideal-Gittern über zyklotomischen Zahlkörpern, also Körpern der Form  $\mathbb{Q}(\zeta_m)$  für primitive  $m$ -te Einheitswurzeln  $\zeta_m$ . Solche Körper sind CM-Körper mit maximalem total-reellem Teilkörper  $K^+ = \mathbb{Q}(\zeta_m + \bar{\zeta}_m)$ . Wir erhalten Körper dieser Form, indem wir Automorphismen von  $\mathbb{Z}$ -Gittern betrachten, die wie primitive Einheitswurzeln operieren. Diese Aussagen wollen wir nun ein wenig präzisieren. Dazu eine kurze Definition:



### (3.1.3) Definition

Sei  $K$  ein Körper und  $m \in \mathbb{N}$ .

1. Ein Element  $\zeta \in K$  heißt primitive  $m$ -te Einheitswurzel, falls  $|\langle \zeta \rangle| = m$  ist.
2. Gilt  $\text{char}(K) \nmid m$  und sind  $\zeta_1, \dots, \zeta_n$  die primitiven  $m$ -ten Einheitswurzeln in einem Zerfällungskörper von  $X^m - 1$ , dann heißt das Polynom

$$\Phi_m(X) := \prod_{i=1}^n (X - \zeta_i)$$

das  $m$ -te Kreisteilungspolynom.

Einige wichtige bekannte Fakten zu Kreisteilungspolynomen (z.B. zu finden in [Mol11, Kap. 1]), sind die folgenden:

### (3.1.4) Satz

- (i) Gilt  $\text{char}(K) \nmid m$ , so enthält der Zerfällungskörper von  $X^m - 1$  genau  $\varphi(m)$  primitive  $m$ -te Einheitswurzeln. Dabei ist  $\varphi(m) = |(\mathbb{Z}/m\mathbb{Z})^*|$  die *Eulersche  $\varphi$ -Funktion*.
- (ii) Ist  $\text{char}(K) = 0$ , dann ist  $\Phi_m \in \mathbb{Z}[X]$  und  $X^m - 1 = \prod_{d|m} \Phi_d$ .
- (iii) Speziell für  $K = \mathbb{Q}$  gilt  $[\mathbb{Q}(\zeta_m) : \mathbb{Q}] = \varphi(m)$  und  $\Phi(m) \in \mathbb{Q}[X]$  ist irreduzibel.
- (iv) Gilt  $\text{char}(K) \nmid m$ , so ist  $K(\zeta_m)/K$  eine Galoiserweiterung.

Wir sehen also, dass  $\zeta_m$  genau dann eine primitive  $m$ -te Einheitswurzel ist, wenn sie

das Minimalpolynom  $\Phi_m$  hat. Wir können  $\mathbb{Z}$ -Gitter somit auf die folgende Weise als Ideal-Gitter auffassen (vgl. [Neb13, Abschnitt (5.2)]):

**(3.1.5) Lemma**

Sei  $L$  ein  $\mathbb{Z}$ -Gitter in einem  $n$ -dimensionalen bilinearen Vektorraum  $(V, b)$  und  $\sigma \in \text{Aut}(L)$  mit  $\mu_\sigma = \Phi_m$  für ein  $m \in \mathbb{N}$  mit  $\varphi(m) = n$ . Dann ist  $L$  isomorph zu einem Ideal-Gitter in  $\mathbb{Q}(\zeta_m)$ .

**Beweis:**

Durch die Operation von  $\sigma$  wird  $\mathbb{Q}L$  mittels  $\zeta_m \cdot x := \sigma(x)$  für  $x \in \mathbb{Q}L$  zu einem ein-dimensionalen  $\mathbb{Q}(\zeta_m)$ -Vektorraum und  $L$  zu einem ein  $\mathbb{Z}[\zeta_m]$ -Modul. Wegen  $\mathbb{Z}[\zeta_m] = \mathbb{Z}_{\mathbb{Q}[\zeta_m]}$  ist  $L$  also ein gebrochenes Ideal in  $\mathbb{Q}(\zeta_m)$ .

Da  $\sigma$  ein Automorphismus ist, ist die Bilinearform  $b : L \times L \rightarrow \mathbb{Q}$  des Vektorraums  $\zeta_m$ -invariant. Sei nun  $\lambda \in \mathbb{Z}[\zeta_m]$  beliebig. Wir können  $\lambda = \sum_{i=0}^{m-1} a_i \zeta_m^i$  für Koeffizienten  $a_i \in \mathbb{Z}$  schreiben und sehen

$$b(\lambda x, y) = \sum_{i=0}^{m-1} a_i b(\zeta_m^i x, y) = \sum_{i=0}^{m-1} a_i b(x, \zeta_m^{-i} y) = \sum_{i=0}^{m-1} a_i b(x, \overline{\zeta_m^i} y) = b(x, \overline{\lambda} y),$$

womit die Eigenschaften eines Ideal-Gitters erfüllt sind.  $\square$

Mittels der Klassifikation der Ideal-Gitter über  $\mathbb{Q}(\zeta_m)$  erhalten wir also zugleich alle  $\mathbb{Z}$ -Gitter mit Minimalpolynom  $\Phi_m$ . Wie diese Klassifikation durchgeführt werden kann, erläutern wir in den nächsten Abschnitten.

## § 3.2 Strategie zur Klassifikation

Die in den nächsten Abschnitten beschriebenen Aussagen und Vorgehensweisen zur Klassifikation von Ideal-Gittern sind an [Jü15, Abschnitt (3.2)] und [Neb13, Abschnitt (5.2)] angelehnt.

**(3.2.1) Definition**

Das  $\mathbb{Z}_K$ -ideal

$$\Delta := \{x \in K \mid \text{Spur}_{K/\mathbb{Q}}(x\bar{y}) \in \mathbb{Z} \text{ für alle } y \in \mathbb{Z}_K\}$$

bezeichnet die *inverse Different* von  $\mathbb{Z}_K$ .

Wir können nun das Dual eines Idealgitters mithilfe der inversen Different ausdrücken.

**(3.2.2) Lemma**

Sei  $(\mathcal{I}, \alpha)$  ein Ideal-Gitter. Dann ist  $\mathcal{I}^\# = \bar{\mathcal{I}}^{-1} \Delta \alpha^{-1}$  das Dualgitter von  $\mathcal{I}$  als  $\mathbb{Z}$ -Gitter.

**Beweis:**

$$\begin{aligned} \mathcal{I}^\# &= \{x \in K \mid b(x, \mathcal{I}) \subseteq \mathbb{Z}\} \\ &= \{x \in K \mid \text{Spur}_{K/\mathbb{Q}}(\alpha x \bar{\mathcal{I}}) \subseteq \mathbb{Z}\} \\ &= \alpha^{-1} \{x \in K \mid \text{Spur}_{K/\mathbb{Q}}(x \bar{\mathcal{I}}) \subseteq \mathbb{Z}\} \\ &= \alpha^{-1} \bar{\mathcal{I}}^{-1} \{x \in K \mid \text{Spur}_{K/\mathbb{Q}}(x \overline{\mathbb{Z}_K}) \subseteq \mathbb{Z}\} \\ &= \bar{\mathcal{I}}^{-1} \Delta \alpha^{-1}. \end{aligned}$$

□

Mit Blick auf modulare Gitter kann man damit die nächste Folgerung ziehen:

**(3.2.3) Korollar**

Sei  $\ell$  quadratfrei und  $(\mathcal{I}, \alpha)$  ein gerades Ideal-Gitter der Stufe  $\ell$ . Die Menge  $\mathcal{B} := \alpha \mathcal{I} \bar{\mathcal{I}} \Delta^{-1}$  ist ein  $\mathbb{Z}_K$ -Ideal mit  $\ell \mathbb{Z}_K \subseteq \mathcal{B}$  und Norm  $\mathcal{N}(\mathcal{B}) = \det(\mathcal{I})$ .

**Beweis:**

Da  $\ell$  quadratfrei ist, gilt  $\ell \mathcal{I}^\# \subseteq \mathcal{I}$  nach Lemma (2.1.6). Mit Lemma (3.2.2) bedeutet dies:

$$\begin{aligned} \ell \mathcal{I}^\# &\subseteq \mathcal{I} \subseteq \mathcal{I}^\# \\ \Leftrightarrow \ell \bar{\mathcal{I}}^{-1} \Delta \alpha^{-1} &\subseteq \mathcal{I} \subseteq \bar{\mathcal{I}}^{-1} \Delta \alpha^{-1} \\ \Leftrightarrow \ell \mathbb{Z}_K &\subseteq \alpha \mathcal{I} \bar{\mathcal{I}} \Delta^{-1} \subseteq \mathbb{Z}_K. \end{aligned}$$

Für die Norm gilt

$$\det(\mathcal{I}) = |\mathcal{I}^\# / \mathcal{I}| = |\mathbb{Z}_K / \left( \mathcal{I} (\mathcal{I}^\#)^{-1} \right)| = |\mathbb{Z}_K / \mathcal{B}| = \mathcal{N}(\mathcal{B}). \quad \square$$

Da es jeweils nur endlich viele  $\mathbb{Z}_K$ -Ideale mit bestimmter Norm gibt, existieren bei der Konstruktion von Idealgittern mit fester Determinante nur endlich viele Möglichkeiten für  $\mathcal{B}$ . Mithilfe der Primidealzerlegung lässt sich ein rekursiver Algorithmus (Algorithmus (1)) konstruieren, welcher alle Teiler eines Ideals  $\mathcal{J}$  mit bestimmter Norm  $n$  berechnen kann.

Konkret wird unsere Strategie im groben daraus bestehen, alle (relevanten) Möglichkeiten für  $\mathcal{I}$  und  $\mathcal{B}$  durchzugehen und zu testen, für welche davon das Ideal  $(\mathcal{I} \bar{\mathcal{I}})^{-1} \Delta \mathcal{B}$  ein Hauptideal mit total-positivem Erzeuger  $\alpha \in K^+$  ist. Dazu machen wir zunächst einige Einschränkungen, um den Suchraum zu verkleinern.

---

**Algorithmus 1** Berechnung aller Teiler mit fester Norm

---

```
1: Eingabe:  $\mathbb{Z}_K$ -Ideal  $\mathcal{I}$ , Norm  $n$ 
2: Ausgabe: Liste aller Teiler von  $\mathcal{I}$  mit Norm  $n$ 
3:
4: if  $n = 1$  then return  $[\mathbb{Z}_K]$ 
5: if  $n \nmid \mathcal{N}(\mathcal{I})$  then return  $[\ ]$ 
6: if  $\mathcal{N}(\mathcal{I}) = n$  then return  $[\mathcal{I}]$ 
7: Zerlege  $\mathcal{I}$  in Primideale  $\mathcal{I} = \mathfrak{p}_1^{s_1} \dots \mathfrak{p}_k^{s_k}$ 
8:  $n_{\mathfrak{p}} \leftarrow \mathcal{N}(\mathfrak{p}_1)$ 
9:  $Results \leftarrow [\ ]$ 
10: for  $j \in \{0, \dots, s_1\}$  do
11:   if  $n_{\mathfrak{p}}^j \mid n$  then
12:      $D \leftarrow$  Teiler von  $\mathfrak{p}_2^{s_2} \dots \mathfrak{p}_k^{s_k}$  mit Norm  $\frac{n}{n_{\mathfrak{p}}^j}$  (rekursiv)
13:     for  $\mathcal{J} \in D$  do
14:        $Results \leftarrow Results \cup [\mathfrak{p}_1^j \mathcal{J}]$ 
15: return  $Results$ 
```

---

## § 3.3 Die Klassengruppe

### (3.3.1) Definition

Die *Klassengruppe*

$$\mathrm{Cl}_K := \{J \mid J \text{ ist gebrochenes } \mathbb{Z}_K\text{-Ideal}\} / \{(c)_{\mathbb{Z}_K} \mid c \in K^*\}.$$

### (3.3.2) Lemma

Seien  $\mathcal{I}$  ein gebrochenes  $\mathbb{Z}_K$ -Ideal und  $\alpha \in K_{\gg 0}^+$ . Für  $\lambda \in K^*$  gilt  $(\lambda\mathcal{I}, \alpha) \cong (\mathcal{I}, \lambda\bar{\lambda}\alpha)$ .

**Beweis:**

Sei  $b_\alpha : K \times K \rightarrow \mathbb{R}, (x, y) \mapsto \mathrm{Spur}_{K/\mathbb{Q}}(\alpha x \bar{y})$  die zu  $\alpha$  gehörige Bilinearform. Dann ist

$$b_\alpha(\lambda x, \lambda y) = \mathrm{Spur}_{K/\mathbb{Q}}(\lambda \bar{\lambda} \alpha x \bar{y}) = b_{\lambda \bar{\lambda} \alpha}(x, y).$$

Folglich ist  $\psi : (K, b_{\lambda \bar{\lambda} \alpha}) \rightarrow (K, b_\alpha), x \mapsto \lambda x$  eine Isometrie mit  $\psi(\mathcal{I}) = (\lambda\mathcal{I})$ . □

Mit dieser Aussage genügt es also, aus jeder Klasse der jeweils nur einen Vertreter zu betrachten. Wählt man  $\lambda \in \mathbb{Z}_K^*$ , so zeigt das Lemma, dass  $(\mathcal{I}, \alpha) \cong (\mathcal{I}, \lambda \bar{\lambda} \alpha)$ . Für  $\alpha$  reichen also Vertreter modulo  $\{\lambda \bar{\lambda} \mid \lambda \in \mathbb{Z}_K^*\}$ .

Wir wollen nun die zu untersuchenden Möglichkeiten für  $\mathcal{I}$  noch weiter einschränken: Ist  $K/\mathbb{Q}$  galoissch (wie es für zyklotomische Zahlkörper der Fall ist), so genügt ein Repräsentant modulo der Operation der Galosgruppe.

**(3.3.3) Lemma**

Sei  $K/\mathbb{Q}$  eine Galoiserweiterung,  $\mathcal{I}$  ein gebrochenes  $\mathbb{Z}_K$ -Ideal und  $\alpha \in K_{\gg 0}^+$ . Für  $\sigma \in \text{Gal}(K/\mathbb{Q})$  ist  $(\mathcal{I}, \alpha) \cong (\sigma(\mathcal{I}), \sigma(\alpha))$ .

**Beweis:**

Da die Spur invariant unter der Galoisgruppe ist, erhält man die folgende Gleichungskette.

$$\begin{aligned} b_{\sigma(\alpha)}(\sigma(x), \sigma(y)) &= \text{Spur}_{K/\mathbb{Q}}(\sigma(\alpha)\sigma(x)\overline{\sigma(y)}) \\ &= \text{Spur}_{K/\mathbb{Q}}(\sigma(\alpha x \bar{y})) = \text{Spur}_{K/\mathbb{Q}}(\alpha x \bar{y}) = b_{\alpha}(x, y) \end{aligned}$$

Also induziert  $\sigma$  eine Isometrie  $\sigma : (K, b_{\alpha}) \rightarrow (K, b_{\sigma(\alpha)})$ . □

**(3.3.4) Bemerkung**

Mit **MAGMA** kann die Klassengruppe berechnet werden, in gewissen Fällen ist der zugehörige Algorithmus jedoch sehr kostspielig. Unter Annahme der unbewiesenen *verallgemeinerten Riemann-Hypothese* erlauben gewisse Schranken eine leichtere Berechnung. Für die Implementierung gehen wir daher von der Korrektheit der Riemann-Hypothese aus. Sollte diese falsch sein, so sind die später angeführten Listen der gefundenen modularen Gitter möglicherweise unvollständig.

## § 3.4 Total-positive Erzeuger

Wir benötigen nun einen Test, welcher für ein gegebenes gebrochenes  $\mathbb{Z}_K$ -Ideal  $\mathcal{I}$  überprüft, dieses von einem total-positiven Element  $\alpha \in K_{\gg 0}^+$  erzeugt wird. Dazu untersuchen wir zuerst, ob  $\mathcal{I}$  überhaupt von einem Element aus  $K^+$  erzeugt ist und anschließend, wann ein Ideal  $\alpha'\mathbb{Z}_K$  für  $\alpha' \in K^+$  einen total-positiven Erzeuger hat.

**(3.4.1) Satz**

Sei  $\mathcal{I}$  ein gebrochenes  $\mathbb{Z}_K$ -Ideal. Es existiert genau dann ein  $\alpha' \in K^+$  mit  $\mathcal{I} = \alpha' \mathbb{Z}_K$ , wenn  $\mathcal{I} \cap K^+ = \alpha' \mathbb{Z}_{K^+}$  und für jeden Primteiler  $\mathfrak{p}$  von  $\mathcal{I}$  gilt

- Ist  $\mathfrak{p}$  verzweigt in  $K/K^+$ , so ist  $\nu_{\mathfrak{p}}(\mathcal{I}) \in 2\mathbb{Z}$ .
- Ist  $\mathfrak{p}$  unverzweigt in  $K/K^+$ , so ist  $\nu_{\mathfrak{p}}(\mathcal{I}) = \nu_{\bar{\mathfrak{p}}}(\mathcal{I})$ .

**Beweis:**

Wir zeigen zunächst, dass die Bedingungen an die Primteiler äquivalent dazu sind, dass  $\mathcal{I} = (\mathcal{I} \cap K^+) \mathbb{Z}_K$ .

Sei dazu zuerst  $\mathcal{I} = (\mathcal{I} \cap K^+) \mathbb{Z}_K$  erfüllt. Seien

$$\mathcal{I}' := \mathcal{I} \cap K^+ = \prod_{\mathfrak{a}} \mathfrak{a}^{\nu_{\mathfrak{a}}(\mathcal{I} \cap K^+)}, \quad \mathcal{I} = \prod_{\mathfrak{p}} \mathfrak{p}^{\nu_{\mathfrak{p}}(\mathcal{I})}$$

die Primidealzerlegungen. Dann folgt

$$\prod_{\mathfrak{a}} \mathfrak{a}^{\nu_{\mathfrak{a}}(\mathcal{I}')} \mathbb{Z}_K = \prod_{\mathfrak{p}} \mathfrak{p}^{\nu_{\mathfrak{p}}(\mathcal{I})}.$$

Aufgrund der Eindeutigkeit der Primidealzerlegung bedeutet dies

$$\mathfrak{a}^{\nu_{\mathfrak{a}}(\mathcal{I}')} \mathbb{Z}_K = \prod_{\mathfrak{p}|\mathfrak{a}} \mathfrak{p}^{\nu_{\mathfrak{p}}(\mathcal{I})}$$

für jedes Primideal  $\mathfrak{a}$  von  $\mathbb{Z}_{K^+}$ . Es ist  $[K : K^+] = 2$ , also kann  $\mathfrak{a} \mathbb{Z}_K$  nur eine der Formen  $\mathfrak{p}$ ,  $\mathfrak{p}^2$ , oder  $\mathfrak{p}\bar{\mathfrak{p}}$  für ein Primideal  $\mathfrak{p}$  in  $\mathbb{Z}_K$  annehmen.

- Falls  $\mathfrak{a} \mathbb{Z}_K = \mathfrak{p}^2$  (also falls  $\mathfrak{p}$  verzweigt ist), so folgt  $\nu_{\mathfrak{p}}(\mathcal{I}) = 2\nu_{\mathfrak{a}}(\mathcal{I}') \in 2\mathbb{Z}$ .
- In den anderen beiden Fällen (also falls  $\mathfrak{p}$  unverzweigt ist) gilt  $\nu_{\mathfrak{p}}(\mathcal{I}) = \nu_{\mathfrak{a}}(\mathcal{I}') = \nu_{\bar{\mathfrak{p}}}(\mathcal{I})$ .



Seien nun andersherum die Primideal-Bedingungen erfüllt. Definiert man

$$\mathcal{I}' := \prod_{\mathfrak{a}} \mathfrak{a}^{\nu_{\mathfrak{a}}(\mathcal{I}')} , \quad \nu_{\mathfrak{a}}(\mathcal{I}') = \begin{cases} \nu_{\mathfrak{p}}(\mathcal{I}) & \mathfrak{a}\mathbb{Z}_K \in \{\mathfrak{p}, \mathfrak{p}\bar{\mathfrak{p}}\} \\ \frac{1}{2}\nu_{\mathfrak{p}}(\mathcal{I}) & \mathfrak{a}\mathbb{Z}_K = \mathfrak{p}^2 \end{cases}$$

so gilt

$$\mathcal{I} = \prod_{\mathfrak{p}} \mathfrak{p}^{\nu_{\mathfrak{p}}(\mathcal{I})} = \prod_{\mathfrak{a}} (\mathfrak{a}\mathbb{Z}_K)^{\nu_{\mathfrak{a}}(\mathcal{I}')} = \mathcal{I}'\mathbb{Z}_K.$$

Also folgt  $(\mathcal{I} \cap K^+)\mathbb{Z}_K = (\mathcal{I}'\mathbb{Z}_K \cap K^+)\mathbb{Z}_K = \mathcal{I}'\mathbb{Z}_K = \mathcal{I}$  und es gilt die behauptete Äquivalenz.

Die Behauptung des Satzes wurde somit darauf reduziert, dass genau dann  $\mathcal{I} = \alpha'\mathbb{Z}_K$ , wenn  $\mathcal{I} \cap K^+ = \alpha'\mathbb{Z}_{K^+}$  und  $\mathcal{I} = (\mathcal{I} \cap K^+)\mathbb{Z}_K$  für  $\alpha' \in K^+$ . Dies folgt allerdings leicht mithilfe von  $(\alpha'\mathbb{Z}_K) \cap K^+ = \alpha'\mathbb{Z}_{K^+}$ .  $\square$

Mithilfe dieses Satzes können wir nun Algorithmus (2) formulieren, welcher zu einem gegebenen Ideal  $\mathcal{I}$  testet, ob dieses einen Erzeuger in  $K^+$  hat und - falls ja - einen solchen zurückgibt. Ein Primideal  $\mathfrak{a}$  wie im Beweis unseres Satzes erhalten wir, indem wir eine Primzahl  $p$  finden, sodass  $\mathfrak{p} \mid (p\mathbb{Z}_K)$ , dann muss  $\mathfrak{a}$  eines der Primideale aus der Faktorisierung von  $p\mathbb{Z}_{K^+}$  teilen.

### (3.4.2) Lemma

Sei  $\alpha' \in K^+$ . Ein total-positives Element  $\alpha \in K_{\gg 0}^+$  ist genau dann ein Erzeuger des Ideals  $\alpha'\mathbb{Z}_K$ , wenn eine Einheit  $\epsilon \in \mathbb{Z}_{K^+}^*$  existiert mit  $\alpha = \alpha'\epsilon$  und  $\text{sign}(\iota(\epsilon)) = \text{sign}(\iota(\alpha'))$  für alle Einbettungen  $\iota : K^+ \hookrightarrow \mathbb{R}$ .

### Beweis:

Ein weiterer Erzeuger hat immer die Gestalt  $\alpha = \alpha'\epsilon$  für eine Einheit  $\epsilon \in (\mathbb{Z}_{K^+})^*$ . Damit  $\alpha$  total-positiv wird muss für alle Einbettungen  $\iota : K^+ \hookrightarrow \mathbb{R}$  gelten:

$$1 \stackrel{!}{=} \text{sign}(\iota(\alpha)) = \text{sign}(\iota(\alpha')\iota(\epsilon)) = \text{sign}(\iota(\alpha')) \text{sign}(\iota(\epsilon))$$

---

**Algorithmus 2** Berechnung eines total-reellen Erzeugers

---

```
1: Eingabe:  $\mathbb{Z}_K$ -Ideal  $\mathcal{I}$ 
2: Ausgabe: Element  $\alpha' \in K^+$  mit  $\alpha'\mathbb{Z}_K = \mathcal{I}$ , oder false, falls ein solches Element
   nicht existiert
3:
4:  $\mathcal{I}' \leftarrow 1\mathbb{Z}_{K^+}$ 
5:  $\text{Split} \leftarrow [ ]$ 
6: Zerlege  $\mathcal{I} = \mathfrak{p}_1^{s_1} \dots \mathfrak{p}_k^{s_k}$  in Primideale.
7: for  $i \in \{1 \dots k\}$  do
8:   if  $i \in \text{Split}$  then continue
9:    $p \leftarrow$  Minimale natürliche Zahl  $p \in \mathbb{N}$  mit  $\mathfrak{p}_i \mid (p\mathbb{Z}_K)$ 
10:  Zerlege  $p\mathbb{Z}_{K^+}$  in Primideale:  $p\mathbb{Z}_{K^+} = \mathfrak{q}_1^{t_1} \dots \mathfrak{q}_l^{t_l}$ 
11:   $\mathfrak{a} \leftarrow \mathfrak{q}_j$  mit  $\mathfrak{p}_i \mid (\mathfrak{q}_j\mathbb{Z}_K)$ 
12:  if  $\mathfrak{a}\mathbb{Z}_K = \mathfrak{p}_i^2$  then
13:    if  $2 \nmid s_i$  then return false
14:     $\mathcal{I}' \leftarrow \mathcal{I}' \mathfrak{a}^{\frac{s_i}{2}}$ 
15:  else if  $\mathfrak{a}\mathbb{Z}_K = \mathfrak{p}_i$  then
16:     $\mathcal{I}' \leftarrow \mathcal{I}' \mathfrak{a}^{s_i}$ 
17:  else if  $\mathfrak{a}\mathbb{Z}_K = \mathfrak{p}_i \overline{\mathfrak{p}_i}$  then
18:    if  $\nu_{\mathfrak{p}_i}(\mathcal{I}) \neq \nu_{\overline{\mathfrak{p}_i}}(\mathcal{I})$  then return false
19:     $\mathcal{I}' \leftarrow \mathcal{I}' \mathfrak{a}^{s_i}$ 
20:     $j \leftarrow j'$  mit  $\mathfrak{p}_{j'} = \overline{\mathfrak{p}_i}$ 
21:     $\text{Split} \leftarrow \text{Split} \cup [j]$ 
22: if  $\mathcal{I}'$  kein Hauptideal then
23:   return false
24: else
25:   return Erzeuger von  $\mathcal{I}'$ 
```

---

Also müssen die Vorzeichen jeweils identisch sein.  $\square$

Elemente aus  $(\mathbb{Z}_{K^+}^*)^2$  haben immerzu positives Signum bezüglich allen Einbettungen. Außerdem liefern total-positive Elemente, die in der gleichen Klasse modulo Quadraten liegen nach Lemma (3.3.2) isomorphe Idealgitter. Es genügt also, sich bei der Suche nach einer Einheit wie im vorherigen Lemma auf Vertreter modulo Quadraten zu beschränken. Nach dem Dirichletschen Einheitensatz [Neu92, Theorem (7.4)] hat die Einheitengruppe die Struktur

$$\mathbb{Z}_{K^+}^* = \{\pm 1\} \times \mathbb{Z}^{t-1}.$$

mit  $t := [K^+ : \mathbb{Q}]$ . Die Erzeuger  $(\epsilon_1, \dots, \epsilon_t)$  der Gruppe heißen *Grundeinheiten*. Jede Einheit  $\epsilon$  lässt sich also darstellen in der Form  $\epsilon = \epsilon_1^{\nu_1} \dots \epsilon_t^{\nu_t}$ . Das folgende Korollar liefert uns nun die Lösung auf unsere Frage nach den total-positiven Erzeugern.

Dann lässt sich folgendes Korollar ziehen:

### (3.4.3) Korollar

Sei  $\alpha' \in K^+$ , seien die Einbettungen von  $K^+$  in  $\mathbb{R}$  gegeben durch  $\iota_1, \dots, \iota_t$  und seien  $\epsilon_1, \dots, \epsilon_t$  die Grundeinheiten von  $\mathbb{Z}_{K^+}^*$ . Definiere die Matrix

$$M \in \mathbb{F}_2^{t \times t}, \quad M_{ij} = \begin{cases} 1 & , \text{sign}(\iota_j(\epsilon_i)) = -1 \\ 0 & , \text{sign}(\iota_j(\epsilon_i)) = 1 \end{cases}$$

und den Vektor

$$V \in \mathbb{F}_2^{1 \times t}, \quad V_i = \begin{cases} 1 & , \text{sign}(\iota_i(\alpha')) = -1 \\ 0 & , \text{sign}(\iota_i(\alpha')) = 1 \end{cases}.$$

Dann sind die total-positiven Erzeuger des Ideals  $\alpha' \mathbb{Z}_K$  genau die Elemente der Menge  $\{\alpha' \epsilon_1^{x_1} \dots \epsilon_t^{x_t} \epsilon^2 \mid x \in \mathbb{F}_2^{1 \times t}, xM = V, \epsilon \in (\mathbb{Z}_{K^+}^*)\}$ .

**Beweis:**

Nach Lemma (3.4.2) und da Quadrate immerzu positives Signum haben, sind die total-positiven Erzeuger gegeben durch die Elemente  $u = \alpha' \epsilon_1^{x_1} \dots \epsilon_t^{x_t} \epsilon^2$ , wobei  $x \in \mathbb{F}_2^{1 \times t}$ ,  $\epsilon \in \mathbb{Z}_{K+}^*$  und  $\epsilon_1^{x_1} \dots \epsilon_t^{x_t}$  bezüglich allen Einbettungen dasselbe Signum wie  $\alpha'$  hat. Das Signum bezüglich einem  $\iota_i$  ist genau dann gleich, wenn

$$|\{j \mid \text{sign}(\iota_j(\epsilon_i)) = -1 \text{ und } x_i = 1\}| \equiv \begin{cases} 1 \pmod{2} & , \text{sign}(\iota_j(\alpha')) = -1 \\ 0 \pmod{2} & , \text{sign}(\iota_j(\alpha')) = 1 \end{cases}.$$

Diese Kongruenz ist aber genau dann erfüllt, wenn  $x$  Lösung des linearen Gleichungssystems  $xM = V$  ist.  $\square$

**(3.4.4) Bemerkung**

Um später in der Implementierung Zeit zu sparen, kann man bemerken, dass sich verschiedene total-positive Erzeuger des gleichen Ideals jeweils lediglich um eine total-positive Einheit unterscheiden. Es lohnt sich also, zu Beginn des Algorithmus die Menge aller total-positiven Einheiten (diese korrespondieren zum Kern von  $M$ ) zu berechnen, sodass man später pro Ideal jeweils nur eine spezielle Lösung des Gleichungssystems finden muss und die Menge aller total-positiven Erzeuger durch Multiplikation mit den vorher berechneten total-positiven Einheiten erstellt.

Eine weitere Anmerkung zur Implementierung: **MAGMA** kann mit der Funktion `pFundamentalUnits` eine Untergruppe von  $\mathbb{Z}_{K+}^*$  mit ungeradem Index berechnen. Wie das folgende Lemma zeigt, reicht dies für unser Vorhaben bereits aus, da wir nur ein Vertretersystem der Einheiten modulo Quadraten benötigen.

**(3.4.5) Lemma**

Sei  $G$  eine abelsche Gruppe und  $U \leq G$  mit  $[G : U]$  ungerade. Dann ist

$$G/G^2 \cong U/U^2.$$

**Beweis:**

Betrachte den Epimorphismus  $\pi : G \rightarrow G/G^2$ . Es ist bereits  $\pi|_U$  surjektiv, denn sei  $gG^2 \in G/G^2$ , dann ist  $g^{[G:U]} \in U$ , da  $(gU)^{[G:U]} = U$  und weil der Index ungerade ist auch  $\pi(g^{[G:U]}) = gG^2$ . Zudem ist  $\text{Kern}(\pi|_U) = U \cap G^2 = U^2$ , denn für  $g^2 \in U \cap G^2$  muss  $|gU| \leq 2$  gelten, die Ordnung kann aber wegen des ungeraden Index nicht 2 sein, also folgt bereits  $g \in U$  und somit  $g^2 \in U^2$ . Mit dem Homomorphiesatz folgt die Behauptung.  $\square$

Anhand der gewonnenen Erkenntnisse erstellen wir nun einen Algorithmus (3), der zu einem Ideal  $\mathcal{I} = \alpha' \mathbb{Z}_K$  für  $\alpha' \in K^+$  ein Vertretersystem aller total-positiven Erzeuger  $\alpha \in K_{\gg 0}^+$  modulo  $\lambda \bar{\lambda}$  für  $\lambda \in \mathbb{Z}_K^*$  zurückgibt. Die Ergebnisse der Zeilen 6 – 14 können in der Implementierung nach einmaliger Durchführung abgespeichert werden, sodass die Resultate anschließend für jedes zu prüfende  $\alpha'$  wiederverwertet werden können.

---

**Algorithmus 3** Berechnung total-positiver Erzeuger

---

```
1: Eingabe: Erzeuger  $\alpha' \in K^+$  von  $\mathcal{I}$ 
2: Ausgabe: Liste von Vertretern der Menge aller total-positiven Erzeuger  $\alpha \in K_{\gg 0}^+$ 
   von  $\mathcal{I}$  modulo  $\{\lambda\bar{\lambda} \mid \lambda \in \mathbb{Z}_K^*\}$  zurückgibt
3:
4:  $\iota_1, \dots, \iota_t \leftarrow$  Einbettungen  $K^+ \hookrightarrow \mathbb{R}$ 
5:  $\epsilon_1, \dots, \epsilon_t \leftarrow$  Erzeuger einer Untergruppe von  $\mathbb{Z}_{K^+}^*$  mit ungeradem Index
6:  $M \leftarrow 0 \in \mathbb{F}_2^{t \times t}$ 
7: for  $(i, j) \in \underline{t} \times \underline{t}$  do
8:   if  $\iota_j(\epsilon_i) < 0$  then
9:      $M_{ij} \leftarrow 1$ 
10:  $U' \leftarrow [\epsilon_1^{a_1} \dots \epsilon_t^{a_t} \mid a \in \text{Kern}(M)]$ 
11:  $U \leftarrow []$ 
12: for  $u' \in U'$  do
13:   if  $u' \neq u\lambda\bar{\lambda}$  für alle  $u \in U, \lambda \in \mathbb{Z}_K^*$  then
14:      $U \leftarrow U \cup [u']$ 
15:  $V \leftarrow 0 \in \mathbb{F}_2^{1 \times t}$ 
16: for  $i \in \{1, \dots, t\}$  do
17:   if  $\iota_i(\alpha') < 0$  then
18:      $V_i \leftarrow 1$ 
19:  $x \leftarrow$  Lösung von  $xM = V$ 
20: return  $\alpha' \epsilon_1^{x_1} \dots \epsilon_t^{x_t} U$ 
```

---

### § 3.5 Finaler Algorithmus und Ergebnisse

Alle bisherigen Bestandteile können nun zu einem Algorithmus zusammengesetzt werden, der zu einem quadratfreien  $\ell \in \mathbb{N}$ , einer vorgegebenen Determinante  $d$  und einem

CM-Körper  $K$  mit total-reellem Teilkörper  $K^+$  alle Ideal-Gitter berechnet.

---

**Algorithmus 4** Berechnung von Ideal-Gittern

---

```

1: Eingabe: Quadratfreies  $\ell \in \mathbb{N}$ ,  $d \in \mathbb{N}$ , CM-Körper  $K$ , maximaler total-reeller
   Teilkörper  $K^+$  von  $K$ 
2: Ausgabe: Per Isomorphie reduzierte Liste aller geraden Ideal-Gitter  $(\mathcal{I}, \alpha)$  über  $K$ 
   mit Determinante  $d$ , deren Stufe  $\ell$  teilt
3:
4:  $\mathfrak{A} \leftarrow$  Vertretersystem von  $Cl_K / \text{Gal}(K/\mathbb{Q})$ 
5:  $\mathfrak{B} \leftarrow [\mathcal{B} \mid \mathcal{B} \text{ ist } \mathbb{Z}_K\text{-Ideal mit } \ell\mathbb{Z}_K \subseteq \mathcal{B} \subseteq \mathbb{Z}_K \text{ und } \mathcal{N}(\mathcal{B}) = d]$  (nach Algorithmus
   (1))
6:  $Results \leftarrow []$ 
7: for  $(\mathcal{I}, \mathcal{B}) \in (\mathfrak{A}, \mathfrak{B})$  do
8:    $\mathcal{J} \leftarrow (\mathcal{I}\bar{\mathcal{I}})^{-1} \Delta \mathcal{B}$ 
9:   if  $\exists \alpha' \in K^+$  mit  $\mathcal{J} = \alpha' \mathbb{Z}_K$  (nach Algorithmus (2)) then
10:      $X \leftarrow [\alpha \in K_{\gg 0}^+ \mid \mathcal{J} = \alpha \mathbb{Z}_K]$  (nach Algorithmus (3))
11:     for  $\alpha \in X$  do
12:       if  $(\mathcal{I}, \alpha)$  ist gerades Gitter then
13:         if  $(\mathcal{I}, \alpha) \not\cong (\tilde{\mathcal{I}}, \tilde{\alpha})$  für alle  $(\tilde{\mathcal{I}}, \tilde{\alpha}) \in Results$  then
14:            $Results \leftarrow Results \cup [(\mathcal{I}, \alpha)]$ 

```

---

Mit diesem Algorithmus kann man nun alle  $\ell$ -modularen Gitter in Dimension  $n$  klassifizieren, welche einen Automorphismus  $\sigma$  besitzen mit  $\mu_\sigma = \Phi_m$  und  $\varphi(m) = n$ . Dazu wendet man Algorithmus (4) wie in Lemma (2.2.2) und Lemma (3.1.5) besprochen mit  $d = l^{\frac{n}{2}}$  und  $K = \mathbb{Q}(\zeta_m)$  an. Eine weitere kleine Erleichterung bringt in diesem Spezialfall die Tatsache, dass  $\mathbb{Q}(\zeta_m) \cong \mathbb{Q}(\zeta_{2m})$ , falls  $m \equiv 1 \pmod{2}$ . Insbesondere sind die Ideal-Gitter über  $\mathbb{Q}(\zeta_m)$  und  $\mathbb{Q}(\zeta_{2m})$  dieselben. Man kann also für eine vollständige Aufzählung alle  $m$  mit  $m \equiv 2 \pmod{4}$  weglassen. Eine Implementierung in **MAGMA** liefert nun alle  $\ell$ -modularen Ideal-Gitter mit Dimension  $n \leq 36$  (eine Steigerung der Dimension

$\begin{array}{c c} \ell & n \end{array}$	1	2	3	5	6	7	11	14	15	23
4	—	1(1)	1(1)	—	—	—	1(1)	1(1)	—	1(1)
6	—	—	1(1)	—	—	1(1)	—	—	—	—
8	1(1)	1(1)	1(1)	1(1)	1(1)	1(1)	2(1)	2(1)	1(1)	3(—)
10	—	—	—	—	—	—	1(1)	—	—	—
12	—	1(1)	2(1)	1(1)	1(1)	1(—)	1(—)	1(1)	—	1(—)
16	1(1)	2(1)	3(2)	1(—)	2(1)	4(3)	5(—)	5(—)	3(1)	5(—)
18	—	—	1(—)	—	—	—	—	—	—	—
20	—	1(1)	—	—	1(1)	1(—)	2(—)	—	—	—
22	—	—	—	—	—	—	—	—	—	2(—)
24	4(1)	2(1)	7(1)	5(1)	5(2)	8(—)	7(—)	8(—)	5(—)	14(—)
32	7(5)	13(4)	13(7)	10(—)	12(—)	19(—)	42(—)	21(—)	23(—)	—
36	—	6(3)	8(—)	8(—)	—	—	2(—)	36(—)	4(—)	—

Tabelle 3.1: Anzahl der  $\ell$ -modularen Ideal-Gitter in Dimension  $n \leq 36$ , sowie der Anzahl der extremalen Gitter darunter

beansprucht exponentiell höheren Zeitaufwand) und  $\ell \in \{1, 2, 3, 5, 6, 7, 11, 14, 15, 23\}$ . In Tabelle (3.5) sind die Gesamtzahlen der Ideal-Gitter zu finden, außerdem befindet sich in Anhang (5.1) eine ausführlichere Zusammenfassung der Klassifikationsergebnisse mit zusätzlicher Angabe der zugrundeliegenden zyklotomischen Zahlkörpern und Anzahl der Gitter aufgeteilt nach Minimum. Beachte dabei: der Zahlkörper ist im allgemeinen nicht eindeutig, ein Gitter kann möglicherweise Ideal-Gitter-Struktur über mehreren Kreisteilungskörpern gleichzeitig aufweisen; in der Tabelle im Anhang ist jeweils nur einer davon genannt.



## 4 Sub-Ideal-Gitter

### § 4.1 Einführung

Im letzten Kapitel haben wir gesehen, wie Gitter in Dimension  $n$  mit einem Automorphismus  $\sigma$  klassifiziert werden können, falls  $\mu_\sigma = \Phi_m$  und  $\varphi(m) = n$  erfüllt sind. In diesem Kapitel wollen wir versuchen, Aussagen über Gitter  $L$  zu treffen, welche nicht selbst Ideal-Gitter-Struktur aufweisen, aber zumindest ein Ideal-Gitter enthalten.

Ist  $L$  ein Gitter und  $\sigma \in \text{Aut}(L)$  von endlicher Ordnung mit Minimalpolynom  $\mu_\sigma = \Phi_{m_1} \cdots \Phi_{m_k}$ , so können wir den zugrundeliegenden Vektorraum  $V$  in  $\sigma$ -invariante Teilräume aufspalten:

$$V = \text{Kern}(\Phi_{m_1}(\sigma)) \oplus \cdots \oplus \text{Kern}(\Phi_{m_k}(\sigma)).$$

Wie das folgende Lemma zeigt, ist diese Zerlegung sogar orthogonal:

#### (4.1.1) Lemma

Sei  $(V, b)$  ein bilinearer Vektorraum und  $\sigma \in O(V, b)$  mit  $\mu_\sigma = \Phi_{m_1} \Phi_{m_2} \cdots \Phi_{m_k}$ , dann ist

$$V = \text{Kern}(\Phi_{m_1}(\sigma)) \perp \text{Kern}(\Phi_{m_2}(\sigma)) \perp \cdots \perp \text{Kern}(\Phi_{m_k}(\sigma))$$

eine Zerlegung in  $\sigma$ -invariante, orthogonale Teilräume.

**Beweis:**

Seien  $\pi_i : V \rightarrow \text{Kern}(\Phi_{m_i}(\sigma))$  für  $i = 1, \dots, k$  die Projektionen auf die Komponenten. Da  $\sigma$  eine Isometrie ist, gilt  $\sigma^{ad} = \sigma^{-1}$ , also ist  $\sigma$  insbesondere normal und damit auch die  $\pi_i$ , welche sich als Polynome in  $\sigma$  mit rationalen Koeffizienten ausdrücken lassen. Normale Projektionen sind allerdings selbstadjungiert, also gilt für alle  $x, y \in V$ , sowie  $i \neq j$ :

$$b(\pi_i(x), \pi_j(y)) = b(x, \pi_i^{ad}(\pi_j(y))) = b(x, \pi_i(\pi_j(y))) = b(x, 0) = 0$$

und daher  $\pi_i(V) \perp \pi_j(V)$ . Die angegebene Zerlegung von  $V$  ist somit orthogonal.  $\square$

Besitzt  $\mu_\sigma$  einen Teiler  $\Phi_m$ , wobei  $\frac{n}{2} < \varphi(m) \leq n$ , so muss  $\text{Kern}(\Phi_m(\sigma))$  die Dimension  $\varphi(m)$  haben, wird also zu einem eindimensionalen  $\mathbb{Q}(\zeta_m)$ -Vektorraum. Die orthogonale Zerlegung des Vektorraums induziert also ein volles Teilgitter

$$M := (L \cap \text{Kern}(\Phi_m(\sigma))) \perp \left( L \cap \text{Kern} \left( \frac{\mu_\sigma}{\Phi_m}(\sigma) \right) \right) \leq L,$$

und  $L \cap \text{Kern}(\Phi_m(\sigma))$  hat eine Struktur als Ideal-Gitter über dem zyklotomischen Zahlkörper  $\mathbb{Q}(\zeta_m)$ . Vergleiche dazu [Neb13, Abs. (5.3)]. Dies halten wir in der folgenden Definition fest.

**(4.1.2) Definition**

Sei  $L$  ein  $\mathbb{Z}$ -Gitter der Dimension  $n$ .

- (i) Ein *großer Automorphismus* von  $L$  ist ein  $\sigma \in \text{Aut}(L)$  mit  $\Phi_m | \mu_\sigma$  für ein  $m \in \mathbb{N}$ , sodass  $\frac{n}{2} < \varphi(m) \leq n$ .
- (ii) Ist  $\sigma \in \text{Aut}(L)$  ein großer Automorphismus, so bezeichnet man das Ideal-Gitter  $L \cap \text{Kern}(\Phi_m(\sigma))$  über  $\mathbb{Q}(\zeta_m)$  als *Sub-Ideal-Gitter* von  $L$ .

Unsere Strategie zur Klassifikation der Gitter  $L$  besteht darin, Eigenschaften des induzierten Teilgitters  $M$  zu zeigen, sowie die Operation von  $\sigma$  genauer zu untersuchen, um eine Liste möglicher Kandidaten für  $M$  und  $\sigma$  zu finden. Anschließend konstruieren wir  $L$  als  $\sigma$ -invariantes Obergitter von  $M$ .

Für Gitter mit großen Automorphismen können wir die Ideal-Gitter-Komponente mithilfe der Algorithmen aus dem letzten Kapitels effizient konstruieren. Probleme bereitet uns allerdings der andere Teil  $\text{Kern}\left(\frac{\mu_\sigma}{\Phi_m}(\sigma)\right)$  des Vektorraums, über welchen wir a priori nicht viel aussagen können. Abhilfe schaffen uns unter gewissen Umständen die Automorphismen von Primzahlordnung.

## § 4.2 Automorphismen von Primzahlordnung

Der folgende Abschnitt ist an [Jü15, Kap. 4] und [Neb13, Kap. 4] angelehnt.

Sei  $L$  in diesem Abschnitt ein  $\mathbb{Z}$ -Gitter in einem  $n$ -dimensionalen bilinearen  $\mathbb{Q}$ -Vektorraum  $(V, b)$  und  $\sigma \in \text{Aut}(L)$  von Primzahlordnung  $p$ . Dann ist  $\mu_\sigma \in \{\Phi_p, \Phi_1\Phi_p\}$ . Wie vorher erhält man eine  $\sigma$ -invariante Zerlegung

$$V = \text{Kern}(\Phi_1(\sigma)) \perp \text{Kern}(\Phi_p(\sigma)) =: V_1 \oplus V_p$$

Es ist  $\Phi_1(X) = X - 1$ , also  $V_p = \text{Bild}(\sigma - 1)$  und  $V_1 = \text{Kern}(\sigma - 1)$ . Seien  $n_p$  die Dimension von  $V_p$  und  $n_1$  die Dimension von  $V_1$  über  $\mathbb{Q}$ . Da  $V_p$  eine Struktur als  $\mathbb{Q}(\zeta_p)$ -Vektorraum hat und  $\dim_{\mathbb{Q}}(\mathbb{Q}(\zeta_p)) = p - 1$ , muss  $n_p$  von  $p - 1$  geteilt werden.

Die durch die orthogonale Zerlegung von  $V$  induzierten Gitter  $L_p := L \cap V_p$  und das  $L_1 := L \cap V_1$  nennen wir das *Bild-Gitter* und das *Fix-Gitter*. Außerdem sei  $M := L_1 \perp L_p \leq L$ . Im Folgenden wollen wir die Struktur von  $M$  näher untersuchen.

**(4.2.1) Lemma**

Seien  $\sigma$ ,  $L_1$  und  $L_p$  wie oben.

- (i) Es existiert ein Polynom  $v \in \mathbb{Z}[X]$  mit  $1 = \frac{1}{p}\Phi_p + \frac{1}{p}v \cdot \Phi_1$ .
- (ii) Es gilt  $pL \subseteq L_1 \perp L_p \subseteq L$ .

**Beweis:**

- (i) Nach (3.1.4) ist  $\Phi_p(X) = \frac{X^p-1}{X-1} = X^{p-1} + X^{p-2} + \dots + 1$ , also ist  $\Phi_p(1) = p$  und somit 1 eine Nullstelle von  $p - \Phi_p \in \mathbb{Z}[X]$ . Da  $\Phi_1(X) = X - 1$  folgt daher

$$p - \Phi_p = v \cdot \Phi_1 \text{ für ein } v \in \mathbb{Q}[X]. \quad (4.1)$$

Mit dem Lemma von Gauß muss  $v \in \mathbb{Z}[X]$  gelten. Umstellen der Gleichung (4.1) liefert die Behauptung.

- (ii) Zu zeigen ist  $px \in L_1 \perp L_p$  für alle  $x \in L$ . Wegen  $(\Phi_1\Phi_p)(\sigma) = 0$  und der  $\sigma$ -Invarianz von  $L$  ist

$$\begin{aligned} px &= \Phi_p(\sigma)(x) + (v \cdot \Phi_1)(\sigma)(x) \in L \cap \text{Kern}(\Phi_1(\sigma)) + L \cap \text{Kern}(\Phi_p(\sigma)) \\ &= (L \cap V_1) \perp (L \cap V_p) = L_1 \perp L_p \quad \square \end{aligned}$$

Mit diesem Lemma muss  $M$  ein Gitter der Dimension  $n$  sein, also gilt  $\text{Dim}(L_p) = n_p$  und  $\text{Dim}(L_1) = n_1$ . Ist  $L$  gerade und von quadratfreier Stufe  $\ell$ , so gilt  $\ell L^\# \subseteq L$ . Lemma (4.2.1)(ii) ist äquivalent zu  $pM^\# \subseteq L^\#$ . Zusammen erhält man folglich

$$\ell pM^\# \subseteq \ell L^\# \subseteq L$$

Schneidet man mit  $V_p$ , so folgt

$$\ell p(M^\# \cap V_p) \subseteq (L \cap V_p) \Leftrightarrow \ell pL_p^\# \subseteq L_p$$

und analog  $\ell p L_1^\# \subseteq L_1$ .

Im Spezialfall  $\text{ggT}(\ell, p) = 1$  bedeutet dies, dass die Stufe der Gitter  $L_1$  und  $L_p$  das Produkt  $\ell p$  teilt.

Als nächstes wollen wir die Determinanten von  $L_1$  und  $L_p$  untersuchen. Dazu werden die partiellen Dualgitter betrachtet.

**(4.2.2) Lemma**

Sei  $L$  ein gerades Gitter der quadratfreien Stufe  $\ell$  und  $\sigma \in \text{Aut}(L)$  von Primzahlordnung  $p$  mit  $\text{ggT}(p, \ell) = 1$ .

$$(i) \quad p L_1^{\#,p} \subseteq L_1.$$

$$(ii) \quad (1 - \sigma) L_p^{\#,p} \subseteq L_p.$$

**Beweis:**

Teil (i) folgt bereits aus der Definition des partiellen Duals, denn es gilt

$$p L_1^{\#,p} = p \left( \frac{1}{p} L_1 \cap L_1^\# \right) = L_1 \cap p L_1^\# \subseteq L_1.$$

Kommen wir nun zu Teil (ii). Definiere dazu die Projektionen  $\pi_1 := \frac{1}{p} \Phi_p(\sigma)$  und  $\pi_p := 1 - \pi_1$  auf  $V_1$  bzw.  $V_p$  (vgl. Lemma (4.2.1)). Es zeigt sich:

$$\begin{aligned} (1 - \sigma) \pi_p &= (1 - \sigma)(1 - \pi_1) \\ &= 1 - \sigma - \pi_1 + \sigma \pi_1 \\ &= 1 - \sigma - \pi_1 + \frac{1}{p} (\sigma^p + \sigma^{p-1} + \dots + \sigma) \\ &= 1 - \sigma - \pi_1 + \frac{1}{p} (1 + \sigma^{p-1} + \dots + \sigma) \\ &= 1 - \sigma - \pi_1 + \pi_1 \\ &= 1 - \sigma. \end{aligned}$$

Sei nun  $(b_1, \dots, b_n)$  eine Basis von  $L$  mit zugehöriger Dualbasis  $(b_1^\#, \dots, b_n^\#)$ , sodass  $(b_1, \dots, b_{n_p})$  Basis von  $L_p$  ist. Dann gilt

$$\pi_p(L^\#) = \pi_p(\langle b_1^\#, \dots, b_n^\# \rangle) = \langle b_1^\#, \dots, b_{n_p}^\# \rangle = L_p^\#.$$

Setzt man diese beiden Fakten zusammen, so erhält man

$$(1 - \sigma)L_p^\# = (1 - \sigma)\pi_p(L^\#) = (1 - \sigma)L^\# \stackrel{\text{Stufe } \ell}{\subseteq} (1 - \sigma)\frac{1}{\ell}L \stackrel{L \text{ } \sigma\text{-invariant}}{\subseteq} \frac{1}{\ell}L.$$

Außerdem ist  $(1 - \sigma)L_p^\# \subseteq V_p$ , also zusammen

$$(1 - \sigma)L_p^\# \subseteq \frac{1}{\ell}L \cap V_p = \frac{1}{\ell}L_p$$

Für das partielle Dual ergibt sich hiermit

$$(1 - \sigma)L_p^{\#,p} = (1 - \sigma) \left( \frac{1}{p}L_p \cap L_p^\# \right) \subseteq \frac{1}{p}L_p \cap \frac{1}{\ell}L_p = \frac{1}{\text{ggT}(p, \ell)}L_p = L_p \quad \square$$

Wir benötigen noch ein weiteres Hilfslemma.

#### (4.2.3) Lemma

Sei  $\Lambda$  ein gerades Gitter, dessen Stufe  $p\ell$  teilt, wobei  $p$  prim und  $\ell$  quadratfrei mit  $\text{ggT}(p, \ell) = 1$ . Dann ist  $\Lambda^{\#,p}/\Lambda \cong \Lambda^\#/\Lambda^{\#,\ell}$ .

**Beweis:**

Sei  $\psi : \Lambda^{\#,p} \rightarrow \Lambda^\#/\Lambda^{\#,\ell}, x \mapsto x + \Lambda^{\#,\ell}$ .

Surjektivität: Sei  $x \in \Lambda^\#$ . Wegen  $p\ell\Lambda^\# \subseteq \Lambda$  ist  $p\Lambda^\# \subseteq \Lambda^{\#,\ell}$  und  $\ell\Lambda^\# \subseteq \Lambda^{\#,p}$ .

Nach Euklid existieren Zahlen  $s, t \in \mathbb{Z}$  mit  $sp + t\ell = 1$ . Dann ist  $x = spx + t\ell x \subseteq \Lambda^{\#,\ell} + \Lambda^{\#,p}$  und somit  $\psi(t\ell x) = x + \Lambda^{\#,\ell}$ .

Kern: Der Kern der Abbildung ist  $\Lambda^{\#,p} \cap \Lambda^{\#,\ell}$ . Es ist einerseits

$$\Lambda^{\#,p} \cap \Lambda^{\#,\ell} \subseteq \frac{1}{p}\Lambda \cap \frac{1}{\ell}\Lambda = \frac{1}{\text{ggT}(p, \ell)}\Lambda = \Lambda$$

und andersherum per Definition  $\Lambda \subseteq \Lambda^{\#,p}$  und  $\Lambda \subseteq \Lambda^{\#,\ell}$ . Insgesamt ist  $\text{Kern}(\psi) = \Lambda$ .

Die Behauptung folgt nun mit dem Homomorphiesatz.  $\square$

Nun ein wichtiger Satz zur Bestimmung der Determinanten:

**(4.2.4) Satz**

Sei  $L$  wie vorher von Stufe quadratfreien Stufe  $\ell$  und  $\sigma \in \text{Aut}(L)$  mit  $|\sigma| = p$ ,  $\text{ggT}(p, \ell) = 1$ . Seien außerdem  $L_1$  und  $L_p$  definiert wie zuvor mit Dimensionen  $n_1$  und  $n_p$ . Dann gilt:

$$L_1^{\#,p}/L_1 \cong \mathbb{F}_p^s \cong L_p^{\#,p}/L_p$$

für ein  $s \in \{0, \dots, \min(n_1, \frac{n_p}{p-1})\}$ .

**Beweis:**

Wir zeigen zunächst  $L_1^{\#,p}/L_1 \cong L_p^{\#,p}/L_p$ . Dies ist nach Lemma (4.2.3) äquivalent zu  $L_1^{\#}/L_1^{\#,\ell} \cong L_p^{\#}/L_p^{\#,\ell}$ .

Sei  $y \in L_1^{\#}$  beliebig. Die Abbildung  $L_1 \rightarrow \mathbb{Z}, x \mapsto b(x, y)$  ist eine Linearform. Da  $L_1$  der Schnitt von  $L$  mit dem Untervektorraum  $V_1$  ist, lässt sich diese Linearform sich eindeutig fortsetzen zu einer Linearform auf ganz  $L$ . Unter Ausnutzung der Isomorphie  $\text{Hom}_{\mathbb{Z}}(L, \mathbb{Z}) \cong L^{\#}$  existiert ein Element  $\hat{y} \in L^{\#}$ , welches diese Linearform darstellt, insbesondere gilt also  $b(x, y) = b(x, \hat{y})$  für alle  $x \in L_1$ . Zunächst zeigt sich für das Element  $\hat{y} - y$ :

$$b(x, \hat{y} - y) = 0 \quad \text{für alle } x \in L_1$$

und somit  $\hat{y} - y \in V_1^{\perp} = V_p$ . Außerdem ist

$$b(x, \hat{y} - y) = b(x, \hat{y}) - b(x, y) = b(x, \hat{y}) \in \mathbb{Z} \quad \text{für alle } x \in L_p.$$

Insgesamt gilt damit  $\hat{y} - y \in L_p^\#$ . Wir können somit die folgende Abbildung definieren:

$$\psi : L_1^\# \rightarrow L_p^\# / L_p^{\#, \ell}, y \mapsto (\hat{y} - y) + L_p^{\#, \ell}.$$

Wir zeigen nun, dass  $\psi$  ein wohldefinierter Epimorphismus mit Kern  $L_1^{\#, \ell}$  ist und folgern dann die Behauptung erneut mit dem Homomorphiesatz.

Wohldefiniert: Es definiere  $\tilde{y} \in L^\#$  eine weitere Fortsetzung. Da  $L$  von Stufe  $\ell$  ist, gilt  $\hat{y} - \tilde{y} \in L^\# \subseteq \frac{1}{\ell}L$ . Wir schlussfolgern für  $y \in L_1^\#$ :

$$(\hat{y} - y) - (\tilde{y} - y) = \hat{y} - \tilde{y} \in \frac{1}{\ell}L \cap L_p^\# = \frac{1}{\ell}L_p \cap L_p^\# = L_p^{\#, \ell}.$$

Das Bild unter  $\psi$  hängt daher nicht von der gewählten Fortsetzung ab.

Linearität: Seien  $y_1, y_2 \in L_1^\#$  mit Elementen  $\hat{y}_1, \hat{y}_2 \in L^\#$ , welche die zugehörigen fortgesetzten Linearformen darstellen. Für  $s, t \in \mathbb{Z}$  definiert dann  $s\hat{y}_1 + t\hat{y}_2$  eine Fortsetzung der Linearform  $x \mapsto b(x, sy_1 + ty_2)$ .

Surjektivität: Sei  $y' \in L_p^\#$ . Es korrespondiere  $\hat{y} \in L^\#$  zu einer Fortsetzung von  $x \mapsto b(x, y) \in \text{Hom}_{\mathbb{Z}}(L_p, \mathbb{Z})$  auf  $L$ . Wie zuvor liegt dann das Element  $y := \hat{y} - y'$  in  $L_1^\#$ . Durch  $\hat{y}$  wird zudem eine Fortsetzung der Linearform  $L_1 \rightarrow \mathbb{Z}, x \mapsto b(x, y)$  dargestellt, denn für alle  $x \in L_1$  ist

$$b(x, y) = b(x, \hat{y} - y') = b(x, \hat{y}) - b(x, y') = b(x, \hat{y})$$

Somit ist  $\psi(y) = (\hat{y} - y) + L_1^{\#, \ell} = y' + L_1^{\#, \ell}$ .

Kern: Es ist  $\text{Kern}(\psi) \subseteq L_1^{\#, \ell}$ , denn sei  $y \in \text{Kern}(\psi)$ , so gilt  $\hat{y} - y \in \frac{1}{\ell}L_p^{\#, \ell} \subseteq \frac{1}{\ell}L_p \subseteq \frac{1}{\ell}L$ . Da zudem  $\hat{y} \in L^\# \subseteq \frac{1}{\ell}L$  ist, folgt  $y = \hat{y} - (\hat{y} - y) \in \frac{1}{\ell}L$ . Insgesamt gilt daher  $y \in \frac{1}{\ell}L \cap L_1^\# = \frac{1}{\ell}L_1 \cap L_1^\# = L_1^{\#, \ell}$ .

Andersherum ist  $L_1^{\#, \ell} \subseteq \text{Kern}(\psi)$ , denn sei  $y \in L_1^{\#, \ell}$ , so ist  $y \in \frac{1}{\ell}L_1 \subseteq \frac{1}{\ell}L$ . Somit gilt  $\hat{y} - y \in \frac{1}{\ell}L \cap L_p^\# = \frac{1}{\ell}L_p \cap L_p^\# = L_p^{\#, \ell}$  und damit  $y \in \text{Kern}(\psi)$ .



Die erste Behauptung folgt nun aus dem Homomorphiesatz.

Verwendet man nun Lemma (4.2.2), so zeigt sich, dass  $L_1^{\#,p}/L_1$  ein Quotient der Gruppe  $L_1^{\#,p}/pL_1^{\#,p} \cong \mathbb{F}_p^{n_1}$  ist und somit die Gestalt  $\mathbb{F}_p^s$  für ein  $s \in \{0, \dots, n_1\}$  besitzt.

Analog zeigt dasselbe Lemma, dass  $L_p^{\#,p}/L_p$  ein Faktor der Gruppe  $L_p^{\#,p}/(1-\sigma)L_p^{\#,p} \cong (\mathbb{Z}[\zeta_p]/(1-\zeta_p)\mathbb{Z}[\zeta_p])^{\frac{n_p}{p-1}}$  ist. Hier ist

$$\begin{aligned} p + (1 - \zeta_p)\mathbb{Z}[\zeta_p] &= \underbrace{1 + \dots + 1}_{p \text{ mal}} + (1 - \zeta_p)\mathbb{Z}[\zeta_p] \\ &= 1^{p-1} + \dots + 1^0 + (1 - \zeta_p)\mathbb{Z}[\zeta_p] \\ &= \zeta_p^{p-1} + \dots + \zeta_p^0 + (1 - \zeta_p)\mathbb{Z}[\zeta_p] \\ &= 0 + (1 - \zeta_p)\mathbb{Z}[\zeta_p], \end{aligned}$$

diese enthält also genau  $p$  Elemente und wir erhalten finalerweise, dass  $L_p^{\#,p}/L_p$  ein Quotient von  $(\mathbb{F}_p)^{\frac{n_p}{p-1}}$  ist. Damit folgt  $s \leq \frac{n_p}{p-1}$ .  $\square$

Wir können damit die Faktorgruppen  $L_1^{\#,p}/L_1$  und  $L_p^{\#,p}/L_p$  als  $\mathbb{F}_p$ -Vektorräume der Dimension  $s$  auffassen.

Nach Lemma (4.2.3) ist

$$\text{Det}(L_p) = [L_p^{\#} : L_p] = [L_p^{\#} : L_p^{\#, \ell}] \cdot [L_p^{\#, \ell} : L_p] = [L_p^{\#, p} : L_p] \cdot [L_p^{\#, \ell} : L_p].$$

Außerdem teilt  $p$  den Index  $[L_p^{\#, \ell} : L_p]$  nicht, da der Exponent der Faktorgruppe  $L_p^{\#, \ell}/L_p$  wegen  $\ell L_p^{\#, \ell} \subseteq L_p$  ein Teiler von  $\ell$  sein muss und  $\text{ggT}(\ell, p) = 1$ . Ist also  $s$  wie im vorigen Satz, so ist  $s$  bereits die  $p$ -Bewertung der Determinante von  $L_p$ . Die Überlegungen funktionieren selbstverständlich analog für  $L_1$ . Der Satz sagt uns also, dass  $\text{Det}(L_1) = p^s c$  und  $\text{Det}(L_p) = p^s d$  für gewisse  $c, d \in \mathbb{N}$  teilerfremd zu  $p$ . Nach Lemma (4.2.1) ist der Index  $[L : M]$  allerdings eine  $p$ -Potenz, während die Determinante von  $L$  teilerfremd zu  $p$  ist. Daher muss  $c \cdot d = \text{Det}(L)$  gelten und sich der in Abbildung (4.1) dargestellte Inklusionsverband ergeben.

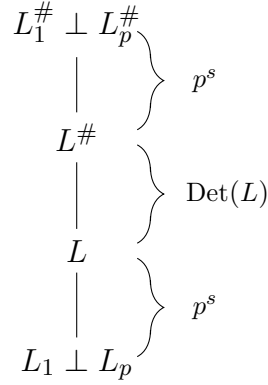


Abbildung 4.1: Inklusionsverband

Diese Überlegungen erlauben uns folgende Definition:

**(4.2.5) Definition**

Sei  $L$  ein gerades Gitter der quadratfreien Stufe  $\ell$ . Sei weiterhin  $\sigma \in \text{Aut}(L)$  von Ordnung  $p$  und  $L_1$  und  $L_p$  mit Dimensionen  $n_1$  und  $n_p$  wie zuvor die von  $\sigma$  induzierten Teilgitter. Die Primfaktorzerlegung von  $\ell$  sei gegeben durch  $\ell = q_1 \dots q_m$ . Ist  $\text{Det}(L_1) = p^s q_1^{k_{1,1}} \dots q_m^{k_{1,m}}$  und  $\text{Det}(L_p) = p^s q_1^{k_{p,1}} \dots q_m^{k_{p,m}}$ , so nennen wir das Tupel

$$p - (n_1, n_p) - s - q_1 - (k_{1,1}, k_{p,1}) - q_2 - (k_{1,2}, k_{p,2}) - \dots - q_m - (k_{1,m}, k_{p,m})$$

den *Typen* von  $\sigma$ .

Ist  $m = 1$ , also  $\ell$  prim, so können wir die Schreibweise verkürzen zu

$$p - (n_1, n_p) - s - (k_1, k_p).$$

Wir können nun einige Einschränkungen an den Typen eines solchen Automorphismus machen. Im Spezialfall  $p = 2$  hat die Gruppe  $M^{\# \cdot 2}/M$  Exponent 2, wir zeigen nun eine veränderte Version von [Neb13, Lemma (4.9)].

**(4.2.6) Lemma**

Sei  $M$  ein gerades Gitter in einem bilinearen Vektorraum  $(V, b)$  und  $M^{\#,2}/M$  habe Exponent 2. Dann enthält  $M$  ein Teilgitter isometrisch zu  $\sqrt{2}U$ , wobei  $U$  ein Gitter mit  $U = U^{\#,2}$  ist und der Index  $[M : \sqrt{2}U]$  eine Zweierpotenz.

**Beweis:**

Wir betrachten die 2-adische Jordanzerlegung (vgl. [CS93, (7.1)])

$$\mathbb{Z}_2 \otimes M \cong f_1 \perp \sqrt{2}f_2$$

mit einem geraden Gitter  $f_1$  und einem ganzen Gitter  $f_2$ , sodass  $\text{Det}(f_1)$  und  $\text{Det}(f_2)$  teilerfremd zu 2 sind. Da  $f_1$  ein regulärer  $\mathbb{Z}_2$ -Modul ist, erlaubt uns [Kne02, Satz (4.1)] eine Zerlegung

$$f_1 = E_1 \perp E_2 \perp \cdots \perp E_m$$

mit regulären Teilmoduln  $E_i$  von Dimension  $\leq 2$ . Da jedes  $E_i$  ein gerades Gitter sein muss, folgt  $\text{Dim}(E_i) = 2$  für alle  $i = 1, \dots, m$ . Insbesondere hat  $f_1$  die gerade Dimension  $2m$ .

Ist  $m = 0$ , so sind wir fertig mit  $U := f_2$ . Sei also nun  $m > 0$ .

Wir zeigen nun,  $f_1$  enthält ein Element  $v$  mit  $b(v, v) \in 2\mathbb{Z}_2^*$ . Dazu schreiben wir  $E_1 = \langle x, y \rangle$  und definieren  $s, t$  durch  $b(x, x) \in 2^s\mathbb{Z}_2^*$  und  $b(y, y) \in 2^t\mathbb{Z}_2^*$ . Ist  $s = 1$  oder  $t = 1$ , so haben wir mit  $v := x$  bzw.  $v := y$  ein solches Element gefunden. Seien also nun  $s, t \geq 2$ . Dann folgt

$$b(x - y, x - y) = b(x, x) + b(y, y) - 2b(x, y).$$

Nun muss  $b(x, y)$  in  $\mathbb{Z}_2^*$  liegen, da sonst die Gram-Matrix von  $E_1$  nur gerade Einträge und somit auch eine gerade Determinante hätte. Somit erhalten wir

$$b(x - y, x - y) \in 2^s\mathbb{Z}_2^* + 2^t\mathbb{Z}_2^* + 2\mathbb{Z}_2^* = 2(\underbrace{2^{s-1}\mathbb{Z}_2^* + 2^{t-1}\mathbb{Z}_2^*}_{\subseteq 2\mathbb{Z}_2} + \mathbb{Z}_2^*) \subseteq 2\mathbb{Z}_2^*.$$

Damit ist  $v := x - y$  ein Element wie gesucht.

Nach den obigen Überlegungen können ohne Einschränkung annehmen, dass  $E_1 = \langle x, v \rangle$ , sonst vertausche  $x$  und  $y$ . Setze nun  $w := b(v, v)x - b(v, x)v$ , dann ist  $b(v, w) = b(v, v)b(v, x) - b(v, x)b(v, v) = 0$  und mit  $b(x, v) \in \mathbb{Z}_2^*$  außerdem

$$b(w, w) = b(v, v)^2 b(x, x) - b(v, v)b(x, v)^2 \in 2^{2+s}\mathbb{Z}_2^* + 2\mathbb{Z}_2^* = 2\mathbb{Z}_2^*.$$

Nun folgt:  $\langle v \rangle \perp \langle w \rangle \perp E_2 \perp \cdots \perp E_m$  ist ein Teilgitter von  $f_1$  vom Index 2 und  $\langle v \rangle \perp \langle w \rangle = \sqrt{2}g$  für ein reguläres, ganzes Gitter  $g$ . Insgesamt ist somit

$$U' := \langle v \rangle \perp \langle w \rangle \perp E_2 \perp \cdots \perp E_m \perp \sqrt{2}f_2$$

ein Teilgitter von  $M$  vom Index 2 und mit Jordanzerlegung  $(E_2 \perp \cdots \perp E_m) \perp \sqrt{2}(g \perp f_2)$ .

Induktion liefert nun die Behauptung.  $\square$

Ist  $M$  wie im obigen Lemma mit Determinante  $2^s a$  für ein ungerades  $a \in \mathbb{N}$ , dann hat das Gitter  $U$  somit Determinante  $a$  und Minimum  $\text{Min}(U) \geq \frac{\text{Min}(M)}{2}$ . Nun können wir einige Einschränkungen an die Typ-Parameter zeigen.

#### (4.2.7) Satz

Sei  $L$  ein gerades,  $n$ -dimensionales Gitter der quadratfreien Stufe  $\ell$  mit Determinante  $\text{Det}(L) = \ell^k$ . Sei zudem  $\sigma \in \text{Aut}(L)$  von Typ  $p - (n_1, n_p) - s - q_1 - (k_{1,1}, k_{p,1}) - \cdots - q_m - (k_{1,m}, k_{p,m})$ , wobei  $\text{ggT}(p, \ell) = 1$ . Dann gelten folgende Einschränkungen (für alle  $i \in \underline{m}$ ):

- (i)  $n_1 + n_p = n$ .
- (ii)  $s \in \{0, \dots, \min(n_1, \frac{n_p}{p-1})\}$ .
- (iii)  $s \equiv_2 \frac{n_p}{p-1}$  und für  $p = 2$  zusätzlich  $s \equiv_2 0$ .

(iv)  $k_{1,i} \in \{0, \dots, \min(n_1, k)\}$ .

(v)  $k_{1,i} \equiv_2 k$ .

(vi)  $k_{p,i} \in \{0, \dots, \min(n_p, k)\}$ .

(vii)  $k_{p,i} \equiv_2 0$ .

(viii)  $(2f(q_i)) \mid k_{p,i}$ , wobei  $f(q_i)$  den Trägheitsgrad von  $q_i \mathbb{Z}_{\mathbb{Q}(\zeta_p + \zeta_p^{-1})}$  bezeichne.

(ix)  $k_{1,i} + k_{p,i} = k$ .

### Beweis:

Eigenschaft (i) ist klar, (ii) ist Satz (4.2.4), Nummer (iv), (vi) und (ix) ergeben sich daraus, dass die Stufen von  $L_p$  und  $L_1$  Teiler von  $p^\ell$  sind und der Tatsache, dass  $\frac{\text{Det}(L_1)\text{Det}(L_p)}{p^{2s}} = \text{Det}(L)$ .

Nach [Jü15, Satz (3.1.4)(d) und Lemma (3.1.1)] existiert ein  $\mathbb{Z}_{\mathbb{Q}(\zeta_p + \zeta_p^{-1})}$ -Ideal  $\mathfrak{a}$  mit

$$\text{Det}(L_p) = p^s q_1^{k_{p,1}} \dots q_m^{k_{p,m}} = p^{(p-2)\frac{n_p}{p-1}} \cdot \mathcal{N}(\mathfrak{a})^2.$$

Mit  $\text{ggT}(p, \ell) = 1$  zeigt die Gleichung sofort Eigenschaft (vii). Außerdem kann man ablesen, dass  $s \equiv_2 (p-2)\frac{n_p}{p-1}$  sein muss. Für (iii) bleibt also lediglich zu zeigen, dass im Falle  $p = 2$  ebenfalls  $s \equiv_2 \frac{n_p}{p-1}$  gilt. Hierfür verwenden wir Lemma (4.2.6) mit  $M := L_p$ . Für das  $U$  aus dem Lemma gilt

$$2^{n_p} = |(\sqrt{2}U)^{\#,2} / \sqrt{2}U| = |L_2^{\#,2} / L_2| [L_2 : U]^2 = 2^{s+2\nu_2([L_2:U])}.$$

Zuletzt ergibt sich (v) aus (vii) und (ix). Teil (viii) ist [Jü15, Korollar (4.1.9)]. □

Wir können nun mithilfe der Einschränkungen aus Satz (4.2.7) und den Hermite-Schranken aus (2.2) den Algorithmus (5) entwerfen, welcher die möglichen Automorphismen typen gerader Gitter mit quadratfreier Stufe zurückgibt.

---

**Algorithmus 5** Aufzählung von Automorphismen-Typen

---

1: **Eingabe:** Quadratfreies  $\ell \in \mathbb{N}$ ,  $k \in \mathbb{N}$ ,  $n \in \mathbb{N}$ ,  $t \in \mathbb{N}$ .

2: **Ausgabe:** Liste aller Typen von Automorphismen mit Primzahlordnung  $p$  von geraden Gittern der Stufe  $\ell$ , Determinante  $\ell^k$ , Dimension  $n$ , und Minimum  $\geq t$ , wobei  $\text{ggT}(p, \ell) = 1$ .

3:

4:  $\text{Res} \leftarrow [ ]$

5:  $b \leftarrow$  Liste von Schranken für die Hermite-Konstante  $\gamma_i$  für  $1 \leq i \leq n$

6:  $q_1, \dots, q_m \leftarrow$  Primfaktoren von  $\ell$

7: **for**  $p \in \mathbb{P}_{\leq n+1} - \{q_1, \dots, q_m\}$  **do**

8:    $f_i :=$  Trägheitsgrad von  $q_i \mathbb{Z}_{\mathbb{Q}(\zeta_p + \zeta_p^{-1})}$  für  $i = 1, \dots, m$

9:   **for**  $n_p \in \{i(p-1) \mid 1 \leq i \leq \lfloor \frac{n}{p-1} \rfloor\}$  **do**

10:      $n_1 \leftarrow n - n_p$

11:     **for**  $(k_{p,1}, k_{p,2}, \dots, k_{p,m}) \in \prod_{i=1}^m \{(2f_i)j \mid j \in \{0, \dots, \lfloor \frac{\min(n_p, k)}{2f_i} \rfloor\}\}$  **do**

12:        $k_{1,i} \leftarrow k - k_{p,i}, \quad i \in \underline{m}$

13:       **if**  $\exists i \in \underline{m} : (k_{1,i} > \min(n_1, k)) \vee (k_{1,i} \not\equiv_2 k) \vee (k_{p,i} \not\equiv_2 0)$  **then**

14:         **continue**

15:       **for**  $s \in \{0, \dots, \min(n_1, \frac{n_p}{p-1})\}$  **do**

16:         **if**  $s \not\equiv_2 (p-2) \frac{n_p}{p-1}$  **then continue**

17:          $\gamma_1 \leftarrow \frac{t}{\left(p^s q_1^{k_{1,1}} \dots q_m^{k_{1,m}}\right)^{1/n_1}}$

18:          $\gamma_p \leftarrow \frac{t}{\left(p^s q_1^{k_{p,1}} \dots q_m^{k_{p,m}}\right)^{1/n_p}}$

19:         **if**  $\gamma_1 > b_{n_1}$  oder  $\gamma_p > b_{n_p}$  **then continue**

20:       **if**  $p = 2$  **then**

21:          $\gamma'_1 \leftarrow \frac{t/2}{\left(q_1^{k_{1,1}} \dots q_m^{k_{1,m}}\right)^{1/n_1}}$

22:          $\gamma'_p \leftarrow \frac{t/2}{\left(q_1^{k_{p,1}} \dots q_m^{k_{p,m}}\right)^{1/n_p}}$

23:         **if**  $\gamma'_1 > b_{n_1}$  oder  $\gamma'_p > b_{n_p}$  **then continue**

24:        $\text{Res} \leftarrow \text{Res} \cup [p - (n_1, n_p) - s - q_1 - (k_{1,1}, k_{p,1}) - \dots - (k_{1,m}, k_{p,m})]$

25: **return** Res

---

Wir haben in diesem Kapitel die möglichen Typen von Automorphismen mit Primzahlordnung studiert und Aussagen über die Determinanten der induzierten Teilgitter getroffen. Als nächstes definieren wir den Begriff des *Geschlechts* von Gittern und beschreiben eine Möglichkeit zur Aufzählung eines Geschlechts

## § 4.3 Geschlechter

### (4.3.1) Definition

Wir sagen, zwei ganze Gitter  $L$  und  $L'$  liegen im selben *Geschlecht*, wenn

$$\mathbb{R} \otimes L \cong \mathbb{R} \otimes L' \quad \text{und} \quad \mathbb{Z}_p \otimes L \cong \mathbb{Z}_p \otimes L' \quad \text{für alle } p \in \mathbb{P}.$$

Dabei bezeichnet  $\mathbb{Z}_p$  den Ring der  $p$ -adischen ganzen Zahlen.

Conway und Sloane geben in [CS93, Kap. 15, Abs. 7] eine trennende Invariante der Geschlechter von Gittern an, das sogenannte *Geschlechtssymbol*. Dessen Gestalt und Eigenschaften werden im Folgenden erläutert.

Das gesamte Symbol setzt sich aus mehreren lokalen Symbolen zusammen; eines für jede Primzahl und eines für  $(-1)$ .

Sei  $L$  ein ganzes Gitter in einem bilinearen  $\mathbb{Q}$ -Vektorraum  $(V, b)$ . Das  $(-1)$ -adische Symbol ist von der Gestalt

$$+^{r-s}$$

und beschreibt die Signatur der Bilinearform  $b$ .

Für die  $p$ -adischen Symbole, wobei  $p \in \mathbb{P}$ , betrachte die Jordanzerlegung

$$\mathbb{Z}_p \otimes L \cong f_1 \perp \sqrt{p}f_p \perp \cdots \perp \sqrt{p}^k f_{p^k}$$

Klar ist: haben zwei Gitter die gleiche Signatur und über allen Primzahlen die gleiche Jordanzerlegung, so liegen sie im gleichen Geschlecht. Leider ist die Jordanzerlegung im allgemeinen nicht eindeutig, es ist jedoch bekannt, inwiefern sich zwei unterschiedliche Jordanzerlegungen desselben Gitters unterscheiden.

Für  $p > 2$  ist die Zerlegung eindeutig bis auf die Determinanten der Teilgitter  $f_1, \dots, f_{p^k}$ , welche sich um ein Quadrat unterscheiden können. Genauer: definiere die Invarianten

$$n_q := \dim(f_q), \quad \epsilon_q := \left( \frac{\text{Det}(f_q)}{p} \right) := \begin{cases} +1 & , \text{Det}(f_q) \in (\mathbb{Z}_p^*)^2 \\ -1 & , \text{Det}(f_q) \notin (\mathbb{Z}_p^*)^2 \end{cases}$$

für  $q \in \{1, p, \dots, p^k\}$ , dann sind zwei Gitter genau dann isometrisch über  $\mathbb{Z}_p$ , wenn sie dieselben Invarianten  $n_q$  und  $\epsilon_q$  haben. Wir definieren nun das  $p$ -adische Symbol für  $p > 2$  als das formale Produkt

$$1^{\epsilon_1 n_1} p^{\epsilon_p n_p} \dots (p^k)^{\epsilon_{p^k} n_{p^k}}.$$

Beispielsweise bedeutet das Symbol  $1^{-2}3^{+5}$ , dass jede Jordanzerlegung des Gitters die Form  $\mathbb{Z}_3 \otimes L \cong f_1 \perp \sqrt{3}f_3$  besitzt mit  $\dim(f_1) = 2$ ,  $\dim(f_3) = 5$ , außerdem  $\text{Det}(f_1)$  kein Quadrat, aber  $\text{Det}(f_3)$  ein Quadrat mod 3.

Der Fall  $p = 2$  ist aufwändiger. Da  $b$  ursprünglich eine Bilinearform über  $\mathbb{Q}$  ist, können wir sie nach [Kne02, Satz (1.20)] diagonalisieren. Sei  $G_q$  jeweils die diagonalisierte Matrix der Bilinearform auf dem zu  $f_q$  gehörigen Teilraum. Wir definieren

$$\begin{aligned} n_q &:= \dim(f_i) \\ S_q &:= \begin{cases} \text{I} & , f_q \text{ ist kein gerades Gitter} \\ \text{II} & , f_q \text{ ist gerades Gitter} \end{cases} \\ \epsilon_q &:= \left( \frac{\text{Det}(f_q)}{2} \right) := \begin{cases} +1 & , \text{Det}(f_q) \equiv_8 \pm 1 \\ -1 & , \text{Det}(f_q) \equiv_8 \pm 3 \end{cases} \end{aligned}$$



$$t_q := \begin{cases} \text{Spur}(G_q) \bmod 8 & , S_q = \text{I} \\ 0 & , S_q = \text{II} \end{cases}$$

für  $q \in \{1, 2, 4, \dots, 2^k\}$ . Wir erhalten nun das vorläufige Symbol

$$1_{t_1/\text{II}}^{\epsilon_1 n_1} 2_{t_2/\text{II}}^{\epsilon_2 n_2} \dots (2^k)_{t_{2^k}/\text{II}}^{\epsilon_{2^k} n_{2^k}}$$

Wobei der Index für Komponenten mit  $S_q = \text{I}$  den Wert  $t_q$  darstellt und andernfalls  $\text{II}$  ist. Dieses Symbol ist noch immer nicht eindeutig, wir benötigen zusätzliche Normierungsbedingungen. Wir fassen nun maximale Teilintervalle mit der Eigenschaft, dass alle Faktoren in den Intervallen den Typ  $S_q = \text{I}$  haben (mit eckigen Klammern) zu sogenannten *Abteilen* zusammen. Außerdem trennen wir (mit Doppelpunkten) das Symbol in maximale Teilintervalle, genannt *Züge*, sodass in jedem Zug mindestens einer von je zwei aufeinanderfolgenden Faktoren den Typ  $S_q = \text{I}$  hat. Beispielsweise wird so das Symbol

$$1_{\text{II}}^{+2} 2_6^{-2} 4_5^{+3} 8_{\text{II}}^{+0} 16_{\text{II}}^{+1} 32_{\text{II}}^{+2} 64_3^{+1} \quad (4.2)$$

zu

$$1_{\text{II}}^{+2} [2_6^{-2} 4_5^{+3}] 8_{\text{II}}^{+0} : 16_{\text{II}}^{+1} : 32_{\text{II}}^{+2} [64_3^{+1}].$$

Es gibt nun genau zwei mögliche Transformationen des Symbols, sodass diese Jordanzerlegungen desselben Gitters entsprechen.

Erstens stellen zwei solche Symbole das gleiche Gitter dar, wenn sie sich nur durch Änderungen der  $t_q$  bei den Typ-I-Faktoren unterscheidet, die Summen aller  $t_q$  pro Abteil jedoch kongruent sind modulo 8. Nach dieser Regel genügt es also, im 2-adischen Symbol jeweils nur einen Index pro Abteil anzugeben, der die Summe der enthaltenen  $t_q$  modulo 8 darstellt.

Zweitens sind zwei Symbole äquivalent, sie durch beliebig häufige Anwendung der folgenden Schritte auseinander hervorgehen:

- Wähle  $2^{k_1} < 2^{k_2} \in \{1, 2, \dots, 2^k\}$  so, dass die zugehörigen Komponenten im selben Zug liegen.

- Setzte  $\epsilon_{2k_1} = -\epsilon_{2k_1}$  und  $\epsilon_{2k_2} = -\epsilon_{2k_2}$ .
- Definiere den Weg  $W := \{(a, 2a) \mid a = k_1, 2k_1, \dots, \frac{1}{2}k_2\}$ .
- In jedem Abteil, sodass  $|\{(a, 2a) \in W \mid a \text{ oder } 2a \text{ im Abteil}\}|$  ungerade, ändere die Werte  $t_q$  aller Komponenten so, dass die Summe dieser sich um genau 4 modulo 8 unterscheidet.

Beispielsweise korrespondieren die Symbole

$$1_{\text{II}}^{+2} [2^{-2} 4^{+3}]_3 8_{\text{II}}^{+0} [16^{-1}]_5$$

und

$$1_{\text{II}}^{+2} [2^{+2} 4^{+3}]_3 8_{\text{II}}^{+0} [16^{+1}]_1$$

zum gleichen Gitter. Es wurden die Vorzeichen bei 2 und 16 verändert. Dabei involvieren zwei Schritte das erste Abteil und ein Schritt das zweite Abteil, also muss der Index des zweiten Abteils um 4 geändert werden, der Index des ersten Abteils jedoch nicht.

Als Normierungsbedingung für diese Transformation können wir fordern, dass jeder Zug höchstens einmal das Vorzeichen  $\epsilon_q = -1$  enthalten soll und dass dieses bei der ersten Komponente von Dimension  $n_q > 0$  auftritt. Dies schließt die Beschreibung des 2-adischen Symbols ab. Es können bloß noch kosmetische Änderungen vorgenommen werden, so wie das Auslassen der Komponenten von Dimension 0. So hat beispielsweise das fertige 2-adische Symbol von (4.2) die Form

$$1^{-2} [2^{+2} 4^{+3}]_7 : 16^{+1} : 32^{+2} [64^{+1}]_3.$$

Als nächstes stellt sich andersherum die Frage, zu welchen möglichen Symbolen überhaupt Gitter existieren können. Dazu müssen folgende Bedingungen erfüllt sein.

- (i) Für alle  $p \in \mathbb{P}$  gilt  $\prod_{q \in \{1, p, p^2, \dots\}} \epsilon_q = \left(\frac{a}{p}\right)$ , wobei  $\text{Det}(L) = p^\alpha a$  und  $\text{ggT}(p, a) = 1$ .

(ii) Sei für  $p \in \mathbb{P}$  der Wert  $k_p$  definiert als die Anzahl der Potenzen  $q$  von  $p$ , sodass  $q$  kein Quadrat ist, aber  $\epsilon_q = -1$ . Dann ist

$$r - s + \sum_{p>2} \left( 4k_p + \sum_{q \in \{1, p, p^2, \dots\}} n_q(q-1) \right) \equiv 4k_2 + \sum_{q \in \{1, 2, 4, \dots\}} t_q \pmod{8}.$$

(iii) Für alle  $q$  mit  $n_q = 0$  gilt  $\epsilon_q = +1$ .

(iv) Sei  $q$  eine Zweierpotenz. Dann:

- $n_q = 0 \Rightarrow S_q = \text{II}$  und  $\epsilon_q = +1$ .
- $n_q = 1, \epsilon_q = +1 \Rightarrow t_q \equiv_8 \pm 1$
- $n_q = 1, \epsilon_q = -1 \Rightarrow t_q \equiv_8 \pm 3$
- $n_q = 2, S_q = \text{I}, \epsilon_q = +1 \Rightarrow t_q \equiv_8 0 \text{ oder } \pm 2$
- $n_q = 2, S_q = \text{I}, \epsilon_q = -1 \Rightarrow t_q \equiv_8 4 \text{ oder } \pm 2$
- $n_q \equiv_2 t_q$
- $n_q$  ungerade  $\Rightarrow S_q = \text{I}$ .

Erfüllt ein System von  $p$ -adischen Symbolen für  $p \in \mathbb{P} \cup \{-1\}$  all diese Bedingungen, dann existiert ein ganzes Gitter mit diesen Symbolen. Die Gleichung (ii) bezeichnen Conway und Sloane auch als *Oddity-Formel*.

Wir können nun alle lokalen Symbole zum gesamten Geschlechtssymbol kombinieren. Dieses hat die Form

$$\text{I}_{r-s}(\dots), \quad \text{bzw.} \quad \text{II}_{r-s}(\dots).$$

Wobei I/II dem Typen  $S_1$  entspricht,  $r, s$  der reellen Signatur und die Klammern die  $p$ -adischen Symbole für  $p \in \mathbb{P}$  enthalten. Dabei werden die Komponenten zur Potenz

0 jeweils ausgelassen, deren Invarianten lassen sich jedoch mithilfe der Dimension und Determinante von  $L$ , sowie den angegebenen Bedingungen an die  $p$ -adischen Symbole bei Bedarf herleiten.

### (4.3.2) Beispiele

- (i) Das Gitter  $L := A_2 \times D_4$  hat Dimension 8 und Determinante  $2^4 3^4$ . Über  $\mathbb{Z}_2$  hat es eine Jordanzerlegung

$$\mathbb{Z}_2 \otimes L \cong f_1 \perp \sqrt{2}f_2,$$

wobei  $f_1$  und  $f_2$  gerade Gitter sind,  $\dim(f_2) = 4$  und  $\text{Det}(f_2) = 225 \equiv_8 1$ . Über  $\mathbb{Z}_3$  hat es eine Zerlegung

$$\mathbb{Z}_3 \otimes L \cong g_1 \perp \sqrt{3}g_2,$$

wobei  $\dim(g_2) = 4$  und  $\text{Det}(g_2) = 1$ , also ein Quadrat in  $\mathbb{Z}_3^*$ , ist. Das Geschlecht von  $L$  hat somit das Geschlechtssymbol

$$\text{II}_8(2^{+4} 3^{+4}).$$

- (ii) Ist  $L$  ein positiv-definites, gerades,  $n$ -dimensionales Gitter der Stufe  $\ell \in \mathbb{P}_{>2}$  mit Determinante  $\ell^{\frac{n}{2}}$ , so ergibt sich aus der Oddity-Formel die Gleichung

$$\frac{n(\ell+1)}{2} \equiv_8 4k_\ell.$$

Weiterhin muss  $\epsilon_1 \epsilon_3 = \left( \frac{\text{Det}(L)/\ell^{\frac{n}{2}}}{\ell} \right) = 1$  oder äquivalent  $\epsilon_1 = \epsilon_\ell$  sein. Da genau dann  $k_\ell = 1$  gilt, wenn  $\epsilon_\ell = 1$  und sonst  $k_\ell = 0$ , ist das zu  $L$  gehörige Geschlechtssymbol:

$$\begin{aligned} \text{II}_n \left( \ell^{+\frac{n}{2}} \right), & \quad \text{falls } \frac{n(\ell+1)}{2} \equiv_8 0, \\ \text{II}_n \left( \ell^{-\frac{n}{2}} \right), & \quad \text{falls } \frac{n(\ell+1)}{2} \equiv_8 4. \end{aligned}$$

(iii) Ähnlich können wir für 2-modulare Gitter vorgehen. Sei  $L$  ein positiv-definites, gerades,  $n$ -dimensionales Gitter der Stufe 2 mit Determinante  $2^{\frac{n}{2}}$ . Wie zuvor muss  $\epsilon_1 = \epsilon_2$  sein und  $k_2 = 1 \Leftrightarrow \epsilon_2 = 1$ . Die Oddity-Formel ergibt

$$n \equiv_8 4k_2 + t_2.$$

Weiterhin können wir die Modularität von  $L$  ausnutzen. Sei

$$\mathbb{Z}_2 \otimes L \cong f_1 \perp \sqrt{2}f_2$$

die 2-adische Jordanzerlegung von  $L$ , dann hat  $L^\#$  die Jordanzerlegung

$$\mathbb{Z}_2 \otimes L^\# = f_1 \perp \sqrt{2}^{-1}f_2$$

und somit

$$\mathbb{Z}_2 \otimes (\sqrt{2}L^\#) = f_2 \perp \sqrt{2}f_1.$$

Nun ist aber  $\sqrt{2}L^\# \cong L$  und damit ein gerades Gitter, also muss auch  $f_2$  gerade sein und  $t_2 = 0$ . Erneut ist allein anhand der Dimension das Geschlechtssymbol eindeutig festgelegt:

$$\begin{aligned} \Pi_n \left( 2^{+\frac{n}{2}} \right), & \quad \text{falls } n \equiv_8 0, \\ \Pi_n \left( 2^{-\frac{n}{2}} \right), & \quad \text{falls } n \equiv_8 4. \end{aligned}$$

Jürgens beschreibt in [Jü15, Abschnitt (4.1.3)], welche Gestalt die Geschlechtssymbole der von einem Automorphismus von Primzahlordnung induzierten Gitter  $L_1$  und  $L_p$  wie im vorherigen Abschnitt besitzen.

### (4.3.3) Satz

Sei  $L$  ein Gitter der primen Stufe  $\ell \in \mathbb{P}$  mit einem Automorphismus  $\sigma$  von Typ  $p - (n_1, n_p) - s - (k_1, k_p)$  für ein  $p \in \mathbb{P}_{>2}$ , wobei  $\text{ggT}(p, \ell) = 1$ . Wie zuvor seien außerdem  $L_1 = L \cap \text{Kern}(\sigma - 1)$  und  $L_p = L \cap \text{Bild}(\sigma - 1)$ . Die Geschlechter von  $L$ ,  $L_1$  und  $L_p$  haben die Formen

$$L \in \text{II}_n(\ell^{\epsilon k}), \quad L_1 \in \text{II}_{n_1}(p^{\delta_1 s} \ell^{\epsilon_1 k_1}), \quad L_p \in \text{II}_{n_p}(p^{\delta_p s} \ell^{\epsilon_p k_p})$$

und für die Parameter  $\epsilon, \delta_1, \epsilon_1, \delta_p, \epsilon_p$  gelten die folgenden Beziehungen:

$$(i) \quad \epsilon_1 \epsilon_p = \epsilon$$

$$(ii) \quad \delta_1 \delta_p = (-1)^{\frac{s(p-1)}{2}}$$

$$(iii) \quad \delta_p = (-1)^{\frac{k_p}{f(\ell)} + \frac{p-1}{2} \left( \binom{n_p / (p-1) + 1}{2} + \binom{s}{2} \right)}$$

$$(iv) \quad \text{falls } \ell \neq 2: \epsilon_p = (-1)^{\frac{k_p}{f(\ell)} + \frac{\ell-1}{2} \binom{k_p}{2}}$$

$$(v) \quad \text{falls } \ell = 2: \epsilon_p = \delta_p \Leftrightarrow n_p + s(p-1) \equiv_8 0.$$

Dabei bezeichnet  $f(\ell)$  den Trägheitsgrad von  $\ell \mathbb{Z}_{\mathbb{Q}(\zeta_p + \zeta_p^{-1})}$ .

Die Geschlechtssymbole sind unter den gegebenen Voraussetzungen also eindeutig durch den Typen des Automorphismus festgelegt.

## § 4.4 Kneser-Nachbarschaftsmethode

Wir kommen nun zur Aufzählung aller Gitter eines gegebenen Geschlechtes. Kneser beschreibt in [Kne02, Abschnitt 28] eine Methode, welche Gitter in *Spinorgeschlechtern*

mithilfe einer Nachbar-Konstruktion aufzählt.

**(4.4.1) Definition**

Sei  $p$  eine Primzahl, sowie  $L$  und  $M$   $\mathbb{Z}$ -Gitter im gleichen Vektorraum. Man bezeichnet  $L$  und  $M$  als  $p$ -Nachbarn, falls  $[L : L \cap M] = p = [M : L \cap M]$ .

Sei  $\mathcal{G}$  ein Geschlecht und  $C$  die Menge aller Isometrie-Klassen von Gittern in  $\mathcal{G}$ . Der Graph mit Knotenmenge  $C$  und Kanten zwischen  $C_1, C_2 \in C$  genau dann, wenn  $C_1$  und  $C_2$   $p$ -Nachbarn sind bezüglich einem  $p \in \mathbb{P}$ , heißt *Nachbarschafts-Graph*.

Kneser beschreibt, wie die Menge aller  $p$ -Nachbarn eines gegebenen Gittes  $L$  gebildet werden kann. Nach [SH98] ist der Nachbarschafts-Graph endlich. Außerdem gilt der folgende Satz:

**(4.4.2) Satz**

Sei  $L$  ein Gitter von Dimension  $\geq 3$ . Hat für jede Primzahl  $q \in \mathbb{P}$  die Jordanzerlegung von  $\mathbb{Z}_q \otimes L$  mindestens eine Komponente von Dimension  $\geq 2$ , so besteht jeder Nachbarschafts-Graph von  $L$  aus genau einer Zusammenhangskomponente.

Die recht schwache Bedingung zur Jordanzerlegung ist beispielsweise für alle Gitter von quadratfreier Stufe - also für alle von uns zu untersuchende Geschlechter - erfüllt. Daher können wir durch sukzessive Nachbar-Bildung das gesamte Geschlecht aufzählen. Als Heuristik, um auszuwählen, für welchen Knoten als nächstes die Nachbarn konstruiert werden, verwenden wir die Häufigkeit mit der ein Gitter bisher gefunden wurde - unter den am seltensten gefundenen Gittern wird zufällig eines ausgewählt. Es sind noch andere Strategien denkbar, wie beispielsweise eine einfache Breiten- oder Tiefensuche, oder

Auswählen eines Gitters mit der größten Automorphismengruppe. Des Weiteren können wir als Abbruchbedingung das sogenannte *Maß* eines Geschlechtes benutzen (vgl. [Kne02, Abschnitt 35]).

**(4.4.3) Definition**

Es sei  $\mathcal{G}$  ein Geschlecht von Gittern und  $L_1, \dots, L_h$  ein Vertretersystem der Isometrieklassen von Gittern in  $\mathcal{G}$ . Der Wert

$$\text{Maß}(\mathcal{G}) = \sum_{i=1}^h \frac{1}{|\text{Aut}(L_i)|}$$

heißt das *Maß* des Geschlechtes  $\mathcal{G}$ .

Das Maß eines Geschlechtes kann ohne tatsächliche Aufzählung mithilfe der *Maßformel* berechnet werden. Indem wir die Kehrwerte der Ordnungen der Automorphismengruppen aller bisher gefundenen Gitter während des Algorithmus aufaddieren, können wir also über die Differenz zum tatsächlichen Maß feststellen, ob wir bereits alle Isometrieklassen gefunden haben. Zusätzlich können wir eine weitere nützliche Einschränkung machen: haben wir bisher Gitter  $L_1, \dots, L_{h'}$  gefunden und ist  $m := \sum_{i=1}^{h'} \frac{1}{|\text{Aut}(L_i)|}$ , so muss jedes weitere Gitter  $M$  im Geschlecht eine Automorphismengruppe mit  $|\text{Aut}(M)| \geq \frac{1}{\text{Maß}(\mathcal{G}) - m}$  besitzen. Sobald das verbleibende Maß also kleiner als 1 ist, können wir bei gefundenen Nachbarn mit zu kleiner Automorphismengruppe Isometrietests sparen. Insgesamt kommen wir so auf Algorithmus (6) zur Aufzählung eines Geschlechtes anhand eines Vertreters. Für die Bestimmung eines Vertreters zu einem gegebenen Geschlechtssymbol wird ein MAGMA-Programm aus der Diplomarbeit von David Lorch [Lor11] verwendet.

Für Dimension  $n \leq 2$  sind die Voraussetzungen von Satz (4.4.2) nicht erfüllt, dennoch ist die Aufzählung eines Geschlechtes leicht. Das Geschlechtssymbol legt insbesondere die Determinante  $d$  aller Gitter des Geschlechtes fest. Im Falle  $n = 1$  muss jedes Gitter



im Geschlecht folglich die Gram-Matrix  $(d) \in \mathbb{Z}^{1 \times 1}$  besitzen. Nun zum Fall  $n = 2$ . Die Hermite-Konstante  $\gamma_2$  hat auf 4 Stellen abgerundet den Wert 1.1547. Für alle Gitter  $L$  des Geschlechtes muss also  $\text{Min}(L) \leq 1.1548\sqrt{\text{Det}(L)}$  gelten. Sei  $t := \text{Min}(L)$  und  $(e_1, e_2)$  eine Basis von  $L$  mit  $b(e_1, e_1) = t$ . Die Gram-Matrix von  $L$  bezüglich dieser Basis hat die Gestalt  $\begin{pmatrix} t & x \\ x & y \end{pmatrix}$ . Ohne Einschränkung gilt  $-t < x < t$ , sonst ersetze sukzessiv  $e_2$  durch  $e_2 + e_1$  für  $x < -t$ , bzw. durch  $e_2 - e_1$  für  $t < x$ , denn  $b(e_1, e_2 \pm e_1) = x \pm t$ . Der Wert  $y$  ist dann eindeutig bestimmt durch  $\text{Det}(L) = ty - x^2$ . Diese Überlegungen ergeben Algorithmus (7).

---

**Algorithmus 6** Aufzählung aller Isometrieklassen eines Geschlechtes

---

```
1: Eingabe: Gitter  $L$  von Dimension  $\geq 3$ 
2: Ausgabe: Liste von Vertretern aller Isometrieklassen im Geschlecht von  $L$ 
3:
4:  $\mathcal{G} \leftarrow$  Geschlecht von  $L$ 
5:  $M \leftarrow \text{Maß}(\mathcal{G})$ 
6:  $m \leftarrow \frac{1}{|\text{Aut}(L)|}$ 
7:  $Gen \leftarrow [L]$ 
8:  $Explored \leftarrow [false]$ 
9:  $NumFound \leftarrow [1]$ 
10: while  $m < M$  do
11:    $RareFound \leftarrow \{i \mid \neg Explored[i] \wedge NumFound[i] \leq NumFound[j] \ \forall j\}$ 
12:    $i \leftarrow$  zufälliges Element aus  $RareFound$ 
13:    $Neigh \leftarrow$  2-Nachbarn von  $Gen[i]$ 
14:    $Explored[i] \leftarrow true$ 
15:   for  $N \in Neigh$  do
16:      $MinAuto \leftarrow \frac{1}{M-m}$ 
17:     if  $|\text{Aut}(N)| < MinAuto$  then
18:       continue
19:     if  $\exists j : Gen[j] \cong N$  then
20:        $NumFound[j] \leftarrow NumFound[j] + 1$ 
21:     else
22:        $Gen \leftarrow Gen \cup [N]$ 
23:        $Explored \leftarrow Explored \cup [false]$ 
24:        $NumFound \leftarrow NumFound \cup [1]$ 
25:        $m \leftarrow m + \frac{1}{|\text{Aut}(N)|}$ 
26: return  $Gen$ 
```

---

---

**Algorithmus 7** Aufzählung aller Isometrieklassen eines Geschlechtes von Dimension 2

---

```
1: Eingabe: Geschlechtssymbol  $S$  mit Dimension 2
2: Ausgabe: Liste von Vertretern aller Isometrieklassen im zugehörigen Geschlecht
3:
4:  $d \leftarrow$  durch  $S$  festgelegte Determinante
5:  $Gen \leftarrow []$ 
6: for  $t \in \{0, \dots, \lfloor 1.1548\sqrt{d} \rfloor\}$  do
7:   for  $x \in \{-t+1, \dots, t-1\}$  do
8:      $y := \frac{\text{Det}(L) - x^2}{t}$ 
9:     if  $y \notin \mathbb{Z}$  then
10:       continue
11:      $L \leftarrow$  Gitter mit Gram-Matrix  $\begin{pmatrix} t & x \\ x & y \end{pmatrix}$ 
12:     if  $L$  hat Geschlechtssymbol  $S$  und  $\nexists M \in Gen : L \cong M$  then
13:        $Gen \leftarrow Gen \cup [L]$ 
14: return  $Gen$ 
```

---

## § 4.5 Konstruktion von Obergittern

Haben wir einen Kandidaten für das Teilgitter  $M := L_1 \perp L_p$  und für den Automorphismus  $\sigma = \text{diag}(\sigma_1, \sigma_p)$  gefunden, so gilt es, die  $\sigma$ -invarianten Obergitter von  $M$  mit Index  $p^s$  zu bestimmen. Hierfür verwenden wir je nach Fall verschiedene Methoden. Zunächst ist auf die Konstruktion von Michael Jürgens in [Jü15, Abschnitt (1.4)] hinzuweisen. Hier wird eine Vorgehensweise beschrieben, um mithilfe der isotropen Teilräume des bilinearen  $\mathbb{F}_p$ -Vektorraums  $(M^{\#,\mathbb{F}_p}/M, \bar{b})$ , wobei

$$\bar{b} : M^{\#,\mathbb{F}_p}/M \times M^{\#,\mathbb{F}_p}/M \rightarrow \mathbb{F}_p, (x + M, y + M) \mapsto pb(x, y) + p\mathbb{Z}$$

die reduzierte Bilinearform auf den Faktorgruppen darstellt, sämtliche ganzen Obergitter von Index  $p^s$  zu bestimmen - unabhängig von  $\sigma$ . Da diese Methode wegen Nichtbeachtung der  $\sigma$ -invarianz potentiell noch mehr Gitter liefert als solche mit den geforderten Eigenschaften, ist sie unsere erste Wahl. Leider scheitert sie in einigen Fällen zum Teil an der steigenden Ressourcenintensivität.

Um die tatsächlich  $\sigma$ -invarianten Obergitter zu bestimmen, bemerken wir zunächst die Tatsache, dass jedes ganze Obergitter  $L \geq M$ , sodass  $[L : M]$  eine  $p$ -Potenz ist, ein Teilgitter von  $M^{\#,\mathbb{F}_p} = L_1^{\#,\mathbb{F}_p} \perp L_p^{\#,\mathbb{F}_p}$  sein muss. Definiere nun  $b_1 := b|_{V_1 \times V_1}$  und  $b_p := b|_{V_p \times V_p}$ , sowie  $\bar{b}_1 := \bar{b}|_{(L_1^{\#,\mathbb{F}_p}/L_1) \times (L_1^{\#,\mathbb{F}_p}/L_1)}$  und  $\bar{b}_p := \bar{b}|_{(L_p^{\#,\mathbb{F}_p}/L_p) \times (L_p^{\#,\mathbb{F}_p}/L_p)}$ . Damit  $L$  ein ganzes Gitter wird, muss für beliebige Elemente  $(x_1, x_p), (y_1, y_p) \in L$  gelten:

$$\begin{aligned} 0 + p\mathbb{Z} &\stackrel{!}{=} \bar{b}((x_1, x_p) + M, (y_1, y_p) + M) \\ &= pb_1(x_1, y_1) + pb(x_1, y_p) + pb(x_p, y_1) + pb_p(x_p, y_p) + p\mathbb{Z} \\ &= \bar{b}_1(x_1 + M, y_1 + M) + \bar{b}_p(x_p + M, y_p + M). \end{aligned}$$

Also  $\bar{b}_1(x_1 + M, y_1 + M) = -\bar{b}_p(x_p + M, y_p + M)$ . Demnach sind die ganzen Obergitter von Index  $p^s$  gegeben durch

$$L_\varphi := \{(x_1, x_p) \in L_1^{\#,\mathbb{F}_p} \perp L_p^{\#,\mathbb{F}_p} \mid \varphi(x_1 + L_1) = x_p + L_p\}$$

für die Isometrien  $\varphi : (L_1^{\#,p}/L_1, \overline{b_1}) \rightarrow (L_p^{\#,p}/L_p, -\overline{b_p})$ .

Nun zur  $\sigma$ -invarianz eines solchen Gitters  $L_\varphi$ . Auf dem Dualgitter  $M^\#$  ist  $\sigma$  ebenfalls ein Automorphismus, denn

$$x \in M^\# \Leftrightarrow b(x, M) \subseteq \mathbb{Z} \Leftrightarrow b(\sigma(x), \sigma(M)) \subseteq \mathbb{Z} \Leftrightarrow b(\sigma(x), M) \subseteq \mathbb{Z} \Leftrightarrow \sigma(x) \in M^\#,$$

also gilt auch  $\sigma(M^{\#,p}) = M^{\#,p}$  und  $\sigma$  operiert auf  $M^{\#,p}/M$  durch  $\sigma(x + M) := \sigma(x) + M$ . Analog operieren  $\sigma_1$  auf  $L_1^{\#,p}/L_1$  und  $\sigma_p$  auf  $L_p^{\#,p}/L_p$ . Damit ein Gitter  $L_\varphi$  nun  $\sigma$ -invariant ist, muss für alle  $(x_1, x_p) \in L_\varphi$  auch  $(\sigma_1(x_1), \sigma_p(x_p)) \in L_\varphi$  sein, also  $\varphi(\sigma_1(x_1) + L_1) = \sigma_p(x_p) + L_p = \sigma_p(\varphi(x_1 + L_1))$ . Dies führt zur Bedingung

$$\varphi \circ \sigma_1 = \sigma_p \circ \varphi. \quad (4.3)$$

Die Menge aller Isometrien bilden in höheren Dimensionen einen zu großen Suchraum, wir können allerdings einige Einschränkungen machen. Seien  $\varphi_0$  und  $\varphi_1 : (L_1^{\#,p}/L_1, \overline{b_1}) \rightarrow (L_p^{\#,p}/L_p, -\overline{b_p})$  Isometrien, welche Bedingung (4.3) erfüllen. Dann gilt

$$\sigma_1 \varphi_0 \varphi_1^{-1} \sigma_1^{-1} = (\sigma_1 \varphi_0)(\sigma_1 \varphi_1)^{-1} = \varphi_0 \sigma_p \sigma_p^{-1} \varphi_1^{-1} = \varphi_0 \varphi_1^{-1}.$$

Demnach ist  $\varphi_0 \varphi_1^{-1}$  enthalten im Zentralisator  $C_{O(L_1^{\#,p}/L_1)}(\sigma_1)$ . Fixieren wir also eine Isometrie  $\varphi_0$ , so erhalten wir alle weiteren durch Verkettung mit Zentralisatorelementen. **MAGMA** kann eine einzelne Isometrie  $\tilde{\varphi}_0$  konstruieren, diese erfüllt jedoch nicht notwendigerweise Bedingung (4.3). Wir machen den Ansatz  $\varphi_0 \stackrel{!}{=} \tilde{\varphi}_0 \circ u$  für  $u \in O(L_1^{\#,p}/L_1)$ . Dann muss gelten

$$\begin{aligned} \varphi_0 \circ \sigma_1 &= \sigma_p \circ \varphi_0 \\ \Leftrightarrow \tilde{\varphi}_0 \circ u \circ \sigma_1 &= \sigma_p \circ \tilde{\varphi}_0 \circ u \\ \Leftrightarrow u \circ \sigma_1 \circ u^{-1} &= \tilde{\varphi}_0 \circ \sigma_p \circ \tilde{\varphi}_0^{-1}. \end{aligned}$$

Das Element  $u$  konjugiert also die Abbildung  $\sigma_1$  zu  $\tilde{\varphi}_0 \circ \sigma_p \circ \tilde{\varphi}_0^{-1}$ . Ein solches Element lässt sich durch **MAGMA** bestimmen.

Eine letzte Beobachtung, ist die folgende: Sei  $\varphi$  eine Isometrie mit den gesuchten Eigenschaften und  $c \in C_{\text{Aut}(L_1)}(\sigma_1)$ , dann operiert  $c$  auf  $L_1^{\#,p}/L_1$  und die Abbildung  $\varphi_c := \varphi \circ c$  ist ebenfalls eine Isometrie mit Eigenschaft (4.3), da  $c$  im Zentralisator von  $\sigma_1$  liegt. Diese Abbildung liefert somit ebenfalls ein  $\sigma$ -invariantes ganzes Obergitter  $L_{\varphi_c}$  von  $M$ . Definiere nun die Isometrie

$$\psi : L_1^{\#,p} \perp L_p^{\#,p} \rightarrow L_1^{\#,p} \perp L_p^{\#,p}, (x, y) \mapsto (c(x), y),$$

dann ist  $\psi(L_{\varphi_c}) = L_{\varphi}$ , also sind die Gitter isometrisch. Um Redundanz bei der Konstruktion zu vermeiden, genügt es daher, jeweils einen Vertreter nach den Restklassen modulo  $C_{\text{Aut}(L_1)}(\sigma_1)$  zu wählen.

Insgesamt erhalten wir also den Algorithmus:

---

**Algorithmus 8** Konstruktion von  $\sigma$ -invarianten Obergittern

---

- 1: **Eingabe:** Gitter  $L_1, L_p$ , Automorphismen  $\sigma_1$  von  $L_1$  und  $\sigma_p$  von  $L_p$ ,  $p \in \mathbb{P}$ , sodass  $L_1^{\#,p}/L_1 \cong (\mathbb{F}_p)^s \cong L_p^{\#,p}/L_p$
  - 2: **Ausgabe:** Liste aller nicht-isometrischen, ganzen Obergitter von  $L_1 \perp L_p$  von Index  $p^s$
  - 3:
  - 4:  $\tilde{\varphi}_0 \leftarrow$  Isometrie  $(L_1^{\#,p}/L_1, \overline{b_1}) \rightarrow (L_p^{\#,p}/L_p, -\overline{b_p})$
  - 5:  $u \leftarrow$  Element in  $O(L_1^{\#,p}/L_1)$ , sodass  $u \circ \sigma_1 \circ u^{-1} = \tilde{\varphi}_0 \circ \sigma_p \circ \tilde{\varphi}_0^{-1}$
  - 6:  $\varphi_0 \leftarrow \tilde{\varphi}_0 \circ u$
  - 7:  $C \leftarrow$  Vertretersystem von  $C_{O(L_1^{\#,p}/L_1)}(\sigma_1)/C_{\text{Aut}(L_1)}(\sigma_1)$
  - 8:  $Results \leftarrow []$
  - 9: **for**  $c \in C$  **do**
  - 10:      $\varphi \leftarrow \varphi_0 \circ c$
  - 11:      $L_{\varphi} \leftarrow \{(x_1, x_p) \in L_1^{\#,p} \perp L_p^{\#,p} \mid \varphi(x_1 + L_1) = x_p + L_p\}$
  - 12:     **if**  $\nexists M \in Results \mid L_{\varphi} \cong M$  **then**
  - 13:          $Results \leftarrow Results \cup [L_{\varphi}]$
  - 14: **return**  $Results$
-

Es ist anzumerken, dass auch diese Methode in zu hohen Dimensionen zu ineffizient wird. Als letzte Möglichkeit können wir deshalb mit der **MAGMA**-Methode **Sublattices**  $\sigma$ -invariante Teilgitter von  $M^{\#,p}$  bestimmen. Da die konstruierten Gitter in diesem Fall jedoch nicht notwendigerweise ganz sein müssen, steigt die Anzahl schnell an und es kann in der Regel keine vollständige Liste gebildet werden, sondern nur eine Teilmenge der Gitter. Bei Benutzung dieser Methode kann also die Vollständigkeit der Ergebnisse nicht garantiert werden.

## § 4.6 Konstruktion von Gittern mit großem Automorphismus

Mithilfe der Typen von Automorphismen mit Primzahlordnung kennen wir die Geschlechter von Fix- und Bild-Gitter. In der Regel ist mindestens eines der Geschlechter zu groß, um es mithilfe der Kneser-Methode in akzeptabler Zeit aufzuzählen. Hat das Gitter jedoch einen großen Automorphismus, so kann das  $L_p$  eine Ideal-Gitter-Gestalt besitzen, was uns die Konstruktion erleichtert. Wir untersuchen zunächst, welche Form die Potenzen der Minimalpolynome von Automorphismen besitzen.

### (4.6.1) Lemma

Ist  $V$  ein Vektorraum und  $\sigma \in GL(V)$  mit Minimalpolynom  $\mu_\sigma = \Phi_{n_1} \Phi_{n_2} \dots \Phi_{n_k}$ , dann hat  $\sigma^d$  für  $d \in \mathbb{N}$  das Minimalpolynom

$$\mu_{\sigma^d} = \text{kgV}(\Phi_{n_1/\text{ggT}(n_1,d)}, \dots, \Phi_{n_k/\text{ggT}(n_k,d)})$$

### Beweis:

Sei zunächst  $k = 1$ , also  $\mu_\sigma = \Phi_{n_1}$ . Dann ist  $|\langle \sigma^d \rangle| = \frac{n_1}{\text{ggT}(n_1,d)}$ , also ist  $\sigma^d$  eine primitive

Einheitswurzel mit  $\mu_{\sigma^d} = \Phi_{n_1/\text{ggT}(n_1,d)}$ . Für  $k > 1$  können wir  $V$  zerlegen zu

$$V = \text{Kern}(\Phi_{n_1}(\sigma)) \oplus \text{Kern}(\Phi_{n_2}(\sigma)) \oplus \cdots \oplus \text{Kern}(\Phi_{n_k}(\sigma)) =: V_1 \oplus \cdots \oplus V_k$$

Somit hat  $\sigma|_{V_i}$  jeweils Minimalpolynom  $\Phi_{n_i}$  für  $i = 1, \dots, k$ . Es folgt:

$$\mu_{\sigma^d} = \text{kgV}(\mu_{\sigma^d|_{V_1}}, \dots, \mu_{\sigma^d|_{V_k}}) = \text{kgV}(\Phi_{n_1/\text{ggT}(n_1,d)}, \dots, \Phi_{n_k/\text{ggT}(n_k,d)}) \quad \square$$

Sei nun  $L$  ein Gitter der Dimension  $n$  und  $\sigma \in \text{Aut}(L)$  ein großer Automorphismus von Ordnung  $m$ . Dann hat das Minimalpolynom von  $\sigma$  die Form  $\mu_\sigma = \Phi_m \Phi_{n_1} \cdots \Phi_{n_k}$ . Ist  $\text{kgV}(n_1, \dots, n_k) < m$ , so existiert eine Primzahl  $p$  mit  $\text{kgV}(n_1, \dots, n_k) | \frac{m}{p} =: d$ . Der Automorphismus  $\sigma^d$  hat Primzahlordnung  $p$  und liefert wie in Abschnitt (4.2) eine  $\sigma$ -invariante Zerlegung

$$V = \text{Bild}(\sigma^d - 1) \oplus \text{Kern}(\sigma^d - 1).$$

Nun ist allerdings  $\text{Kern}(\sigma^d - 1) = \text{Kern}((\Phi_{n_1} \cdots \Phi_{n_k})(\sigma))$  und somit  $\text{Bild}(\sigma^d - 1) = \text{Kern}(\Phi_m(\sigma))$ . Das zu  $\sigma^d$  gehörige Bildgitter  $L_p = L \cap \text{Bild}(\sigma^d - 1) = L \cap \text{Kern}(\Phi_m(\sigma))$  ist also ein Sub-Ideal-Gitter von  $L$ . Das Fix-Gitter  $L_1 = L \cap \text{Kern}(\sigma^d - 1)$  hat die Dimension  $n - \varphi(m) < \frac{n}{2}$ .

Nun ein paar Worte zum Minimalpolynom von  $\sigma$  auf den Faktorgruppen  $L_1^{\#,p}/L_1$  und  $L_p^{\#,p}/L_p$ . Wir erinnern uns aus Abschnitt (4.2), dass  $L_1^{\#,p}/L_1$  und  $L_p^{\#,p}/L_p$  isomorph waren. Der zugehörige Isomorphismus war die Komposition der drei Isomorphismen

$$\begin{aligned} L_1^{\#,p}/L_1 &\rightarrow L_1^\# / L_1^{\#,\ell}, x + L_1 \mapsto x + L_1^{\#,\ell} \\ L_1^\# / L_1^{\#,\ell} &\rightarrow L_p^\# / L_p^{\#,\ell}, y + L_1^{\#,\ell} \mapsto (\hat{y} - y) + L_p^{\#,\ell} \\ L_p^\# / L_p^{\#,\ell} &\rightarrow L_p^{\#,p}/L_p, x + L_p^{\#,\ell} \mapsto x + L_p, \end{aligned}$$

wobei  $\hat{y} \in L^\#$  mit  $b(x, y) = b(x, \hat{y})$  für alle  $x \in L_1$ . Man sieht leicht ein, dass  $\sigma(\hat{y})$  eine mögliche Wahl für  $\widehat{\sigma(y)}$  darstellt, da alle beteiligten Gitter und die Bilinearform invariant unter  $\sigma$  sind. Alle drei Isomorphismen vertauschen also mit  $\sigma$ . Daraus folgt,



dass die Faktorgruppen auch als  $\mathbb{Z}[\sigma]$ -Moduln, bzw. wegen  $pL_p^{\#,p} \subseteq L_p$  und  $pL_1^{\#,p} \subseteq L_1$  sogar als  $\mathbb{F}_p[\sigma]$ -Moduln isomorph sind. Insbesondere hat  $\sigma$  auf  $L_1^{\#,p}/L_1$  und  $L_p^{\#,p}/L_p$  dasselbe Minimalpolynom. Wegen  $(1 - \sigma^d)L_p^{\#,p} \subseteq L_p$  wird  $L_p^{\#,p}/L_p$  zu einem  $\mathbb{F}_p[\sigma]/(1 - \sigma^d) \cong \mathbb{F}_p[\zeta_d]$ -Modul. Das Minimalpolynom der Operation von  $\sigma$  ist somit  $\Phi_d$ . Das Minimalpolynom von  $\sigma|_{\text{Kern}(\sigma^d - 1)}$  muss daher  $\text{Grad}(\mu_{\sigma|_{\text{Kern}(\sigma^d - 1)}}) \geq \text{Grad}(\Phi_d) = \varphi(d)$  erfüllen. Außerdem gilt  $\varphi(d) \leq \text{Dim}_{\mathbb{F}_p}(L_p^{\#,p}/L_p) = s$ .

Wir entwerfen nun einen Algorithmus zur Konstruktion solcher Gitter  $L$ .

---

**Algorithmus 9** Konstruktion von Gittern mit großem Automorphismus

---

1: **Eingabe:**  $n \in \mathbb{N}$ , quadratfreies  $\ell \in \mathbb{N}$ ,  $m \in \mathbb{N}$  mit  $\frac{n}{2} < \varphi(m) \leq n$ .

2: **Ausgabe:** Liste von extremalen  $\ell$ -modularen Gittern der Dimension  $n$  mit einem großen Automorphismus  $\sigma$  der Ordnung  $m$ , sodass ein  $p \in \mathbb{P}$ ,  $\text{ggT}(p, \ell) = 1$  existiert mit  $\frac{\mu_\sigma}{\Phi_m} | (X^{\frac{m}{p}} - 1)$

3:

4:  $Results \leftarrow []$

5:  $AutoTypes \leftarrow$  Liste von Aut.-Typen von Primzahlordnung nach Algorithmus (5)

6: **for**  $p \in \{q \in \mathbb{P} \mid q|m, \text{ggT}(q, \ell) > 1\}$  **do**

7:      $d \leftarrow \frac{m}{p}$

8:      $PossibleTypes \leftarrow \{p - (n - \varphi(m), \varphi(m)) - s - \dots \in AutoTypes \mid \varphi(d) \leq s\}$

9:     **for**  $t \in PossibleTypes$  **do**

10:          $L_p\_List \leftarrow$  Liste von Ideal-Gittern über  $\mathbb{Q}(\zeta_m)$  mit durch  $t$  für  $L_p$  vorgegebene Dimension und Determinante nach Algorithmus (4)

11:         **for**  $L_p \in L_p\_List$  **do**

12:              $L_1\_List \leftarrow$  Liste von allen Gittern mit durch  $t$  für  $L_1$  vorgegebene Dimension und Determinante und mit quadratfreier Stufe nach Algorithmus (6)

13:             **for**  $L_1 \in L_1\_List$  **do**

14:                 **for**  $\sigma_p \in \{\sigma \in \text{Aut}(L_p) \mid \sigma \text{ op. auf } L_p^{\#,p}/L_p \text{ mit Mi.-Po. } \Phi_d\}$  **do**

15:                 **for**  $\sigma_1 \in \{\sigma \in \text{Aut}(L_1) \mid \sigma \text{ op. auf } L_1^{\#,p}/L_1 \text{ mit Mi.-Po. } \Phi_d \text{ und } \text{Grad}(\mu_\sigma) \leq \varphi(d)\}$  **do**

16:                      $M \leftarrow L_1 \perp L_p$

17:                      $\sigma \leftarrow \text{diag}(\sigma_1, \sigma_p)$

18:                      $L\_List \leftarrow$  Liste  $\sigma$ -invarianter Obergitter von  $M$  mit Index  $p^s$

19:                     **for**  $L \in L\_List$  **do**

20:                         **if**  $L$  ist  $\ell$ -modulares extremes Gitter **then**

21:                              $Results \leftarrow Results \cup [L]$

22: **return**  $Results$

---

$\begin{array}{c} \ell \\ \backslash \\ n \end{array}$	1	2	3	5	6	7	11	14	15
6	–	–	–	–	–	1	1	–	–
8	1	–	–	–	–	–	–	–	–
12	–	2	1	–	–	–	–	1	1
14	–	–	1	–	–	–	–	–	–
16	2	1	–	–	–	–	–	–	–
18	–	–	1	–	–	–	–	–	–
20	–	1	3	–	–	–	–	–	–
22	–	–	$2(1^*)$	–	–	–	–	–	–

Tabelle 4.1: Anzahl der durch Algorithmus (9) konstruierten extremalen  $\ell$ -modularen Gitter in Dimension  $n \leq 36$ , sowie ggf. der Anzahl der bisher unbekannten Gitter darunter

Für  $p = 2$  kann bei Zeile 12 des Algorithmus alternativ auch mit Lemma (4.2.6) vorgegangen werden: man zählt stattdessen die möglichen  $U$  auf und erhält die Kandidaten für  $L_1$  als die Obergitter von  $\sqrt{2}U$  vom Index  $p^{\frac{\varphi(n)-m-s}{2}}$  mit quadratfreier Stufe und ausreichend großem Minimum.

Für diesen Algorithmus wurden Einschränkungen an die Minimalpolynome der Automorphismen von Gittern gemacht, es ist also a priori nicht klar, welcher Grad von Vollständigkeit durch die Klassifikation mit unserem Algorithmus gegeben ist. Dennoch ist es gelungen, einige neue extremale Gitter zu konstruieren. Die Anzahlen gefundener Gitter sind in Tabelle (4.6) festgehalten. Für  $(\ell, n) \in \{(7, 18), (7, 20), (1, 24)\}$  wurden die Obergitter  $\sigma$ -invariant konstruiert, anstatt mit Jürgens Methode. Bei  $\ell = 7, n = 20$  konnte in einem Falle nicht das gesamte Geschlecht für  $L_1$  aufgezählt werden. Zur tatsächlichen Masse fehlte  $\frac{167}{4644864}$ .

## § 4.7 Vollständigkeit der Ergebnisse

In diesem letzten Abschnitt wollen wir die Gitter genauer untersuchen, die von Algorithmus (9) nicht gefunden werden. Genauer: wir klassifizieren die Möglichkeiten für die charakteristischen Polynome von Gittern, die durch den Algorithmus nicht konstruiert werden können. Dazu untersuchen wir für die Menge aller Kandidaten für charakteristische Polynome die "Kompatibilität" der Dimensionen der von  $\sigma$ -Potenzen induzierten Fix- und Bildgitter.

Sei  $\sigma$  eine Isometrie eines  $n$ -dimensionalen Vektorraums  $V$  mit Ordnung  $|\sigma| = m$ , dann ist

$$\chi_\sigma = \Phi_{d_1}^{c_1} \dots \Phi_{d_k}^{c_k}$$

für die Teiler  $d_i$  von  $m$  und gewisse Potenzen. Die Dimension eines Hauptraumes  $\text{Kern}(\Phi_{d_i}(\sigma))$  ist in diesem Falle  $c_i \varphi(d_i)$  und ähnlich wie in Lemma (4.6.1) ist

$$\text{Dim}(\text{Kern}(\sigma^d - 1)) = \sum_{d_i | d} c_i \varphi(d_i)$$

für alle  $d \in \mathbb{N}_0$  und  $n = \sum_{i=1}^k c_i \varphi(d_i)$ . Kennt man daher für Primteiler  $p_1, \dots, p_t \mid m$  die Typen

$$\begin{aligned} p_1 - (n_{1,1}, \dots \\ p_2 - (n_{2,1}, \dots \\ \vdots \\ p_t - (n_{t,1}, \dots \end{aligned}$$

der Automorphismen  $\sigma^{\frac{m}{p_1}}, \sigma^{\frac{m}{p_2}}, \dots, \sigma^{\frac{m}{p_t}}$ , so muss der Vektor  $c := (c_1, \dots, c_k) \in \mathbb{N}_0^k$  eine Lösung des Gleichungssystems  $cM = (n_{1,1}, n_{2,1}, \dots, n_{t,1}, n)$  mit der Matrix

$$M \in \mathbb{N}_0^{k \times (t+1)}, \quad M_{i,j} := \begin{cases} \varphi(d_i) & , d_i \mid \frac{m}{p_j} \text{ oder } j = t+1 \\ 0 & , \text{sonst} \end{cases}$$

sein. Außerdem gilt natürlich  $\text{kgV}\{d_i | c_i > 0\} = m$ .

Von den verbleibenden Kandidaten für das charakteristische Polynom werden nun alle diejenigen potentiell *nicht* von Algorithmus (9) gefunden, für die gilt, dass

$$\text{kgV}\{d_i | d_i \neq m \text{ und } c_i > 0\} = m.$$

Diese Charakterisierung der möglichen charakteristischen Polynome allein anhand einer Menge von Typen schließt im Beweis des nächsten Satzes viele Fälle aus und erspart uns eine große Menge Arbeit. Kommen wir nun zur Klassifikation der charakteristischen Polynome eines Automorphismus von einem 3-modularen Gitter der Dimension 24.

**(4.7.1) Satz**

Sei  $L$  ein extremales 3-modulares Gitter in einem bilinearen Vektorraum  $(V, b)$  der Dimension 24. Dann hat  $L$  keine Automorphismen der Ordnung 7, sowie der Ordnung  $p \in P_{\geq 13}$ . Ist  $\sigma \in \text{Aut}(L)$  von Ordnung  $m$  mit  $12 < \varphi(m) < 24$ , so ist  $\mu_\sigma \in \{\Phi_{16}\Phi_{48}, \Phi_{12}\Phi_{20}, \Phi_4\Phi_{12}\Phi_{20}, \Phi_3\Phi_{11}, \Phi_1\Phi_3\Phi_{11}\}$ , oder  $|\sigma| \in \{27, 54\}$ .

**Beweis:**

Es muss  $\text{Min}(L) \geq 6$  sein. Algorithmus (5) liefert uns 50 mögliche Automorphismen-typen. Zählt man einige der Geschlechter mit den durch die Typen festgelegten Dimensionen und Determinanten auf, so sieht man, dass in vielen Fällen darin keine Gitter mit Minimum  $\geq 6$  enthalten sind, wodurch diese Typen ausgeschlossen werden können. Die verbleibenden Typen von Automorphismen der Ordnung  $p \in \mathbb{P} - \{3\}$  sind

$2 - (12, 12) - 6 - (6, 6)$	$2 - (12, 12) - 8 - (8, 4)$
$2 - (12, 12) - 8 - (4, 8)$	$2 - (12, 12) - 10 - (8, 4)$
$2 - (12, 12) - 10 - (4, 8)$	$2 - (12, 12) - 12 - (10, 2)$
$2 - (12, 12) - 12 - (8, 4)$	$2 - (12, 12) - 12 - (6, 6)$

$$\begin{array}{ll}
2 - (12, 12) - 12 - (4, 8) & 2 - (12, 12) - 12 - (2, 10) \\
2 - (0, 24) - 0 - (0, 12) & 5 - (8, 16) - 4 - (8, 4) \\
5 - (8, 16) - 4 - (4, 8) & 5 - (0, 24) - 0 - (0, 12) \\
7 - (0, 24) - 0 - (0, 12) & 11 - (4, 20) - 2 - (2, 10) \\
13 - (0, 24) - 0 - (0, 12). &
\end{array}$$

Insbesondere stellt man fest, dass keine Automorphismen der Ordnung  $> 13$  existieren. Mit dieser Einschränkung zusammen mit der Bedingung  $12 < \varphi(m) \leq 24$  muss  $m$  in der Menge

$$\{32, 40, 48, 60, 27, 54, 25, 33, 44, 50, 66, 45, 72, 90\} \quad \square$$

liegen. Diese Fälle gehen wir nun einzeln durch.

$m = 32 = 2^5$ : Bemerkung (??) mit den aufgezählten Automorphismen typen schließt diesen Fall aus.

$m = 40 = 2^3 \cdot 5$ : Mit Bemerkung (??) ist die einzige Möglichkeit in diesem Fall  $\mu_\sigma = \Phi_8 \Phi_{40} | \Phi_{40}(X^8 - 1)$ . Somit müsste ein solches Gitter von Algorithmus (9) gefunden worden sein. Da der Algorithmus jedoch keine 3-modularen Gitter der Dimension 24 konstruieren konnte, kann auch dieser Fall nicht auftreten.

$m = 48 = 2^4 \cdot 3$ : Mit Bemerkung (??) ist die einzige Möglichkeit für das Minimalpolynom  $\mu_\sigma = \Phi_{16} \Phi_{48}$ .

$m = 60 = 2^2 \cdot 3 \cdot 5$ : Mit Bemerkung (??) kann der Typ von  $\sigma^{12}$  nicht

$m = 27 = 3^3$ : Da wir keinerlei Aussagen über Automorphismen der Ordnung 3 treffen konnten, können wir außer  $\Phi_{27} | \mu_\sigma$  nichts weiter aussagen.

$m = 54 = 2 \cdot 3^3$ : Die nach (??) möglichen charakteristischen Polynome sind  $\chi_\sigma \in \{\Phi_{18} \Phi_{54}, \Phi_6^3 \Phi_{54}, \Phi_2^2 \Phi_{54}\}$ .

$m = 25 = 5^2$ : Bemerkung (??) schließt diesen Fall aus.

$m = 33 = 3 \cdot 11$ : Es ist  $\varphi(33) = 20$ . Unter der Annahme, dass  $\Phi_{33} \mid \mu_\sigma$  folgt  $\Phi_{11} \nmid \mu_\sigma$ , da  $\dim(\text{Kern}(\Phi_{11}(\sigma)))$  ein Vielfaches von 10 ist. Also gilt  $\frac{\mu_\sigma}{\Phi_{33}} \mid (X^3 - 1)$  und  $L$  würde von Algorithmus (9) gefunden. Daher muss mit (??)  $\chi_\sigma$  eines der Polynome  $\Phi_3^2 \Phi_{11}^2$  oder  $\Phi_1^2 \Phi_3 \Phi_{11}^2$  sein.

$m = 44 = 2^2 \cdot 11$ : Das einzig von den Dimensionen her mögliche Minimalpolynom ist  $\mu_\sigma = \Phi_4 \Phi_{44} \mid \Phi_{44}(X^4 - 1)$ , also müsste ein solches Gitter von Algorithmus (9) gefunden worden sein und existiert daher nicht.

$m = 50 = 2 \cdot 5^2$ :

# 5 Anhang

## § 5.1 Ergebnisse der Ideal-Gitter-Klassifikation

$\ell$	Dim	Gesamtzahl(extremal)	$K$	Minimum									
				2	4	6	8	10	12	14	16	18	
1	8	1(1)	$\mathbf{Q}(\zeta_{15})$	1	—	—	—	—	—	—	—	—	
	16	1(1)	$\mathbf{Q}(\zeta_{40})$	1	—	—	—	—	—	—	—	—	
	24	4(1)	$\mathbf{Q}(\zeta_{35})$	—	1	—	—	—	—	—	—	—	
			$\mathbf{Q}(\zeta_{45})$	1	—	—	—	—	—	—	—		
			$\mathbf{Q}(\zeta_{54})$	1	—	—	—	—	—	—	—		
			$\mathbf{Q}(\zeta_{75})$	1	—	—	—	—	—	—	—		
	32	7(5)	$\mathbf{Q}(\zeta_{51})$	—	2	—	—	—	—	—	—	—	
			$\mathbf{Q}(\zeta_{68})$	1	1	—	—	—	—	—	—	—	
			$\mathbf{Q}(\zeta_{80})$	1	1	—	—	—	—	—	—	—	
			$\mathbf{Q}(\zeta_{120})$	—	1	—	—	—	—	—	—	—	
2	4	1(1)	$\mathbf{Q}(\zeta_8)$	1	—	—	—	—	—	—	—		
	8	1(1)	$\mathbf{Q}(\zeta_{16})$	1	—	—	—	—	—	—	—		
	12	1(1)	$\mathbf{Q}(\zeta_{36})$	1	—	—	—	—	—	—	—		



$\ell$	Dim	Gesamtzahl(extremal)	$K$	Minimum									
				2	4	6	8	10	12	14	16	18	
2	16	2(1)	$\mathbf{Q}(\zeta_{32})$	1	—	—	—	—	—	—	—	—	—
			$\mathbf{Q}(\zeta_{40})$	—	1	—	—	—	—	—	—	—	—
	20	1(1)	$\mathbf{Q}(\zeta_{33})$	—	1	—	—	—	—	—	—	—	
	24	2(1)	$\mathbf{Q}(\zeta_{56})$	—	1	—	—	—	—	—	—	—	—
			$\mathbf{Q}(\zeta_{72})$	1	—	—	—	—	—	—	—	—	—
	32	13(4)	$\mathbf{Q}(\zeta_{51})$	—	—	3	—	—	—	—	—	—	—
			$\mathbf{Q}(\zeta_{64})$	1	1	—	—	—	—	—	—	—	—
			$\mathbf{Q}(\zeta_{68})$	—	3	—	—	—	—	—	—	—	—
			$\mathbf{Q}(\zeta_{80})$	—	1	1	—	—	—	—	—	—	—
			$\mathbf{Q}(\zeta_{96})$	—	1	—	—	—	—	—	—	—	—
			$\mathbf{Q}(\zeta_{120})$	—	2	—	—	—	—	—	—	—	—
	36	6(3)	$\mathbf{Q}(\zeta_{57})$	—	—	3	—	—	—	—	—	—	—
			$\mathbf{Q}(\zeta_{76})$	—	1	—	—	—	—	—	—	—	—
			$\mathbf{Q}(\zeta_{108})$	1	1	—	—	—	—	—	—	—	—
3	4	1(1)	$\mathbf{Q}(\zeta_{12})$	1	—	—	—	—	—	—	—	—	
	6	1(1)	$\mathbf{Q}(\zeta_9)$	1	—	—	—	—	—	—	—	—	
	8	1(1)	$\mathbf{Q}(\zeta_{24})$	1	—	—	—	—	—	—	—	—	
	12	2(1)	$\mathbf{Q}(\zeta_{21})$	—	1	—	—	—	—	—	—	—	—
			$\mathbf{Q}(\zeta_{36})$	1	—	—	—	—	—	—	—	—	—
	16	3(2)	$\mathbf{Q}(\zeta_{40})$	—	1	—	—	—	—	—	—	—	—
			$\mathbf{Q}(\zeta_{48})$	1	—	—	—	—	—	—	—	—	—
			$\mathbf{Q}(\zeta_{60})$	—	1	—	—	—	—	—	—	—	—
	18	1(—)	$\mathbf{Q}(\zeta_{27})$	1	—	—	—	—	—	—	—	—	
	24	7(1)	$\mathbf{Q}(\zeta_{39})$	—	—	1	—	—	—	—	—	—	—
			$\mathbf{Q}(\zeta_{52})$	—	1	—	—	—	—	—	—	—	—
			$\mathbf{Q}(\zeta_{56})$	—	2	—	—	—	—	—	—	—	—
			$\mathbf{Q}(\zeta_{72})$	1	1	—	—	—	—	—	—	—	—

$\ell$	Dim	Gesamtzahl(extremal)	$K$	Minimum								
				2	4	6	8	10	12	14	16	18
3	32	13(7)	$Q(\zeta_{80})$	—	2	4	—	—	—	—	—	—
			$Q(\zeta_{96})$	1	—	1	—	—	—	—	—	—
			$Q(\zeta_{120})$	—	3	2	—	—	—	—	—	—
	36	8(—)	$Q(\zeta_{57})$	—	1	2	—	—	—	—	—	—
			$Q(\zeta_{63})$	—	1	1	—	—	—	—	—	—
			$Q(\zeta_{76})$	—	—	1	—	—	—	—	—	—
			$Q(\zeta_{108})$	1	—	1	—	—	—	—	—	—
5	8	1(1)	$Q(\zeta_{15})$	—	1	—	—	—	—	—	—	—
	12	1(1)	$Q(\zeta_{21})$	—	1	—	—	—	—	—	—	—
	16	1(—)	$Q(\zeta_{40})$	—	1	—	—	—	—	—	—	—
	24	5(1)	$Q(\zeta_{35})$	—	—	—	1	—	—	—	—	—
			$Q(\zeta_{45})$	—	1	—	—	—	—	—	—	—
			$Q(\zeta_{56})$	—	1	—	—	—	—	—	—	—
			$Q(\zeta_{72})$	—	—	1	—	—	—	—	—	—
			$Q(\zeta_{84})$	—	1	—	—	—	—	—	—	—
	32	10(—)	$Q(\zeta_{80})$	—	1	—	1	—	—	—	—	—
			$Q(\zeta_{96})$	—	1	—	—	—	—	—	—	—
			$Q(\zeta_{120})$	—	—	2	5	—	—	—	—	—
	36	8(—)	$Q(\zeta_{63})$	—	1	—	7	—	—	—	—	—
6	8	1(1)	$Q(\zeta_{24})$	—	1	—	—	—	—	—	—	—
	12	1(1)	$Q(\zeta_{28})$	—	1	—	—	—	—	—	—	—
	16	2(1)	$Q(\zeta_{40})$	—	—	1	—	—	—	—	—	—
			$Q(\zeta_{48})$	—	1	—	—	—	—	—	—	—
	20	1(1)	$Q(\zeta_{33})$	—	—	1	—	—	—	—	—	—
	24	5(2)	$Q(\zeta_{56})$	—	1	—	1	—	—	—	—	—
			$Q(\zeta_{72})$	—	1	1	—	—	—	—	—	—
			$Q(\zeta_{84})$	—	—	—	1	—	—	—	—	—

$\ell$	Dim	Gesamtzahl(extremal)	$K$	Minimum								
				2	4	6	8	10	12	14	16	18
6	32	12(−)	$\mathbf{Q}(\zeta_{80})$	−	−	1	5	−	−	−	−	−
			$\mathbf{Q}(\zeta_{96})$	−	1	−	1	−	−	−	−	−
			$\mathbf{Q}(\zeta_{120})$	−	−	−	4	−	−	−	−	−
7	6	1(1)	$\mathbf{Q}(\zeta_7)$	−	1	−	−	−	−	−	−	−
	8	1(1)	$\mathbf{Q}(\zeta_{24})$	−	1	−	−	−	−	−	−	−
	12	1(−)	$\mathbf{Q}(\zeta_{28})$	−	1	−	−	−	−	−	−	−
	16	4(3)	$\mathbf{Q}(\zeta_{40})$	−	−	1	−	−	−	−	−	−
			$\mathbf{Q}(\zeta_{48})$	−	1	1	−	−	−	−	−	−
			$\mathbf{Q}(\zeta_{60})$	−	−	1	−	−	−	−	−	−
	20	1(−)	$\mathbf{Q}(\zeta_{44})$	−	−	1	−	−	−	−	−	−
	24	8(−)	$\mathbf{Q}(\zeta_{56})$	−	1	2	2	−	−	−	−	−
			$\mathbf{Q}(\zeta_{72})$	−	1	1	−	−	−	−	−	−
	32	19(−)	$\mathbf{Q}(\zeta_{80})$	−	−	1	1	2	−	−	−	−
			$\mathbf{Q}(\zeta_{96})$	−	1	2	3	−	−	−	−	−
			$\mathbf{Q}(\zeta_{120})$	−	−	2	7	−	−	−	−	−
11	4	1(1)	$\mathbf{Q}(\zeta_{12})$	−	1	−	−	−	−	−	−	−
	8	2(1)	$\mathbf{Q}(\zeta_{15})$	−	−	1	−	−	−	−	−	−
			$\mathbf{Q}(\zeta_{24})$	−	1	−	−	−	−	−	−	−
	10	1(1)	$\mathbf{Q}(\zeta_{11})$	−	−	1	−	−	−	−	−	−
	12	1(−)	$\mathbf{Q}(\zeta_{36})$	−	1	−	−	−	−	−	−	−
	16	5(−)	$\mathbf{Q}(\zeta_{40})$	−	−	1	1	−	−	−	−	−
			$\mathbf{Q}(\zeta_{48})$	−	1	−	−	−	−	−	−	−
			$\mathbf{Q}(\zeta_{60})$	−	−	−	2	−	−	−	−	−
	20	2(−)	$\mathbf{Q}(\zeta_{33})$	−	−	−	1	−	−	−	−	−
			$\mathbf{Q}(\zeta_{44})$	−	−	1	−	−	−	−	−	−

$\ell$	Dim	Gesamtzahl(extremal)	$K$	Minimum								
				2	4	6	8	10	12	14	16	18
11	24	7(−)	$\mathbf{Q}(\zeta_{35})$	−	−	−	1	−	1	−	−	−
			$\mathbf{Q}(\zeta_{45})$	−	−	1	−	−	−	−	−	−
			$\mathbf{Q}(\zeta_{56})$	−	−	−	1	−	−	−	−	−
			$\mathbf{Q}(\zeta_{72})$	−	1	−	1	−	−	−	−	−
			$\mathbf{Q}(\zeta_{84})$	−	−	1	−	−	−	−	−	−
	32	42(−)	$\mathbf{Q}(\zeta_{80})$	−	−	1	1	1	1	−	−	−
			$\mathbf{Q}(\zeta_{96})$	−	1	−	−	1	−	−	−	−
			$\mathbf{Q}(\zeta_{120})$	−	−	1	13	18	4	−	−	−
	36	2(−)	$\mathbf{Q}(\zeta_{108})$	−	1	−	−	1	−	−	−	−
14	4	1(1)	$\mathbf{Q}(\zeta_8)$	−	1	−	−	−	−	−	−	−
	8	2(1)	$\mathbf{Q}(\zeta_{16})$	−	1	−	−	−	−	−	−	−
			$\mathbf{Q}(\zeta_{24})$	−	−	1	−	−	−	−	−	−
	12	1(1)	$\mathbf{Q}(\zeta_{28})$	−	−	−	1	−	−	−	−	−
	16	5(−)	$\mathbf{Q}(\zeta_{32})$	−	1	−	−	−	−	−	−	−
			$\mathbf{Q}(\zeta_{40})$	−	−	1	−	−	−	−	−	−
			$\mathbf{Q}(\zeta_{48})$	−	−	1	1	−	−	−	−	−
			$\mathbf{Q}(\zeta_{60})$	−	−	1	−	−	−	−	−	−
	24	8(−)	$\mathbf{Q}(\zeta_{56})$	−	−	−	4	−	2	−	−	−
			$\mathbf{Q}(\zeta_{72})$	−	−	1	1	−	−	−	−	−
	32	21(−)	$\mathbf{Q}(\zeta_{64})$	−	1	−	−	2	−	−	−	−
			$\mathbf{Q}(\zeta_{80})$	−	−	−	−	−	2	1	−	−
			$\mathbf{Q}(\zeta_{96})$	−	−	1	1	2	2	−	−	−
			$\mathbf{Q}(\zeta_{120})$	−	−	−	4	−	5	−	−	−
	36	36(−)	$\mathbf{Q}(\zeta_{57})$	−	−	−	−	3	25	8	−	−

$\ell$	Dim	Gesamtzahl(extremal)	$K$	Minimum								
				2	4	6	8	10	12	14	16	18
15	8	1(1)	$\mathbf{Q}(\zeta_{24})$	—	—	1	—	—	—	—	—	—
	16	3(1)	$\mathbf{Q}(\zeta_{40})$	—	—	—	—	1	—	—	—	—
			$\mathbf{Q}(\zeta_{48})$	—	—	1	—	—	—	—	—	—
			$\mathbf{Q}(\zeta_{60})$	—	—	—	1	—	—	—	—	—
	24	5(—)	$\mathbf{Q}(\zeta_{56})$	—	—	—	1	—	—	—	—	—
			$\mathbf{Q}(\zeta_{72})$	—	—	1	—	—	1	—	—	—
			$\mathbf{Q}(\zeta_{84})$	—	—	—	—	—	2	—	—	—
	32	23(—)	$\mathbf{Q}(\zeta_{80})$	—	—	—	—	2	3	1	—	—
			$\mathbf{Q}(\zeta_{96})$	—	—	1	—	1	—	—	—	—
			$\mathbf{Q}(\zeta_{120})$	—	—	—	4	1	9	1	—	—
	36	4(—)	$\mathbf{Q}(\zeta_{76})$	—	—	—	—	2	1	—	1	—
23	4	1(1)	$\mathbf{Q}(\zeta_{12})$	—	—	1	—	—	—	—	—	—
	8	3(—)	$\mathbf{Q}(\zeta_{24})$	—	—	1	2	—	—	—	—	—
	12	1(—)	$\mathbf{Q}(\zeta_{36})$	—	—	1	—	—	—	—	—	—
	16	5(—)	$\mathbf{Q}(\zeta_{40})$	—	—	—	—	1	—	—	—	—
			$\mathbf{Q}(\zeta_{48})$	—	—	1	2	—	—	—	—	—
			$\mathbf{Q}(\zeta_{60})$	—	—	—	—	—	1	—	—	—
	22	2(—)	$\mathbf{Q}(\zeta_{23})$	—	—	—	—	—	2	—	—	—

$\ell$	Dim	Gesamtzahl(extremal)	$K$	Minimum								
				2	4	6	8	10	12	14	16	18
23	24	14(−)	$\mathbb{Q}(\zeta_{39})$	−	−	−	−	1	1	−	1	−
			$\mathbb{Q}(\zeta_{52})$	−	−	−	−	1	2	−	−	−
			$\mathbb{Q}(\zeta_{56})$	−	−	−	−	−	−	−	1	−
			$\mathbb{Q}(\zeta_{72})$	−	−	1	2	1	2	−	−	−
			$\mathbb{Q}(\zeta_{84})$	−	−	−	−	−	1	−	−	−
	32	20(−)	$\mathbb{Q}(\zeta_{80})$	−	−	−	−	1	−	1	1	1
			$\mathbb{Q}(\zeta_{96})$	−	−	1	2	−	−	2	2	−
			$\mathbb{Q}(\zeta_{120})$	−	−	−	−	1	3	1	4	−
	36	2(−)	$\mathbb{Q}(\zeta_{108})$	−	−	1	−	−	−	1	−	−

Tabelle 5.1: Anzahlen der Ideal-Gitter der Stufen  $\ell \in \{1, 2, 3, 5, 6, 7, 11, 14, 15, 23\}$  und Determinante  $\ell^{\frac{n}{2}}$  mit Dimensionen  $\leq 36$  nach zugehörigem Kreisteilungskörper  $K$  und Minimum.

## § 5.2 MAGMA-Implementierungen von Hilfsfunktionen

Es folgt der Quellcode zu folgenden Hilfsfunktionen:

- Das komplex-konjugierte eines  $Z_K$ -Ideals berechnen.
- Eine Liste von Gittern nach Isometrie reduzieren.
- Das Minimum ausgeben, was ein  $\ell$ -modulares Gitter der Dimension  $n$  mindestens haben muss.

```

1  load "hu.m";
2
3  function IdealConjugate(I, K)
4  // Input: Z_K-Ideal I; Field K
5
6  // Output: Z_K-Ideal which is the complex conjugate of I
7
8      gens := [];
9      for g in Generators(I) do
10         Append(~gens, ComplexConjugate(K ! g));
11      end for;
12
13      return ideal<Integers(K)|gens>;
14
15 end function;
16
17
18 function ReduceByIsometry(Lattices)
19 // Input: List of lattices
20
21 // Output: Reduced list for which the elements are
22 // pairwise non-isometric
23
24 LatticesReduced := [* *];
25 Minima := [* *];
26 NumShortest := AssociativeArray();
27 SizeAuto := AssociativeArray();
28
29 for i in [1..#Lattices] do
30     L := Lattices[i];
31
32     min_computed := false;
33     minimum := 0;
34
35     shortest_computed := false;
36     shortest := 0;
37
38     auto_computed := false;
39     auto := 0;
40
41     for j in [1..#LatticesReduced] do
42         M := LatticesReduced[j];
43
44         if not min_computed then
45             min_computed := true;
46             minimum := Min(L);

```



```

47         end if;
48
49         if not IsDefined(Minima, j) then
50             Minima[j] := Min(M);
51         end if;
52
53         if minimum ne Minima[j] then
54             continue;
55         end if;
56
57
58         if not shortest_computed then
59             shortest_computed := true;
60             shortest := #ShortestVectors(L);
61         end if;
62
63         if not IsDefined(NumShortest, j) then
64             NumShortest[j] := #ShortestVectors(M);
65         end if;
66
67         if shortest ne NumShortest[j] then
68             continue;
69         end if;
70
71
72         if not auto_computed then
73             auto_computed := true;
74             auto := #AutomorphismGroup(L);
75         end if;
76
77         if not IsDefined(SizeAuto, j) then
78             SizeAuto[j] := #AutomorphismGroup(M);
79         end if;
80
81         if auto ne SizeAuto[j] then
82             continue;
83         end if;
84
85
86         if IsIsometric(L, M) then
87             continue i;
88         end if;
89     end for;
90
91     Append(~LatticesReduced, Lattices[i]);
92
93     NewIndex := #LatticesReduced;

```

```

94         if min_computed then
95             Minima[NewIndex] := minimum;
96         end if;
97
98         if shortest_computed then
99             NumShortest[NewIndex] := shortest;
100        end if;
101
102        if auto_computed then
103            SizeAuto[NewIndex] := auto;
104        end if;
105
106    end for;
107
108    return LatticesReduced;
109 end function;
110
111
112 function ExtremalMinimum(l, n)
113 // Input: Square-free l in N; n in N
114
115 // Output: Minimum that a l-modular lattice of
116 // dimension n must have at least
117
118     if l eq 1 then k := 24;
119     elif l eq 2 then k := 16;
120     elif l eq 3 then k := 12;
121     elif l eq 5 then k := 8;
122     elif l eq 6 then k := 8;
123     elif l eq 7 then k := 6;
124     elif l eq 11 then k := 4;
125     elif l eq 14 then k := 4;
126     elif l eq 15 then k := 4;
127     elif l eq 23 then k := 2;
128     end if;
129
130     return 2 + 2*Floor(n/k);
131 end function;
132
133 HermiteBounds := [1, 1.1547, 1.2599, 1.1412, 1.5157,
134 1.6654, 1.8115, 2, 2.1327, 2.2637, 2.3934, 2.5218,
135 2.6494, 2.7759, 2.9015, 3.0264, 3.1507, 3.2744,
136 3.3975, 3.5201, 3.6423, 3.7641, 3.8855, 4.0067,
137 4.1275, 4.2481, 4.3685, 4.4887, 4.6087, 4.7286,
138 4.8484, 4.9681, 5.0877, 5.2072, 5.3267, 5.4462];

```

```

136 function GenSymbol(L)
137 // Input: Positive definite Numberfield Lattice L of
      square-free level
138
139 // Output: Genus symbol of L in the form [S_1, n, <2,
      n_2, epsilon_2, S_2, t_2>, <3, n_3, epsilon_3>,
      <5,...>, ...] for all primes dividing Det(L)
140     Symbol := [* *];
141
142     Rat := RationalAsNumberField();
143     Int := Integers(Rat);
144
145     LNF := NumberFieldLatticeWithGram(Matrix(Rat,
      GramMatrix(L)));
146     _, Grams2, Vals2 := JordanDecomposition
      (LNF, ideal<Int|2>);
147
148     // Checks if all diagonal entries of the 1-
      component of the 2-adic jordan decomposition are even
149     if Vals2[1] ne 0 or (Vals2[1] eq 0 and &and
      ([Valuation(Rationals() ! (Grams2[1][i][i]), 2) ge 1 :
      i in [1..NumberOfRows(Grams2[1])])]) then
150         Append(~Symbol, 2);
151     else
152         Append(~Symbol, 1);
153     end if;
154
155     Append(~Symbol, Dimension(L));
156
157
158     for p in PrimeDivisors(Integers() ! (Determinant
      (L))) do
159         _, Gramsp, Valsp := JordanDecomposition(LNF,
      ideal<Int|p>);
160
161         if Valsp[1] eq 0 then
162             G := Matrix(Rationals(), 1/p * Gramsp[2]);
163         else
164             G := Matrix(Rationals(), 1/p * Gramsp[1]);
165         end if;
166
167         sym := <p, NumberOfRows(G)>;
168
169         det := Determinant(G);
170         det := Integers() ! (det * Denominator(det)^2);

```

```

171
172         if p eq 2 then
173             if IsDivisibleBy(det+1, 8) or IsDivisibleBy
174 (det-1, 8) then
175                 Append(~sym, 1);
176             else
177                 Append(~sym, -1);
178             end if;
179
180             if &and([Valuation(Rationals() ! (G[i]
181 [i]), 2) ge 1 : i in [1..sym[2]]) then
182                 Append(~sym, 2);
183             else
184                 Append(~sym, 1);
185             end if;
186
187             if sym[4] eq 2 then
188                 Append(~sym, 0);
189             else
190                 Append(~sym, Integers() ! (Trace(G)*
191 Denominator(Trace(G))^2) mod 8);
192             end if;
193         else
194             Append(~sym, LegendreSymbol(det, p));
195         end if;
196
197     Append(~Symbol, sym);
198 end for;
199 return Symbol;
200
201 end function;
202
203 function ToZLattice(L)
204 // Input: Numberfield lattice L
205 // Output: L as Z-lattice
206 B:= Matrix(ZBasis(L`Module));
207 G:= B * L`Form * InternalConjugate(L, B);
208 Form:= Matrix( Ncols(G), [ AbsoluteTrace(e) : e in
209 Eltseq(G) ] );
210 Form:=IntegralMatrix(Form);
211 LZ := LatticeWithGram(LLGram(Matrix(Integers
212 (),Form)));
213 return LZ;

```

```

214 end function;
215
216
217 function MiPoQuotient(sigma, L, p);
218 // Input : Automorphism sigma of L; Lattice L
219
220 // Output: Minimal polynomial of the operation of
sigma on the partial dual quotient  $L^{(\#}, p) / L$ 
221
222     sigma := Matrix(Rationals(), sigma);
223     L := CoordinateLattice(L);
224     LD := PartialDual(L, p : Rescale := false);
225     phi := LD / L;
226     MiPo := PolynomialRing(GF(p)) ! 1;
227
228     B := [];
229
230     for i in [1..Rank(LD)] do
231
232         b := LD.i;
233         if b in sub<LD|L,B> then
234             continue;
235         end if;
236         Append(~B,b);
237
238         dep := false;
239         C := [Eltseq(phi(b))];
240         while not dep do
241             b := b*sigma;
242             Append(~C, Eltseq(phi(b)));
243             Mat := Matrix(GF(p),C);
244             if Dimension(Kernel(Mat)) gt 0 then
245                 dep := true;
246                 coeff := Basis(Kernel(Mat))[1];
247                 coeff /= coeff[#C];
248                 coeff := Eltseq(coeff);
249                 MiPo := LCM(MiPo, Polynomial(GF(p),
coeff));
250             else
251                 Append(~B, b);
252             end if;
253         end while;
254     end for;
255
256     return MiPo;
257
258 end function;
259

```

```

260 function IsModular(L, l)
261 // Input: Lattice L; l in N
262
263 // Output: true iff L is a l-modular lattice
264
265     return IsIsometric(L, LatticeWithGram(l*GramMatrix
(Dual(L:Rescale:=false))));
266
267 end function;
268
269 function IsStronglyModular(L,l)
270 // Input: Lattice L; l in N
271
272 // Output: true iff L is a strongly l-modular lattice
273
274     return &and[IsIsometric(L, LatticeWithGram
(m*GramMatrix(PartialDual(L, m : Rescale:=false)))) :
m in [m : m in Divisors(l) | Gcd(m, Integers() ! (l/
m)) eq 1]];
275
276 end function;
277
278
279
280
281 function PossibleCharPos(n, m, ListOfTypes)
282 // Input: n in N; m in N; List of types in format
[<p_1, [a_1, a_2, ...]>, <p_2, [b_1, b_2, \dots]>,
\dots] with prime divisors p_1, p_2,... of m and a_1,
a_2,... denoting the dimensions of the fixed lattices
of sigma^(m/p_1), b_1, b_2,... for the fixed lattices
of sigma^(m/p2) and so on
283
284 // Output: List of all characteristic polynomials
matching the given types. Format: [<[<p_1,a_i>,
<p_2,b_j>,...], [<d_1,c_1>,...,<d_k,c_k>]>, ...] for
the chosen a_i, b_j and the exponents c_l > 0 of the
Phi_(d_l) for the divisors d_l
285
286     Div := Divisors(m);
287     Phi := [EulerPhi(d) : d in Div];
288     t := #ListOfTypes;
289     k := #Div;
290
291     M := ZeroMatrix(Integers(), k, t+1);
292     for i in [1..k] do
293         for j in [1..t] do
294             if IsDivisibleBy(Integers() ! (m/

```

```

ListOfTypes[j][1]), Div[i]) then
295         M[i,j] := EulerPhi(Div[i]);
296     end if;
297 end for;
298 M[i, t+1] := EulerPhi(Div[i]);
299 end for;
300
301 TypeChoice := CartesianProduct([[1..#pList[2]] :
pList in ListOfTypes]);
302
303 Results := [];
304
305 for IndexList in TypeChoice do
306     N := ZeroMatrix(Integers(), 1, t+1);
307     for i in [1..t] do
308         N[1][i] := ListOfTypes[i][2][IndexList[i]];
309     end for;
310     N[1][t+1] := n;
311
312     C := CartesianProduct([[0..Floor(n/EulerPhi
(d))]] : d in Div]);
313
314     for c in C do
315         if &or[c[i] ne 0 : i in [1..k]] and Lcm
([Div[i] : i in [1..k] | c[i] gt 0]) eq m then
316             v := Matrix(Integers(), 1, k, [x : x in
c]);
317             if v*M eq N then
318                 ChoiceList := [<ListOfTypes[i][1],
IndexList[i]> : i in [1..t]];
319                 ExpList := [<Div[i], c[i]> : i in
[1..k] | c[i] gt 0];
320                 Append(~Results, <ChoiceList,
ExpList>);
321             end if;
322         end if;
323     end for;
324 end for;
325
326 return Results;
327
328 end function;

```

## § 5.3 MAGMA-Implementierungen der Ideal-Gitter-Algorithmen

Es folgt der Quellcode zu den Algorithmen aus Kapitel 3. Die implementierten Funktionen sind

- Alle Teiler eines  $\mathbb{Z}_K$ -Ideals  $\mathcal{I}$  von festgelegter Norm berechnen. Siehe Algorithmus (1).
- Einen total-reellen Erzeuger eines  $\mathbb{Z}_K$ -Ideals  $\mathcal{I}$  bestimmen. Siehe Algorithmus (2).
- Matrix, deren Einträge die Vorzeichen der reellen Einbettung der Grundeinheiten kodieren, sowie eine Liste aller total-positiven Elemente in  $\mathbb{Z}_{K+}^*$  reduziert nach  $\{\lambda\bar{\lambda} \mid \lambda \in \mathbb{Z}_K^*\}$  und eine Liste von Erzeugern einer Untergruppe von  $\mathbb{Z}_{K+}^*$  mit ungeradem Index bestimmen. Siehe Algorithmus (3).
- Liste aller total-positiven Erzeuger eines  $\mathbb{Z}_K$ -Ideals  $\mathcal{I}$  reduziert nach  $\{\lambda\bar{\lambda} \mid \lambda \in \mathbb{Z}_K^*\}$  bestimmen. Siehe ebenfalls Algorithmus (3).
- Liste von Vertretern der Klassengruppe von  $K$  modulo der Operation der Galoisgruppe  $\text{Gal}(K/\mathbb{Q})$  bestimmen. Siehe Abschnitt (3.3).
- Aus einem  $\mathbb{Z}_K$ -Ideal  $\mathcal{I}$  und einem total-positiven Element  $\alpha$  das Gitter, welches durch Auffassung von  $\mathcal{I}$  als  $\mathbb{Z}$ -Gitter mit Bilinearform  $b(x, y) := \text{Spur}(\alpha x \bar{y})$  entsteht.
- Alle Ideal-Gittern über gegebenem CM-Körper mit vorgegebener Determinante und quadratfreier Stufe aufzählen. Siehe Algorithmus (4).
- Liste von allen  $\ell$ -modularen Gittern in Dimension  $n$  erstellen, welche einen Automorphismus  $\sigma$  besitzen mit  $\mu_\sigma = \Phi_m$  und  $\varphi(m) = n$ . Siehe Abschnitt (3.5).



```

1
2 function DivisorsWithNorm(I, n)
3 // Input:  $\mathbb{Z}_K$ -Ideal I; norm n in  $\mathbb{Z}$ 
4
5 // Output: List of divisors of I with norm n
6
7     norm := Integers() ! Norm(I);
8
9     if n eq 1 then return [I*I^(-1)]; end if;
10    if not IsDivisibleBy(norm, n) then return []; end
    if;
11    if norm eq n then return [I]; end if;
12
13    Fact := Factorization(I);
14
15    p1 := Fact[1][1];
16    s1 := Fact[1][2];
17    np := Integers() ! Norm(p1);
18
19    Results := [];
20
21    for j in [0..s1] do
22        if IsDivisibleBy(n, np^j) then
23            B := DivisorsWithNorm(I*p1^(-s1), Integers
    () ! (n / np^j));
24
25            for J in B do
26                Append(~Results, p1^j*J);
27            end for;
28        end if;
29    end for;
30
31    return Results;
32
33 end function;
34
35
36 function TotallyRealGenerator(I, K, Kpos)
37 // Input:  $\mathbb{Z}_K$ -Ideal I; Field K; Field Kpos
38
39 // Output: Boolean that indicates success; totally
    real generator of  $I \cap Kpos$ 
40
41     ZK := Integers(K);
42     ZKpos := Integers(Kpos);
43
44     Ipos:=ideal<ZKpos|1>;
45     Split:=[];

```

```

46
47     Fact := Factorization(I);
48
49     for i in [1..#Fact] do
50         if i in Split then continue; end if;
51
52         pi:=Fact[i][1];
53         si:=Fact[i][2];
54         piConj := IdealConjugate(pi,K);
55
56         p:=MinimalInteger(pi);
57
58         pFact:=Factorization(ideal< ZKpos | p >);
59
60         for qj in [fact[1] : fact in pFact] do
61             if ideal<ZK | Generators(qj)> subset pi
then
62                 a := qj;
63                 break;
64             end if;
65         end for;
66
67         aZK := ideal<ZK|Generators(a)>;
68
69         if aZK eq pi^2 then
70
71             if not IsDivisibleBy(si, 2) then return
false, _; end if;
72             Ipos *:= a^(Integers() ! (si/2));
73
74             elif aZK eq pi then
75
76                 Ipos *:= a^si;
77
78             elif aZK eq pi*piConj then
79
80                 if Valuation(I, pi) ne Valuation(I,
piConj) then return false, _; end if;
81                 Ipos *:= a^si;
82                 for j in [1..#Fact] do
83                     pj := Fact[j][1];
84                     if pj eq piConj then
85                         Append(~Split, j);
86                         break;
87                     end if;
88                 end for;
89             end if;
90         end for;

```

```

91
92     return IsPrincipal(Ipos);
93
94 end function;
95
96
97 function EmbeddingMatrix(K, Kpos)
98 // Input: Field K; Field Kpos
99
100 // Output: Matrix M whose entries give the signs of
        the embeddings of the fundamental units; List U of all
        totally positive units in ZKpos modulo norms; List of
        generators of a subgroup of  $Z_{Kpos}^*$  of odd index
101
102     ZKpos := Integers(Kpos);
103
104     t := #Basis(ZKpos);
105
106     G, mG := pFundamentalUnits(ZKpos, 2);
107     FundUnits := [mG(G.i) : i in [1..t]];
108
109     M := ZeroMatrix(GF(2), t, t);
110
111     for i in [1..t] do
112         Embeds := RealEmbeddings(FundUnits[i]);
113         for j in [1..t] do
114             if Embeds[j] lt 0 then
115                 M[i][j] := 1;
116             end if;
117         end for;
118     end for;
119
120     U := [];
121     for a in Kernel(M) do
122         e := ZKpos ! &*[FundUnits[i]^(Integers() ! a
[i]) : i in [1..t]];
123         Append(~U, e);
124     end for;
125
126     ZRel := Integers(RelativeField(Kpos, K));
127
128     Units := [];
129     for u in U do
130         for w in Units do
131             if NormEquation(ZRel, ZRel ! (u/w)) then
132                 continue u;
133             end if;

```

```

134         end for;
135
136         Append(~Units, u);
137     end for;
138
139     return M, Units, FundUnits;
140
141 end function;
142
143
144 function TotallyPositiveGenerators(alpha, K, Kpos, M,
U, FundUnits)
145 // Input: alpha in ZKpos; Field K; Field Kpos;
Embedding-Matrix M; List U of all totally-positive
units in ZKpos modulo norms; List FundUnits of
generators of a subgroup of  $Z_{Kpos}^*$  of odd index
146
147 // Output: Boolean that indicates success; List of all
totally-positive generators of  $\alpha \cdot ZK$  modulo norms
148
149     t := #Basis(Kpos);
150     V := ZeroMatrix(GF(2), 1, t);
151
152     Embeds := RealEmbeddings(alpha);
153     for i in [1..t] do
154         if Embeds[i] < 0 then
155             V[1][i] := 1;
156         end if;
157     end for;
158
159     solvable, x := IsConsistent(M,V);
160     if not solvable then
161         return false, _;
162     end if;
163
164     g := Integers(Kpos) ! &*[FundUnits[i]^(Integers
()) ! x[1][i]) : i in [1..t]];
165
166     return true, [alpha*g*u : u in U];
167
168 end function;
169
170
171 function ClassesModGalois(K)
172 // Input : Field K
173
174 // Output : List of representatives of the class

```

```

group of Z_K modulo the action of the Galois-group of
K/Q
175
176     ZK := Integers(K);
177     Cl, mCl := ClassGroup(ZK : Proof:="GRH");
178
179     ClModGal:=[];
180     for a in Cl do
181         A:=mCl(a);
182         for f in Automorphisms(K) do
183             if Inverse(mCl)(ideal<ZK | [f(x) : x in
Generators(A)]>) in ClModGal then
184                 continue a;
185             end if;
186         end for;
187         Append(~ClModGal,a);
188     end for;
189
190     return [mCl(g) : g in ClModGal];
191
192 end function;
193
194
195
196 function LatFromIdeal(J, alpha, K)
197 // Input: ZK-Ideal J; Totally positive element alpha
Kpos; Field K
198
199 // Output: Z-Lattice with elements J and inner product
(x,y) := Tr(alpha*x*Conj(y))
200
201     n := #Basis(K);
202     z := PrimitiveElement(K);
203
204     GeneratorMatrix := KMatrixSpace(Rationals(),
#Generators(J)*n, n) ! 0;
205
206     for i in [1..#Generators(J)] do
207         g := K ! (Generators(J)[i]);
208
209         for j in [1..n] do
210             GeneratorMatrix[(i-1)*n + j] := Vector
(Rationals(), n, Eltseq(g*z^(j-1)));
211         end for;
212     end for;
213
214
215     BaseVecs := Basis(Lattice(GeneratorMatrix));

```

```

216
217     ZBase := [];
218     for i in [1..n] do
219         b := K ! 0;
220         for j in [1..n] do
221             b += BaseVecs[i][j]*z^(j-1);
222         end for;
223         Append(~ZBase, b);
224     end for;
225
226     InnProd := KMatrixSpace(Rationals(), n, n) ! 0;
227     for i in [1..n] do
228         for j in [1..n] do
229             InnProd[i][j] := Trace(K ! (alpha * z^(i-
230 j)));
231         end for;
232     end for;
233
234     L := LatticeWithBasis(KMatrixSpace(Rationals(), n,
235 n) ! Matrix(BaseVecs), InnProd);
236     L := LatticeWithGram(LLGram(GramMatrix(L)));
237
238     return L;
239
240 end function;
241
242 function IdealLattices(d, K, Kpos, A, M, U, FundUnits,
243 Reduce)
244 // Input: d in N; Field K; Field Kpos; Class Group of
245 K mod Galois-Group A; Embedding-Matrix M; List of
246 totally-positive units U; List FundUnits of generators
247 of a subgroup of  $\mathbb{Z}_{Kpos}^*$  of odd index; Boolean Reduce
248 that indicates, whether the list shall be reduced by
249 isometry.
250
251 // Output: List of all even ideal-lattices over K of
252 square-free level and determinant d
253
254     ZK := Integers(K);
255     InvDiff := Different(ZK)^(-1);
256
257     l := &*(PrimeDivisors(d))
258
259     B := DivisorsWithNorm(ideal<ZK|l>, d);
260
261     Results := [];

```

```

255     for I in A do
256         for b in B do
257             J := (I*IdealConjugate(I,K))^
258             (-1)*InvDiff*b;
259             x, alphaPrime := TotallyRealGenerator(J,
260             K, Kpos);
261             if x then
262                 y, TotPos := TotallyPositiveGenerators
263                 (alphaPrime, K, Kpos, M, U, FundUnits);
264                 if y then
265                     for alpha in TotPos do
266                         L := LatFromIdeal(I, alpha, K);
267                         if IsEven(L) then
268                             Append(~Results, L);
269                         end if;
270                     end for;
271                 end if;
272             end for;
273         end for;
274     end for;
275     if Reduce then Results := ReduceByIsometry
276     (Results); end if;
277     return Results;
278 end function;
279
280
281 function ModIdLat(l, n , PrintFile)
282 // Input: square-free l in N; n in N; Boolean
283 // PrintFile that indicates whether resulting lattices
284 // should be saved as files
285 // Output: List of all l-modular lattices of dimension
286 // n that are ideal lattices over some cyclotomic field
287 // reduced by isometry
288
289     det := l^(Integers() ! (n/2));
290
291     Lattices := [];
292
293     for m in [m : m in EulerPhiInverse(n) | m mod 4 ne
294     2] do

```

```

292         K<z> := CyclotomicField(m);
293         Kpos := sub<K | z + z^(-1)>;
294
295         A := ClassesModGalois(K);
296         M, U, FundUnits := EmbeddingMatrix(K, Kpos);
297         Lattices cat:= IdealLattices(det, K, Kpos, A,
M, U, FundUnits, false);
298     end for;
299
300     Lattices := ReduceByIsometry(Lattices);
301
302     if PrintFile then
303         PrintFileMagma(Sprintf("IdealLattices/%o-
Modular/%o-Dimensional", l, n), Lattices :
Overwrite := true);
304     end if;
305
306     return Lattices;
307
308 end function;

```



## § 5.4 MAGMA-Implementierungen der Subideal-Gitter-Algorithmen

Beschreibung

```

1
2 function AutomorphismTypes(l, k, n, t)
3 // Input: Square-free l in N, k in N, n in N, t in N
4
5 // Output: List of all possible types of automorphisms
  of prime order for even lattices of level l with
  determinant l^k, dimension n and minimum greater or
  equal to t
6   Results := [];
7
8   lFactors := PrimeDivisors(l);
9
10  for p in PrimesUpTo(n+1) do
11    if p in lFactors then continue; end if;
12
13    K<z> := CyclotomicField(p);
14    Kpos := sub<K|z+1/z>;
15
16    f := [];
17
18    for q in lFactors do
19      if p le 3 then
20        Append(~f, 1);
21      else
22        Append(~f, InertiaDegree(Factorization
  (ideal<Integers(Kpos) | q>)[1][1]));
23      end if;
24    end for;
25
26    for np in [i*(p-1) : i in [1..Floor(n/
  (p-1))]] do
27
28      n1 := n - np;
29      for s in [0..Min(n1, Integers() ! (np/
  (p-1)))] do
30        if not IsDivisibleBy(s - Integers() !
  (np / (p-1)), 2) then continue s; end if;
31        if p eq 2 and not IsDivisibleBy(s, 2)
  then continue s; end if;
32
33        if l eq 1 then
34          if n1 gt 0 then
35            Gamma1 := t/p^(s/n1);
36            if Gamma1 gt HermiteBounds
  [n1] + 0.1 then continue; end if;
37          end if;
38
39          if np gt 0 then

```

```

40         Gammap := t/p^(s/np);
41         if Gammap gt HermiteBounds
42 [np] + 0.1 then continue; end if;
42         end if;
43         type := <p, n1, np, s>;
44
45         Append(~Results, type);
46     else
47         for kp in CartesianProduct([[2*f
48 [i]*j : j in [0..Floor(Min(np,k)/(2*f[i]))]] : i in
49 [1..#f]]) do
50
51             k1 := [k - kp[i] : i in
52 [1..#kp]];
53
54             for i in [1..#kp] do
55                 if k1[i] gt Min(n1,k)
56 then continue kp; end if;
57                 if not IsDivisibleBy(k1
58 [i] - k, 2) then continue kp; end if;
59                 if not IsDivisibleBy(kp
60 [i], 2) then continue kp; end if;
61             end for;
62
63             if n1 gt 0 then
64                 Gammap1 := p^s;
65                 for i in [1..#lFactors] do
66                     Gammap1 *= lFactors
67 [i]^k1[i];
68
69                 end for;
70                 Gammap1 := t / Gammap1^(1/
71 n1);
72
73                 if Gammap1 gt HermiteBounds
74 [n1] + 0.1 then continue; end if;
75                 end if;
76
77                 if np gt 0 then
78                     Gammap := p^s;
79                     for i in [1..#lFactors] do
80                         Gammap *= lFactors
81 [i]^kp[i];
82
83                     end for;
84                     Gammap := t / Gammap^(1/
85 np);

```

```

74         if Gammap gt HermiteBounds
[ np ] + 0.1 then continue; end if;
75     end if;
76
77     if p eq 2 then
78         if n1 gt 0 then
79             Gamma1 := 1;
80             for i in
[ 1..#lFactors ] do
81                 Gamma1 *:=
lFactors[i]^k1[i];
82             end for;
83             Gamma1 := t/2 /
Gamma1^(1/n1);
84
85             if Gamma1 gt
HermiteBounds[n1] + 0.1 then continue; end if;
86         end if;
87
88         if np gt 0 then
89             Gammap := 1;
90             for i in
[ 1..#lFactors ] do
91                 Gammap *:=
lFactors[i]^kp[i];
92             end for;
93             Gammap := t/2 /
Gammap^(1/np);
94
95             if Gammap gt
HermiteBounds[np] + 0.1 then continue; end if;
96         end if;
97     end if;
98
99     type := <p, n1, np, s>;
100     for i in [ 1..#lFactors ] do
101         Append(~type, lFactors
[i]);
102         Append(~type, k1[i]);
103         Append(~type, kp[i]);
104     end for;
105
106     Append(~Results, type);
107 end for;
108 end if;
109 end for;
110 end for;
111 end for;

```

```

112
113     return Results;
114
115 end function;
116
117
118 function EnumerateGenusOfRepresentative(L)
119 // Input: Lattice L, t in N
120
121 // Output: List of all representatives of isometry-
122 // classes in the genus of L
123
124     "Enumerate genus of representative";
125     try return eval Read(Sprintf("GenusSymbols/Gen_%
126 o", GenSymbol(L))); catch e; end try;
127
128     if Dimension(L) le 4 then
129         Gen := GenusRepresentatives(L);
130         ZGen := [];
131         for M in Gen do
132             if Type(M) eq Lat then
133                 Append(~ZGen, LLL(M));
134             else
135                 Append(~ZGen, LatticeWithGram(LLLGram
136 (Matrix(Rationals(), GramMatrix(SimpleLattice(M))))));
137             end if;
138         end for;
139         PrintFileMagma(Sprintf("GenusSymbols/Gen_%
140 o", GenSymbol(L)), ZGen : Overwrite := true);
141         return ZGen;
142     end if;
143
144     M := Mass(L);
145     Gen := [L];
146     Explored := [false];
147     NumFound := [1];
148     Minima := [Minimum(L)];
149     NumShortest := [#ShortestVectors(L)];
150     SizeAuto := [#AutomorphismGroup(L)];
151     m := 1 / SizeAuto[1];
152
153     p := 2;
154
155     t0 := Realtime();
156
157     while m lt M do
158         //printf "So far %o classes found.

```

```

Difference to actual mass is %. \n", #Gen, M-m;
155     if Realtime(t0) ge 120*60 then
156         printf "2 hours have elapsed and not the
whole genus was explored. Remaining difference to
actual mass is %. %o classes were found so far.\n", M-
m, #Gen;
157         return Gen;
158     end if;
159
160     RareFound := [];
161     MinCount := Infinity();
162
163     if &and(Explored) then
164         //"All explored. Going to next prime.";
165         Explored := [false : x in Explored];
166         p := NextPrime(p);
167     end if;
168
169     for i in [1..#Gen] do
170         if not Explored[i] then
171             if NumFound[i] lt MinCount then
172                 RareFound := [i];
173                 MinCount := NumFound[i];
174             elif NumFound[i] eq MinCount then
175                 Append(~RareFound, i);
176             end if;
177         end if;
178     end for;
179
180     i := RareFound[Random(1, #RareFound)];
181
182     Neigh := [CoordinateLattice(N) : N in
Neighbours(Gen[i], p)];
183     Explored[i] := true;
184
185     for N in Neigh do
186
187         auto := #AutomorphismGroup(N);
188         if auto lt 1/(M-m) then continue; end if;
189
190         minimum := Minimum(N);
191         shortest := #ShortestVectors(N);
192
193         for j in [1..#Gen] do
194
195             if minimum ne Minima[j] then
196                 continue j;
197             end if;

```

```

198
199         if shortest ne NumShortest[j] then
200             continue j;
201         end if;
202
203         if auto ne SizeAuto[j] then
204             continue j;
205         end if;
206
207         if IsIsometric(N, Gen[j]) then
208             NumFound[j] += 1;
209             continue N;
210         end if;
211     end for;
212
213     Append(~Gen,N);
214     Append(~Explored, false);
215     Append(~NumFound, 1);
216     Append(~Minima, minimum);
217     Append(~NumShortest, shortest);
218     Append(~SizeAuto, auto);
219     m += 1/auto;
220     if m eq M then
221         break N;
222     end if;
223 end for;
224 end while;
225
226     PrintFileMagma(Sprintf("GenusSymbols/Gen_%
o",GenSymbol(L)), Gen : Overwrite := true);
227
228     return Gen;
229
230 end function;
231
232
233 function EnumerateGenusDeterminant(det, n, even)
234 // Input: det in N; n in N; boolean even that
indicates whether only even lattices shall be
enumerated
235
236 // Output: Representatives of all isometry-classes
belonging to a genus of integral lattices with
determinant det, dimension n, and square-free level
237
238     if n eq 0 then
239         return [LatticeWithGram(Matrix(Rationals
(),0,0,[]))];

```

```

240     end if;
241
242     if n eq 1 then
243         L := LatticeWithGram(Matrix(Rationals(), 1,
244     1, [det]));
245         Symbol := GenSymbol(L);
246         if even and not Symbol[1] eq 2 then return
247     []; end if;
248         if not IsSquarefree(Level(L)) then return [];
249     end if;
250         if even and IsDivisibleBy(Determinant(L), 2)
251     then
252             if not Symbol[3][4] eq 2 then return [];
253         end if;
254         end if;
255         return [L];
256     end if;
257
258     if n eq 2 then
259         Results := [];
260
261         for m in [1..Floor(1.155*Sqrt(det))] do
262             for a in [-m+1..m-1] do
263
264                 if not IsDivisibleBy(det + a^2, m)
265     then continue; end if;
266                 b := Integers() ! ((det + a^2) / m);
267
268                 if b lt m then continue; end if;
269                 if even and not IsEven(b) then
270     continue; end if;
271
272                 Mat := Matrix(Rationals(), 2, 2,
273     [m,a,a,b]);
274                 if not IsPositiveDefinite(Mat) then
275     continue; end if;
276
277                 L := LatticeWithGram(Mat);
278
279                 if not IsSquarefree(Level(L)) then
280     continue; end if;
281
282                 Symbol := GenSymbol(L);
283                 if even and not Symbol[1] eq 2 then
284     continue; end if;
285                 if even and IsDivisibleBy(Determinant
286     (L), 2) then
287                     if not Symbol[3][4] eq 2 then

```



```

        continue; end if;
276         end if;
277
278         Append(~Results, L);
279     end for;
280 end for;
281
282     return ReduceByIsometry(Results);
283 end if;
284
285
286 Rat := RationalAsNumberField();
287 Int := Integers(Rat);
288
289 primes := PrimeBasis(det);
290 exps := [Valuation(det, p) : p in primes];
291
292 IdealList := [];
293 if not 2 in primes then
294     Append(~IdealList, <ideal<Int|2>, [[0,n]]>);
295 end if;
296
297 for i in [1..#primes] do
298     p := primes[i];
299     e := Abs(exps[i]);
300     if n eq e then
301         Append(~IdealList, <ideal<Int|p>,
302 [[1,e]]>);
303     elif e eq 0 then
304         Append(~IdealList, <ideal<Int|p>,
305 [[0,n]]>);
306     else
307         Append(~IdealList, <ideal<Int|p>, [[0,n-
308 e],[1,e]]>);
309     end if;
310 end for;
311
312 "Constructing representatives";
313 try
314     Rep := LatticesWithGivenElementaryDivisors
315 (Rat, n, IdealList);
316 catch e
317     print "Error while trying to construct a
318 representative. IdealList:";
319     IdealList;
320     return [];
321 end try;

```

```

318     Results := [];
319
320     for L in Rep do
321
322         LZ := ToZLattice(L);
323         if IsSquarefree(Level(LZ)) then
324             Symbol := GenSymbol(LZ);
325             if even and not Symbol[1] eq 2 then
326                 continue L; end if;
327             if even and IsDivisibleBy(det, 2) then
328                 if not Symbol[3][4] eq 2 then continue
329                     L; end if;
330                 end if;
331             Gen := EnumerateGenusOfRepresentative(LZ);
332             Results cat:= Gen;
333         end if;
334     end for;
335
336     return Results;
337 end function;
338
339
340 function EnumerateGenusSymbol(Symbol)
341 // Input: Genus-symbol Symbol of positive definite
342 //         lattices of square-free level; t in N
343
344 // Output: Representatives of all isometry-classes
345 //         belonging to the genus
346
347     try return eval Read(Sprintf("GenusSymbols/Gen_%
348 o", Symbol)); catch e; end try;
349
350     n := Symbol[2];
351
352     if n eq 0 then
353         return [LatticeWithGram(Matrix(Rationals
354             ()),0,0,[])];
355     end if;
356
357     if n eq 1 then
358         det := &*[Symbol[i][1]^Symbol[i][2] : i in
359             [3..#Symbol]];
360         L := LatticeWithGram(Matrix(Rationals(), 1,
361             1, [det]));
362         if GenSymbol(L) eq Symbol then

```

```

357         return [L];
358     end if;
359     return [];
360 end if;
361
362 if n eq 2 then
363     det := &*[Symbol[i][1]^Symbol[i][2] : i in
364 [3..#Symbol]];
365
366     for m := 2 to Floor(1.155*Sqrt(det)) by 2 do
367         for a in [-m+1..m-1] do
368             if not IsDivisibleBy(det + a^2, m)
369 then continue; end if;
370             b := Integers() ! ((det + a^2) / m);
371
372             if b lt m then continue; end if;
373             if not IsEven(b) then continue; end
374 if;
375
376             Mat := Matrix(Rationals(), 2, 2,
377 [m,a,a,b]);
378             if not IsPositiveDefinite(Mat) then
379 continue; end if;
380
381             L := LatticeWithGram(Mat);
382             if not IsSquarefree(Level(L)) then
383 continue; end if;
384
385             if Symbol eq GenSymbol(L) then
386                 return
387 EnumerateGenusOfRepresentative(L);
388             end if;
389         end for;
390     end for;
391
392     return [];
393 end if;
394
395 Rat := RationalsAsNumberField();
396 Int := Integers(Rat);
397
398 IdealList := [];
399 if Symbol[3][1] ne 2 then
400     Append(~IdealList, <ideal<Int|2>, [[0,n]]>);
401 end if;

```

```

398
399     for i in [3..#Symbol] do
400         p := Symbol[i][1];
401         np := Symbol[i][2];
402
403         if n eq np then
404             Append(~IdealList, <ideal<Int|p>,
[[1,np]]>);
405         elif np eq 0 then
406             Append(~IdealList, <ideal<Int|p>,
[[0,n]]>);
407         else
408             Append(~IdealList, <ideal<Int|p>, [[0,n-
np],[1,np]]>);
409         end if;
410     end for;
411
412     "Constructing representatives";
413     try
414         Rep := LatticesWithGivenElementaryDivisors
(Rat, n, IdealList);
415     catch e
416         print "Error while trying to construct a
representative. IdealList:";
417         IdealList;
418         return [];
419     end try;
420
421     for L in Rep do
422         LZ := ToZLattice(L);
423         if GenSymbol(LZ) eq Symbol then
424             Gen := EnumerateGenusOfRepresentative(LZ);
425             return Gen;
426         end if;
427     end for;
428
429     return [];
430
431 end function;
432
433
434 function SuperLatticesMagma(L, p, s, sigma)
435 // Input: Lattice L; Prime p; s in N; Automorphism
sigma of L
436
437 // Output: All even sigma-invariant superlattices of L
with index p^s using magmas method

```

```

438
439
440     LD := PartialDual(L,p:Rescale:=false);
441
442     G := MatrixGroup<NumberOfRows(sigma), Integers()
| sigma >;
443     den1 := Denominator(BasisMatrix(LD));
444     den2 := Denominator(InnerProductMatrix(LD));
445
446     A := LatticeWithBasis(G, Matrix(Integers(),
den1*BasisMatrix(LD)), Matrix(Integers(),
den2^2*InnerProductMatrix(LD)));
447
448     SU := [];
449     SU := Sublattices(A, p : Levels := s, Limit :=
100000);
450
451     if #SU eq 100000 then "List of sublattices is
probably not complete."; end if;
452
453     Results := [];
454
455     for S in SU do
456
457         M := 1/den1 * 1/den2 * S;
458
459         if Determinant(M)*p^(2*s) eq Determinant(L)
then
460             Append(~Results, M);
461         end if;
462     end for;
463
464     return [L : L in Results | IsEven(L)];
465 end function;
466
467
468 function SuperLattices(L1, Lp, p, sigma1, sigmap)
469 // Input: Lattice L1; Lattice Lp; Prime p;
Automorphism sigma of L
470
471 // Output: All even sigma-invariant superlattices of L
with index p^s and minimum at least t using magmas
method
472
473     M := OrthogonalSum(L1, Lp);
474
475     L1Quot, phil := PartialDual(L1,p :
Rescale:=false) / L1;

```

```

476     LpQuot, phip := PartialDual(Lp,p :
Rescale:=false) / Lp;
477
478     m := #Generators(L1Quot);
479
480     philInv := Inverse(phil);
481     phipInv := Inverse(hiph);
482
483     G1 := ZeroMatrix(GF(p),m,m);
484     Gp := ZeroMatrix(GF(p),m,m);
485     for i in [1..m] do
486         for j in [1..m] do
487             G1[i,j] := GF(p) ! (p*InnerProduct(philInv
(L1Quot.i), philInv(L1Quot.j)));
488             Gp[i,j] := GF(p) ! (-p*InnerProduct
(hiphInv(LpQuot.i), phipInv(LpQuot.j)));
489         end for;
490     end for;
491
492     V1 := KSpace(GF(p), m, G1);
493     Vp := KSpace(GF(p), m, Gp);
494
495     O1 := IsometryGroup(V1);
496
497     sigma1Quot := ZeroMatrix(GF(p),m,m);
498     for i in [1..m]
do
499         sigma1Quot[i] := Vector(GF(p), Eltseq(phil
(philInv(L1Quot.i)*Matrix(Rationals(),sigma1))));
500     end for;
501
502     sigmaMapQuot := ZeroMatrix(GF(p),m,m);
503     for i in [1..m]
do
504         sigmaMapQuot[i] := Vector(GF(p), Eltseq(hiph
(hiphInv(LpQuot.i)*Matrix(Rationals(),sigmaMap))));
505     end for;
506
507     CL1Quot := Centralizer(O1, O1 ! sigma1Quot);
508
509     CL1 := Centralizer(AutomorphismGroup(L1), sigma1);
510
511     CL1ProjGens := [];
512     for g in Generators(CL1) do
513         gProj := ZeroMatrix(GF(p),m,m);
514         for i in [1..m] do
515             gProj[i] := Vector(GF(p), Eltseq(phil

```

```

        (phiInv(L1Quot.i)*Matrix(Rationals(), g))));
516         end for;
517         Append(~CL1ProjGens, gProj);
518     end for;
519
520     CL1Proj := MatrixGroup<m, GF(p) | CL1ProjGens>;
521
522     _, psi := IsIsometric(V1,Vp);
523
524     psi := MatrixOfIsomorphism(psi);
525     _, u := IsConjugate(01, 01 ! sigma1Quot, 01 !
    (psi*sigma1Quot*psi^(-1)));
526
527     phi0 := u*psi;
528
529     U, mapU := CL1Quot / CL1Proj;
530
531     LphiList := [];
532     for u in U do
533         phi := Inverse(mapU)(u)*phi0;
534
535         Gens := [];
536         for i in [1..m] do
537             x := phiInv(L1Quot.i);
538             y := phiInv(LpQuot ! Eltseq(phi[i]));
539             Append(~Gens, Eltseq(x) cat Eltseq(y));
540         end for;
541
542         Lphi := ext<M | Gens>;
543         Append(~LphiList, LatticeWithGram(LLLGram
    (GramMatrix(Lphi))));
544     end for;
545
546     return [L : L in LphiList | IsEven(L)];
547 end function;
548
549
550
551 function SuperLatticesJuergens(L, p, s)
552 // Input: Lattice L; Prime p; s in N; t in N
553
554 // Output: All even superlattices of L with index p^s
    using juergens method
555
556 if s eq 0 then
557     return [L];
558 end if;
559

```

```

560     T,mapT:=PartialDual(L,p:Rescale:=false) / L;
561     mapTinv := Inverse(mapT);
562
563     m:=#Generators(T);
564     G:=GramMatrix(L);
565     G_F:=MatrixAlgebra(GF(p),m)!0;
566
567     for i:=1 to m do
568         for j:=1 to m do
569             G_F[i,j]:=GF(p)!(p*InnerProduct(mapTinv
(T.i),mapTinv(T.j)));
570         end for;
571     end for;
572
573     V:=KSpace(GF(p),m,G_F);
574     if not s le WittIndex(V) then
575         return [];
576     end if;
577
578     M1:=MaximalTotallyIsotropicSubspace(V);
579     M:=sub< M1 | Basis(M1)[1..s] >;
580
581     O:=IsometryGroup(V);
582     Aut:=AutomorphismGroup(L:Decomposition:=true);
583
584     Gens:=[];
585     for g in Generators(Aut) do
586         g_F:=MatrixAlgebra(GF(p),m)!0;
587         for i:=1 to m do
588             g_F[i]:=V!Vector(Eltseq(mapT(mapTinv(T!
Eltseq(V.i))*Matrix(Rationals(),g))));
589         end for;
590         Append(~Gens,g_F);
591     end for;
592
593     O_L:=sub< O | Gens>;
594     mapS,S,Kernel:=OrbitAction(O_L,Orbit(O,M));
595     Set:=[Inverse(mapS)(i[2]) : i in
OrbitRepresentatives(S)];
596     SuperLat := [CoordinateLattice(ext< L | [mapTinv(T!
Eltseq(x)) : x in Basis(W)] >) : W in Set];
597
598     return [L : L in SuperLat | IsEven(L)];
599
600 end function;
601
602
603 function ConstructLattices(l, n)

```



```

604 // Input: Square-free l; n in N
605
606 // Output: List of all extremal l-modular lattices
        that have a large automorphism sigma of order m with
         $n/2 < \phi(m) < n$ , such that there is a prime divisor p
        of m with  $\gcd(p, l) = 1$  and  $\mu_{\sigma} / \Phi_m \mid (x^{(m/p)} - 1)$ 
607     Results := [];
608
609     min := ExtremalMinimum(l, n);
610
611     AutoTypes := AutomorphismTypes(l, Integers() !
(n/2), n, min);
612     counter := 0;
613
614     for phim in [Integers() ! (n/2)+1 .. n] do
615
616         n1 := n - phim;
617         np := phim;
618
619         for m in [m : m in EulerPhiInverse(phim)] do
620
621             printf "m = %0\n", m;
622
623             for p in PrimeDivisors(m) do
624                 //printf "Testing p = %0\n", p;
625                 if Gcd(p, l) ne 1 then continue; end
if;
626                 d := Integers() ! (m/p);
627                 PossibleTypes := [type : type in
AutoTypes | type[1] eq p and type[2] eq n1 and type[3]
eq np and EulerPhi(d) le type[4]];
628
629                 //printf "Have to check %0 possible
automorphism-types\n", #PossibleTypes;
630
631                 for type in PossibleTypes do
632                     s := type[4];
633
634                     detp := p^s;
635                     for i := 5 to #type by 3 do
636                         detp *:= type[i]^type[i+2];
637                     end for;
638
639                     // Enumerate ideal-lattices over K
(zeta_m) with given determinant
640                     K<z> := CyclotomicField(m);
641                     Kpos := sub<K | z + z^(-1)>;

```

```

642
643         A := ClassesModGalois(K);
644         M, U, FundUnits := EmbeddingMatrix
(K, Kpos);
645         LpList := IdealLattices(detp, K,
Kpos, A, M, U, FundUnits, false);
646
647         LpList := [L : L in LpList |
Minimum(L) ge min];
648         LpList := ReduceByIsometry
(LpList);
649
650         for Lp in LpList do
651             sigmapList := [c[3] : c in
ConjugacyClasses(AutomorphismGroup(Lp)) | MiPoQuotient
(c[3], Lp, p) eq Polynomial(GF(p), CyclotomicPolynomial
(d))];
652             if #sigmapList eq 0 then
653                 continue Lp;
654             end if;
655             "Enumerate candidates for L_1";
656
657             if p eq 2 then
658
659                 // In this case use the
sublattice U of L_1 with U^{# , 2} = U
660                 det1U := 1;
661                 for i := 5 to #type by 3
do
662                     det1U *:= type[i]^type
[i+1];
663                 end for;
664
665                 UList :=
EnumerateGenusDeterminant(det1U, n1, false);
666
667                 L1List := &cat
[SuperLatticesJuergens(LatticeWithGram(2*GramMatrix
(U)), p, Integers() ! ((n1 - s)/2)) : U in UList |
Dimension(U) eq 0 or Minimum(U) ge Ceiling(min/2)];
668                 L1List := [L : L in
L1List | Dimension(L) eq 0 or (IsEven(L) and Minimum
(L) ge min)];
669
670                 elif IsPrime(l) then
671                     // In this case the genus
symbol of L_1 is known and allows for a more

```

```

efficient enumeration
672         k1 := type[6];
673         kp := type[7];
674
675         f := InertiaDegree
(Factorization(ideal<Integers(Kpos) | l>)[1][1]);
676         deltap := (-1)^(Integers
() ! (kp/f + (p-1)/2 * (Binomial(Integers() ! (np /
(p-1) + 1), 2) + Binomial(s, 2))));
677         delta1 := deltap * (-1)^
(Integers() ! (s*(p-1)/2));
678
679         if l eq 2 then
680             if IsDivisibleBy(np +
s*(p-1), 8) then
681                 epsilonp :=
deltap;
682             else
683                 epsilonp := -
deltap;
684             end if;
685
686             if IsDivisibleBy(n,
8) then
687                 epsilon := 1;
688             else
689                 epsilon := -1;
690             end if;
691         else
692             epsilonp := (-1)^
(Integers() ! (kp / f + (l-1)/2*Binomial(kp,2)));
693
694             if IsDivisibleBy(n*(l
+1), 16) then
695                 epsilon := 1;
696             else
697                 epsilon := -1;
698             end if;
699         end if;
700
701         epsilon1 :=
epsilonp*epsilon;
702
703         Sym1 := [* 2, n1 *];
704         if l eq 2 then
705             Append(~Sym1, <2, k1,
epsilon1, 2, 0>);
706             Append(~Sym1, <p, s,

```

```

    delta1>);
707         else
708             if l lt p then
709                 Append(~Sym1,
710                     <l, k1, epsilon1>);
711                 Append(~Sym1,
712                     <p, s, delta1>);
713                 Append(~Sym1,
714                     <l, k1, epsilon1>);
715             end if;
716         end if;
717         LlList := [L : L in
EnumerateGenusSymbol(Sym1) | Dimension(L) eq 0 or
(IsEven(L) and Minimum(L) ge min)];
718
719         else
720
721             det1 := p^s;
722             for i := 5 to #type by 3
723                 do
724                     det1 := type[i]^type
725                     [i+1];
726                 end for;
727
728                 LlList := [L : L in
EnumerateGenusDeterminant(det1, n1, true) | Dimension
(L) eq 0 or Minimum(L) ge min];
729
730             end if;
731             for L1 in LlList do
732                 sigmaList := [c[3] : c in
ConjugacyClasses(AutomorphismGroup(L1)) | MiPoQuotient
(c[3], L1, p) eq Polynomial(GF(p), CyclotomicPolynomial
(d)) and Degree(MinimalPolynomial(c[3])) le EulerPhi
(d)];
733
734                 if #sigmaList eq 0 then
735                     continue L1;
736                 end if;
737
738                 "Constructing superlattices";
739
740                 if <l,n> in [] then

```

```

739         for signal in signalList
740             do
741                 for sigmap in
742                     sigmapList do
743                         LList cat:=
744                         SuperLatticesMagma(CoordinateLattice(OrthogonalSum
745                         (L1,Lp)), p, s, DiagonalJoin(signal, sigmap));
746                         end for;
747                     end for;
748                     elif <l,n> in [<1,24>]
749                     then
750                         LList := [];
751                         for signal in signalList
752                             do
753                                 for sigmap in
754                                     sigmapList do
755                                     LList cat:=
756                                     SuperLattices(CoordinateLattice(L1), CoordinateLattice
757                                     (Lp), p, signal, sigmap);
758                                     end for;
759                                     end for;
760                                     else
761                                     LList :=
762                                     SuperLatticesJuergens(CoordinateLattice(OrthogonalSum
763                                     (L1,Lp)),p,s);
764                                     end if;
765                                     Results cat:= [L : L in
766                                     LList | Minimum(L) ge min];
767                                     end for;
768                                     end for;
769                                     end for;
770                                     end for;
771                                     end for;
772                                     return ReduceByIsometry(Results);
773                                 end function;
774
775                                 for n := 2 to 36 by 2
776                                    do
777                                        for l in [1,2,3,5,6,7,11,14,15,23] do
778                                            if l eq 1 and n in [2,4,6] then continue; end
779                                            if;
780                                            if l eq 2 and n eq 2 then continue; end if;
781                                            if l eq 11 and n in [20,24,28,30,32,34,36]

```

```

    then continue; end if;
773     if l eq 23 and n ge 6 then continue; end if;
774     printf "dim = %0, l = %0\n", n, l;
775     Results := ConstructLattices(l, n);
776     ModList := [L : L in Results | IsModular(L,
l)];
777     StrongModList := [L : L in Results |
IsStronglyModular(L,l)];
778     PrintFileMagma(Sprintf("SubidealLattices/%0-
Modular/%0-Dimensional", l, n), Results : Overwrite :=
true);
779     PrintFileMagma(Sprintf("SubidealLattices/%0-
Modular/%0-DimensionalModular", l, n), ModList :
Overwrite := true);
780     PrintFileMagma(Sprintf("SubidealLattices/%0-
Modular/%0-DimensionalStronglyModular", l, n),
StrongModList : Overwrite := true);
781
782     if #Results gt 0 then
783         printf "\n\n-----n = %0, l = %0: %0
lattices found! %0 of them are modular and %0 are
strongly modular-----\n\n", n, l, #Results,
#ModList, #StrongModList;
784     end if;
785     end for;
786 end for;

```

## § 5.5 Eidesstattliche Versicherung

Ich versichere hiermit an Eides Statt, dass ich die vorliegende Masterarbeit mit dem Titel *Extremale Gitter mit großen Automorphismen* selbstständig und ohne unzulässige fremde Hilfe erbracht habe. Ich habe keine anderen als die angegebenen Quellen und Hilfsmittel benutzt. Die Arbeit hat in gleicher oder ähnlicher Form noch keiner Prüfungsbehörde vorgelegen.

Aachen, im September 2018

---

### **Belehrung:**

#### **§ 156 StGB: Falsche Versicherung an Eides Statt**

Wer vor einer zur Abnahme einer Versicherung an Eides Statt zuständigen Behörde eine solche Versicherung falsch abgibt oder unter Berufung auf eine solche Versicherung falsch aussagt, wird mit Freiheitsstrafe von bis zu drei Jahren oder mit Geldstrafe bestraft.

#### **§ 161 StGB: Fahrlässiger Falscheid; fahrlässige falsche Versicherung an Eides Statt**

(1) Wenn eine der in den §§ 154 bis 156 bezeichneten Handlungen aus Fahrlässigkeit begangen worden ist, so tritt Freiheitsstrafe von bis zu einem Jahr oder Geldstrafe ein.

(2) Strafflosigkeit tritt ein, wenn der Täter die falsche Angabe rechtzeitig berichtigt. Die Vorschriften des § 158 Abs. 2 und 3 gelten entsprechend

Die vorstehende Belehrung habe ich zur Kenntnis genommen:

Aachen, im September 2018

---

## 6 Literaturverzeichnis

- [BFS05] Eva Bayer Fluckiger and Ivan Suarez. Modular lattices over cyclotomic fields. *Journal of Number Theory*, 114:394–411, 2005.
- [CE03] Henry Cohn and Noam Elkies. New upper bounds on sphere packings I. *Annals of Mathematics*, 157:689–714, 2003.
- [CS93] J. H. Conway and N. J. A. Sloane. *Sphere packings, lattices and groups*, volume 290 of *Grundlehren der mathematischen Wissenschaften*. Springer, 3rd edition, 1993.
- [Jü15] Michael Jürgens. *Nicht-Existenz und Konstruktion extremaler Gitter*. PhD thesis, Technische Universität Dortmund, März 2015.
- [Kne02] M. Kneser. *Quadratische Formen*. Springer, 2002.
- [Lor11] David Lorch. Einklassige Geschlechter positiv definiter dreidimensionaler Gitter, 2011.
- [Mol11] Richard A. Mollin. *Algebraic number theory*. CRC Press, 2nd edition, 2011.
- [Neb13] Gabriele Nebe. On automorphisms of extremal even unimodular lattices. *International Journal of Number Theory*, 09:1933–1959, 2013.
- [Neu92] Jürgen Neukirch. *Algebraische Zahlentheorie*. Springer, 1992.



- [NS] Gabriele Nebe and N. J. A. Sloane. A Catalogue of Lattices. <http://www.math.rwth-aachen.de/~Gabriele.Nebe/LATTICES/>. Aufgerufen: 10.08.2018.
- [Que95] H. G. Quebbemann. Modular Lattices in Euclidean Spaces. *Journal of Number Theory*, 54:190–202, 1995.
- [SH98] Rudolf Scharlau and Boris Hemkemeier. Classification of integral lattices with large class number. *Mathematics of computation*, 67(222):737–749, April 1998.